

การศึกษาการควบคุมความเร็วของมอเตอร์กระแสตรงโดยใช้ตัวควบคุมพีไอ

**Study of DC Motor Speed Control Based on PI Controller**

นายชนะชัย คงชนะวิจิตร

คณะวิศวกรรมศาสตร์

ปริญญานิพนธ์นี้เป็นส่วนหนึ่งของการศึกษา

ตามหลักสูตรวิศวกรรมศาสตร์บัณฑิต

สาขาวิชาวิศวกรรมไฟฟ้า

คณะวิศวกรรมศาสตร์

มหาวิทยาลัยสยาม

พุทธศักราช 2562

## การศึกษาการควบคุมความเร็วรอบมอเตอร์กระแสตรงโดยใช้ตัวควบคุมพีไอ

## **Study of DC Motor Speed Control Based on PI Controller**

## นายชนะชัย คำณะวานี

ปริญญาในพันธ์นี้เป็นส่วนหนึ่งของการศึกษา

## ตามหลักสูตรวิศวกรรมศาสตรบัณฑิต

卷之三

ก.๑๒๒ วิชาภาษาอังกฤษ

พทศ ๒๕๖๒

## คณะกรรมการสอบปริญนานิพนธ์

 ประธานกรรมการสอบปริญญาในพนธ์  
( พศ.ดร.ยงยุทธ นารายณ์ )

# ..... กรรมการ (ผู้วิภาควิเคราะห์ นาคทรัพย์)

( ๑๙ )

(www.wto.org)

( พศ.๑๙๘๗ จังหวัด นราธิวาส )

( ພສ.ສຽງວົງວຽກ )

## หัวหน้าภาควิชาวิศวกรรมไฟฟ้า

## กฤษฎีคณิตวิศวกรรมศาสตร์

หัวข้อโครงการ	การศึกษาการควบคุมความเร็วรอบมอเตอร์กระแสตรงโดยใช้ตัวควบคุมพีไอ		
หน่วยกิต	3 หน่วยกิต		
จัดทำโดย	นายชนะชัย คงชนะวิป	หมายเลข	5504200017
อาจารย์ที่ปรึกษา	พศ.ดร. ยงยุทธ นารายณ์		
ระดับการศึกษา	วิศวกรรมศาสตร์บัณฑิต		
สาขาวิชา	วิศวกรรมไฟฟ้า		
คณะ	วิศวกรรมศาสตร์		
พุทธศักราช	2561		

### บทคัดย่อ

โครงการนี้นำเสนองการศึกษาควบคุมความเร็วรอบมอเตอร์ไฟฟ้ากระแสตรงที่ใช้ตัวควบคุมพีไอ โดยทำการออกแบบตัวควบคุมพีไอบนพื้นฐานการปรับค่าพารามิเตอร์ของตัวควบคุมเพื่อที่จะหลีกเลี่ยงการพุ่งเกินในระบบควบคุมวงรอบปิดที่ใช้ในการควบคุมมอเตอร์ไฟฟ้ากระแสตรง เมื่อoinพุ่ดเป็นฟังก์ชันขั้นบันได ระบบที่นำเสนอประกอบด้วย ตัวควบคุมพีไอ วงจรเอซิทูดีซีคอนเวอร์เตอร์ มอเตอร์ไฟฟ้ากระแสตรงชนิดกระแสตู้นแยกพิกัด 1.1 kW, 220 V, 6.5 A, 3,000 rpm ตัววัดความเร็วรอบโดยใช้แสง วงจรแปลงความถี่เป็นแรงดัน และวงจรแปลงสัญญาณอนาลอกเป็นดิจิทัล จากการออกแบบค่าพารามิเตอร์ของตัวควบคุมพีไอ และการคำนวณหาค่าพารามิเตอร์ของมอเตอร์จากแบบจำลองทางคณิตศาสตร์ และวิเคราะห์ระบบด้วยโปรแกรมคอมพิวเตอร์และทำการทดสอบระบบที่นำเสนอ พบว่ากรณีที่ปรับค่าอัตราการขยายของตัวควบคุมพีไอค่อน้อยมาก ผลตอบสนองจะไม่เกิดการพุ่งเกินแต่เกิดค่าความคลาดเคลื่อนที่ส่วนของตัวส่วนกรณีปรับค่าอัตราการขยายของตัวควบคุมพีไอที่มีค่อนมาก ๆ ผลตอบสนองจะเกิดการอสเซิลเลต ซึ่งเมื่อเพิ่มตัวควบคุมพีไอเข้าไปในระบบจะทำให้มีเสถียรภาพที่ดีได้ผลใกล้เคียงกับค่าคาดการณ์ไว้

**คำสำคัญ:** มอเตอร์ไฟฟ้ากระแสตรง / ตัวควบคุมพีไอ / การควบคุมความเร็วรอบ

**Project Title:** Study of DC Motor Speed Control Based on PI Controller  
**Credits:** 3 Units  
**By:** Mr. Chanashai Chanawapi 5504200017  
**Advisor:** Asst. Prof. Dr. Yongyuth Naras  
**Degree:** Bachelor of Engineering  
**Major:** Electrical Engineering  
**Faculty:** Engineering  
**Year:** 2018

#### Abstract

This project presents of the study of DC motor speed control based on PI controller using minimum overshoot PI controller design. The designed method was based on adjusting the PI controller parameters to avoid an overshoot in the closed-loop system step response for controlling DC motors. The proposed system was composed of a series PI controller, AC to DC converter, a DC motor rated at 1.1 kW, 220 V, 6.5 A, 3000 rpm, optical tachometer, frequency to voltage converter (F/V) and analog to digital converter (A/D). A computer program was simulated for the designed parameters of PI controller and calculated all parameters of motor from a mathematic model. The experimental results were found that when the gain of the PI controller was decreased, It created a steady state error of the system. As the proportional gain factor K increases, the steady state error of the system decreases, but leads to overshooting and oscillation of the system response. Integral control eliminates the steady state error to agree with the predicted value.

**Keywords:** DC motor / PI Controller / Speed Control

Approved by

.....

### กิตติกรรมประกาศ

การจัดทำปริญนานิพนธ์เรื่อง การศึกษาการควบคุมความเร็วของมอเตอร์กระแสตรงโดยใช้ตัวควบคุมพีไอ แม่จะมีปัญหามากมายหลาย ๆ ด้านก็ตาม ไม่ว่าจะเป็นการศึกษาข้อมูลที่เกี่ยวข้องจะ อิเล็กทรอนิกส์ คุณสมบัติของมอเตอร์และทฤษฎีที่เกี่ยวข้อง แต่ปัญหาต่าง ๆ สามารถบรรลุผลไปได้ด้วยคี ทั้งนี้เนื่องจากผู้จัดทำได้รับได้รับการแนะนำ และอนุเคราะห์ช่วยเหลือจาก พศ.ดร.ยงยุทธ นารายณ์ และ พศ.วิภาวดี นาครทรัพย์ รวมทั้งคณาจารย์ประจำภาควิชาวิศวกรรมไฟฟ้าที่ให้ความสำคัญในการทำงาน พร้อมทั้งให้กำลังใจและคำปรึกษาที่ดีซึ่งมีผลทำให้ปริญนานิพนธ์นี้ จัดทำขึ้นเป็นไปอย่างมีลำดับขั้นตอน ตามวัตถุประสงค์และขอบเขตที่ตั้งไว้ทุกประการ ดังนั้นผู้จัดทำได้รับอนุญาตุคลังที่ได้กล่าวมาข้างต้น และบุคคลอื่นที่ไม่ได้กล่าวนามที่ให้การอนุเคราะห์ช่วยเหลือในด้านต่าง ๆ จนสามารถบรรลุวัตถุประสงค์ ตามต้องการ



## สารบัญ

	หน้า
กิตติกรรมประกาศ	ก
บทคัดย่อ	ข
สารบัญ	ง
สารบัญรูป	ฉ
สารบัญตาราง	ณ
บทที่ 1 บทนำ	1
1.1 ที่มาของโครงการ	1
1.2 วัตถุประสงค์ของโครงการ	1
บทที่ 2 ทฤษฎีและหลักการที่เกี่ยวข้อง	3
2.1 ระบบควบคุม	3
2.2 การหาผลตอบสนองของระบบ	5
2.3 คุณสมบัติของตัวควบคุม	6
2.4 การออกแบบตัวควบคุม	7
2.5 แบบจำลองทางคณิตศาสตร์ ของมอเตอร์ไฟฟ้ากระแสตรงชนิดแยกกระตุ้น	16
2.6 พารามิเตอร์ ของมอเตอร์ไฟฟ้ากระแสตรงชนิดแยกกระตุ้น	18
2.7 บล็อกไซโอดแกรมของมอเตอร์ไฟฟ้ากระแสตรงชนิดแยกกระตุ้น	21
2.8 การวิเคราะห์ระบบมอเตอร์ไฟฟ้า	22
2.9 ขั้นตอนการวิเคราะห์ระบบโดยใช้โปรแกรมจำลองแบบด้วยคอมพิวเตอร์	26
2.10 การทดสอบระบบควบคุมจากผลตอบสนองของระบบ	27
2.11 ระบบควบคุมแบบ Feed Forward	27
2.12 SCR	28
2.13 คุณลักษณะของ SCR และ การใช้งาน	30
2.14 วัสดุความเร็วของมอเตอร์	34

## สารบัญ(ต่อ)

	หน้า
<b>บทที่ 3 โครงงานที่นำเสนอ</b>	36
3.1 หลักการของแกรมรุ่มของโครงงานที่นำเสนอ	36
3.2 ตัวควบคุม PI	37
3.3 วงจรเอชีทูดีซีคอนเวอร์เตอร์	40
3.4 การหาค่าพารามิเตอร์ของมอเตอร์ไฟฟ้ากระแสตรง	42
3.5 การออกแบบโครงสร้างของมอเตอร์โดยใช้วิธีการ Simulink	47
3.6 วงจรแปลงความถี่	48
<b>บทที่ 4 การทดลองและผล</b>	50
4.1 อุปกรณ์ในการทดลอง	50
4.2 การทดสอบ	53
4.3 ผลการทดสอบ	59
<b>บทที่ 5 สรุปและข้อเสนอแนะ</b>	65
5.1 สรุปผลของโครงงาน	65
5.2 ปัญหาที่พบในการทำโครงงาน	65
5.3 วิธีแก้ไขและข้อเสนอแนะ	65
<b>บรรณานุกรม</b>	66
<b>ประวัติผู้เขียน</b>	70

## สารบัญรูป

	หน้า
รูปที่ 2.1 บล็อกไดอะแกรมระบบควบคุมแบบป้อนกลับ	3
รูปที่ 2.2 การต่อระบบควบคุมป้อนกลับเมื่อ $H(s) = 1$	4
รูปที่ 2.3 ผลตอบสนองของระบบแบบขั้นบันไดหนึ่งหน่วย	5
รูปที่ 2.4 บล็อกไดอะแกรมของตัวควบคุมแบบสัดส่วน	8
รูปที่ 2.5 ผลตอบสนองต่อพังก์ชันขั้นบันไดของตัวควบคุมแบบสัดส่วน	8
รูปที่ 2.6 วงจรตัวควบคุมแบบสัดส่วน	8
รูปที่ 2.7 วงจรตัวควบคุมแบบไออ	10
รูปที่ 2.8 ผลตอบสนองต่อพังก์ชันขั้นบันไดของตัวควบคุมแบบไออ	10
รูปที่ 2.9 ภาพบล็อกของตัวควบคุมแบบอนุพันธ์	11
รูปที่ 2.10 วงจรแบบอนุพันธ์	11
รูปที่ 2.11 ก. ภาพบล็อกของแบบสัดส่วนร่วมกันแบบไออ	12
รูปที่ 2.12 วงจรแบบสัดส่วนร่วมกันแบบไออ	12
รูปที่ 2.13 ภาพบล็อกของตัวควบคุมแบบสัดส่วนร่วมกับแบบอนุพันธ์	12
รูปที่ 2.14 วงจรแบบสัดส่วนรวมกันแบบอนุพันธ์	13
รูปที่ 2.15 บล็อกไดอะแกรมแบบสัดส่วนร่วมกับบูรณาการและอนุพันธ์	14
รูปที่ 2.16 วงจรตัวควบคุม พีไอดี (PID-Controller)	14
รูปที่ 2.17 พังก์ชันถ่ายโอนของระบบควบคุมแบบลูปปิด (Transfer Function of PID)	14
รูปที่ 2.18 ผลการตอบสนองของแพลนจากการป้อนอินพุต ยูนิต สเต็ป	15
รูปที่ 2.19 กฎการปรับของ ซิงเกิล-นิโอล พื้นฐานบน Step Response ของ Plant (อันดับหนึ่ง)	16
รูปที่ 2.20 วงจรสมมูลของมอเตอร์ไฟฟ้ากระแสตรงชนิดแยกกระตุ้น	16
รูปที่ 2.21 มอเตอร์ไฟฟ้ากระแสตรงชนิดแยกกระตุ้นที่ใช้ในงานวิจัย	19
รูปที่ 2.22 แผนภาพบล็อกไดอะแกรมของมอเตอร์ไฟฟ้ากระแสตรงชนิดแยกกระตุ้น	22
รูปที่ 2.23 วงจรของมอเตอร์ไฟตรง (DC Motor Circuit)	23
รูปที่ 2.24 ไดอะแกรมของระบบมอเตอร์ไฟตรง	24
รูปที่ 2.25 พังก์ชันการถ่ายโอนของมอเตอร์ไฟฟ้ากระแสตรงแบบลูปเปิด	25
รูปที่ 2.26 พังก์ชันการถ่ายโอนของมอเตอร์ไฟฟ้ากระแสตรงแบบแยกกระตุ้นกับวงจร Chopper และวงจร PID (โดยค่า $K$ คือค่าอัตราการขยายวิกฤต)	25
รูปที่ 2.27 ระบบงาน (Plant) ในโปรแกรม Simulink	27
รูปที่ 2.28 รูปแบบการควบคุมแบบ Feed Forward	28

## สารบัญรูป (ต่อ)

	หน้า
รูปที่ 2.29 แบบจำลองสำหรับหาผลตอบสนองในระบบความคุมแบบ Feed Forward	28
รูปที่ 2.30 โครงสร้าง สัญลักษณ์และวงจรสมมูลย์ของ SCR	29
รูปที่ 2.31 วงจรการทดสอบคุณลักษณะและการฟคุณลักษณะของ SCR	30
รูปที่ 2.32 วงจรเรียงกระแสครึ่งคลื่นใช้ SCR และรูปคลื่นอินพุตเอาต์พุตที่มุ่งจุดช่วง	31
รูปที่ 2.33 วงจรเรียงกระแสแบบเติม คลื่นของ SCR ที่ใช้มือแปลงมีแท็ปกลาง	32
รูปที่ 2.34 รูปคลื่นสัญญาณวงจรเรียงกระแสแบบเติมคลื่นใช้มือแปลงมีแท็ปกลาง	32
รูปที่ 2.35 วงจรเรียงกระแสเติม คลื่นแบบบริดจ์ใช้ SCR	33
รูปที่ 2.36 รูปคลื่นสัญญาณวงจรเรียงกระแสเติมคลื่นแบบบริดจ์	33
รูปที่ 2.37 TACHOMETER	34
รูปที่ 2.38 มาตรวัดรอบ (TACHO METER) RPM	34
รูปที่ 3.1 โครงงานที่นำเสนอ	36
รูปที่ 3.2 ตัวควบคุมพีไอที่ใช้	37
รูปที่ 3.3 วงจรตัวควบคุมแบบ P	38
รูปที่ 3.4 ตัวควบคุมแบบ PI	39
รูปที่ 3.5 วงจร AC/DC Rectifier แบบเฟสเดี่ยวรูปคลื่น	40
รูปที่ 3.5 วงจร ZOH	41
รูปที่ 3.7 วงจรทดสอบความด้านทานอาร์เมเจอร์	43
รูปที่ 3.8 วงจรทดสอบหาค่าอินคิกแตนซ์ของมอเตอร์	44
รูปที่ 3.9 วงจรทดสอบหาค่าคงที่เวลาของมอเตอร์	46
รูปที่ 3.10 Wave from Diagram ของการทดสอบแบบรันดาน	47
รูปที่ 3.11 การสร้างแบบจำลองมอเตอร์ไฟฟ้ากระแสตรงด้วยโปรแกรม Simulink (P Control)	48
รูปที่ 3.12 การสร้างแบบจำลองมอเตอร์ไฟฟ้ากระแสตรงด้วยโปรแกรม Simulink (PI Control)	48
รูปที่ 3.13 วงจรแปลงความถี่เป็นแรงดัน	49
รูปที่ 4.1 อุปกรณ์และเครื่องมือที่ใช้ในการทดลอง	50
รูปที่ 4.2 เครื่องคอมพิวเตอร์โน๊ตบุ๊ก	51
รูปที่ 4.3 ตัวควบคุมพีไอ	51
รูปที่ 4.4 มอเตอร์ไฟฟ้ากระแสตรงชนิดแยกกระแสตื้น	52
รูปที่ 4.5 Electric Generator	52
รูปที่ 4.6 สำคัญ	53

## สารบัญรูป (ต่อ)

	หน้า
รูปที่ 4.7 แผนภาพล็อกไ/doageแกรมการจำลองระบบความคุณมอเตอร์ด้วยพีไอ	54
รูปที่ 4.8 บล็อกไ/doageแกรมลูปเปิด	54
รูปที่ 4.9 บล็อกไ/doageแกรมกรณีพื้อย่างเดียว	55
รูปที่ 4.10 บล็อกไ/doageแกรมกรณีไออย่างเดียว	56
รูปที่ 4.11 บล็อกไ/doageแกรมกรณีพีไอ	57
รูปที่ 4.12 บล็อกไ/doageแกรมของลูปปิด	58
รูปที่ 4.13 วงจรที่ใช้ในการทดลอง	69
รูปที่ 4.14 ผลการทดสอบตัวควบคุมพี	62
รูปที่ 4.15 ผลการทดสอบตัวควบคุมพีไอ	64

## สารบัญตาราง

	หน้า
ตารางที่ 2.1 คุณสมบัติของระบบควบคุม	6
ตารางที่ 2.2 ค่าพารามิเตอร์จากเอกสารข้อมูล	19
ตารางที่ 2.3 พารามิเตอร์ ที่ใช้เทียบเคียง	20
ตารางที่ 2.4 ค่าพารามิเตอร์ของมอเตอร์ไฟฟ้ากระแสตรงชนิดแยกกระตุ้นที่ใช้ในงานวิจัย	21
ตารางที่ 2.5 รายละเอียดของบล็อกต่าง ๆ ที่ใช้ในเคราะห์ สามารถหาได้จากไลบรารี	26
ตารางที่ 4.1 ผลการทดสอบแบบลูปเปิด	59
ตารางที่ 4.2 ผลการทดสอบตัวควบคุมแบบพี	59
ตารางที่ 4.3 ผลการทดสอบตัวควบคุมแบบพีไออ	60

# บทที่ 1

## บทนำ

### 1.1 ที่มาของโครงการ

ระบบควบคุมอัตโนมัติที่ใช้ในทางอุตสาหกรรม แบ่งเป็น 2 ประเภทได้แก่ ระบบควบคุมแบบเบ็ด และระบบควบคุมแบบปิด โดยที่ระบบควบคุมแบบเบ็ดนี้ เอาต์พุตที่ได้จะไม่สามารถควบคุมได้ ส่วนระบบควบคุมแบบปิดนี้เอาต์พุตที่ได้จะป้อนกลับมายังอินพุตหรือสัญญาณกระตุ้นเพื่อควบคุมระบบให้ทำงานได้อย่างต่อเนื่อง และให้คำแนะนำด้วยภาษาไทยที่สุดเท่าที่เป็นได้ ในการออกแบบระบบนี้เริ่มด้วยการหาค่าพารามิเตอร์ของระบบ จากนั้นออกแบบโดยแบบจำลอง และนำไปทดสอบจริง

มอเตอร์ไฟฟ้ากระแสตรง เป็นอุปกรณ์ขับเคลื่อนชนิดหนึ่งที่นิยมนำมาใช้งานอุตสาหกรรม เนื่องจากมอเตอร์ไฟฟ้ากระแสตรงสามารถควบคุมความเร็วได้ง่าย [1] ในด้านควบคุมที่นิยมใช้กันมากคือด้านควบคุมแบบสัดส่วน – ปริพันธ์ (Proportional – Integral ; PI) [2] ซึ่งถือว่าเป็นด้านควบคุมที่ใช้ควบคุมมอเตอร์ได้อย่างมีประสิทธิภาพ แต่ยังมีข้อจำกัดในส่วนของแบบจำลองทางคณิตศาสตร์ของมอเตอร์ไฟฟ้า เพื่อที่สามารถปรับค่าพารามิเตอร์ของด้านควบคุมให้เหมาะสม การควบคุมความเร็วของมอเตอร์เป็นสิ่งที่จำเป็นต้องเข้าใจให้ลึกแท้

โครงการนี้จึงได้นำเสนอระบบควบคุมความเร็วของมอเตอร์ไฟฟ้ากระแสตรงแบบตู้นี้แยกควบคุมด้วยตัวควบคุมพีไอ โดยการวิเคราะห์หาฟังก์ชันถ่ายโอนของอุปกรณ์ต่างๆ ที่ใช้ในระบบ และใช้การจำลองแบบโดยโปรแกรมจำลองแบบด้วยคอมพิวเตอร์และนำไปทดสอบจริง โดยทำการทดลองเพื่อเปรียบเทียบกับการจำลองการทำงานของระบบทั้งหมด

### 1.1 วัตถุประสงค์ของโครงการ

- 1.2.1 เพื่อวิเคราะห์หาฟังก์ชันถ่ายโอนของอุปกรณ์ที่ใช้ในระบบควบคุมทั้งหมด
- 1.2.2 เพื่อวิเคราะห์หาผลตอบสนองของตัวควบคุมพีไอและผลตอบสนองของระบบ

### 1.2 ขอบเขตความสามารถของโครงการ

- 1.3.1 ใช้ตัวควบคุมพีไอที่เป็นระบบอนาล็อกต่อแบบผสมประกอบด้วย ออปเปอเรตเตอร์ ตัวด้านทัน และตัวเก็บประจุ
- 1.3.2 ใช้มอเตอร์ไฟฟ้ากระแสตรงแบบตู้นี้แยก พิกัด 1.1 kW, 3,000 rpm และแทคโคล Jenenneo เตอร์ พิกัด 0.75 kW, 2,850 rpm

1.3.3 ใช้ตัววัดความเร็วรอบโดยใช้แสง วงจรเอชีทูดีซีคอนเวอร์เตอร์ และวงจรแปลงความถี่เป็นแรงดัน

1.3.4 โปรแกรมจำลองแบบด้วยคอมพิวเตอร์จำลองการควบคุมแบบเบิกและระบบควบคุมแบบปิด

#### 1.4 ประโยชน์ที่คาดว่าจะได้รับจากโครงการ

1.4.1 เกิดความรู้ความเข้าใจในการวิเคราะห์ระบบควบคุม

1.4.2 สามารถนำความรู้ทางทฤษฎีมาใช้ในการวิเคราะห์ระบบควบคุม

1.4.3 นำข้อดีของตัวควบคุมมาใช้ในการควบคุมความเร็วรอบมอเตอร์และระบบอื่นได้





## บทที่ 2

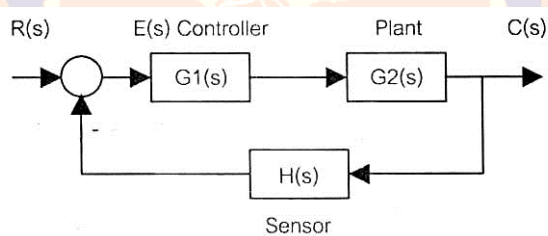
### ทฤษฎีและหลักการที่เกี่ยวข้อง

ในบทนี้เป็นการกล่าวถึงทฤษฎีและหลักการที่เกี่ยวข้อง ประกอบด้วย ระบบควบคุม แบบจำลองทางคณิตศาสตร์ของมอเตอร์ไฟฟ้ากระแสตรงชนิดแยกกระตุ้น คุณลักษณะของ SCR และ การใช้งาน และการวัดความเร็วรอบมอเตอร์ ดังรายละเอียดดังต่อไปนี้

#### 2.1 ระบบควบคุม

ระบบควบคุมป้อนกลับ (Feedback Control System) โดยทั่วไปจะมีการต่อระบบควบคุมดังแสดงตามบล็อกไดอะแกรมในรูปที่ 2.1 ประกอบด้วย 3 ส่วน คือ

- ชุดควบคุม (Controller) ใช้  $G_1(s)$  แทนสมการของระบบ
- ระบบงาน (Plant) ใช้  $G_2(s)$  แทนสมการของระบบ
- ชุดตรวจจับ (Sensor) ใช้  $H(s)$  แทนสมการของระบบ



รูปที่ 0.1 บล็อกไดอะแกรมระบบควบคุมแบบป้อนกลับ

จากรูปที่ 2.1 เป็นการต่อระบบโดยนำชุดควบคุมมาต่อแบบอนุกรมกับระบบงาน โดยมีสัญญาณ  $R(s)$  เป็นอินพุตของระบบ และมีสัญญาณ  $C(s)$  เป็นเอาต์พุตของระบบ สัญญาณอินพุตจะถูกป้อนเข้าชุดควบคุม เพื่อส่งสัญญาณไปทำการควบคุมระบบงาน และชุดตรวจจับจะรับสัญญาณเอาต์พุตจากระบบงานมาทำการปรับอัตราการขยาย เพื่อนำไปหักล้างกับสัญญาณอินพุต สำหรับควบคุมให้ระบบงานมีการทำงานได้อย่างต่อเนื่องและคงที่ต่อไป

การวิเคราะห์สมการเพื่อหาฟังก์ชันโอนย้าย (Transfer Function) ระหว่างเอาต์พุตและอินพุตของระบบ สามารถหาได้ดังนี้

จากบล็อกไดอะแกรม เมื่อนำบล็อก  $G_1(s)$  มาต่ออนุกรมกับบล็อก  $G_2(s)$  จะเป็นการนำค่าอัตราการขยายของทั้งสองบล็อกคูณกัน เขียนสมการได้เป็น

$$G(s) = G_1(s).G_2(s)$$

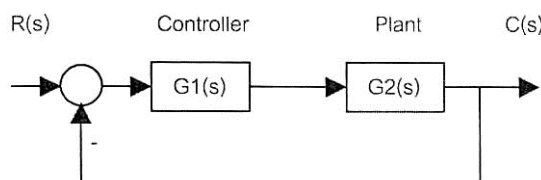
เมื่อนำสัญญาณเอาต์พุต  $C(s)$  เท่ากับอัตราการขยายของระบบ คูณด้วยอินพุต ดังนั้นจะได้

$$\begin{aligned} C(s) &= G(s).E(s) \\ \text{เมื่อ } E(s) &= R(s) - H(s).C(s) \\ \text{จะได้} \end{aligned}$$

$$\begin{aligned} C(s) &= G(s).[R(s) - H(s).C(s)] \\ C(s) &= G(s).R(s) - G(s).H(s).C(s) \\ C(s) + G(s).H(s).C(s) &= G(s).R(s) \\ C(s)[1 + G(s).H(s)] &= G(s).R(s) \\ \frac{C(s)}{R(s)} &= \frac{G(s)}{[1 + G(s).H(s)]} \end{aligned} \quad (2.1)$$

สมการที่ (2.1) เรียกว่า สมการฟังก์ชันโอนย้าย (Transfer Function) ของระบบ ซึ่งเป็นการส่งผ่านสัญญาณจากอินพุตของระบบไปสู่เอาต์พุตของระบบ เมื่อทำการกำหนดให้ชุดตรวจจับ  $H(s)$  มีค่าอัตราการขยายเป็น 1 (Unity Feedback) จากผังไดอะแกรมในรูปที่ 2.1 สามารถเขียนใหม่ ได้ดังรูปที่ 2.2 และสามารถเขียนสมการฟังก์ชันโอนย้ายใหม่ ดังสมการที่ (2.2)

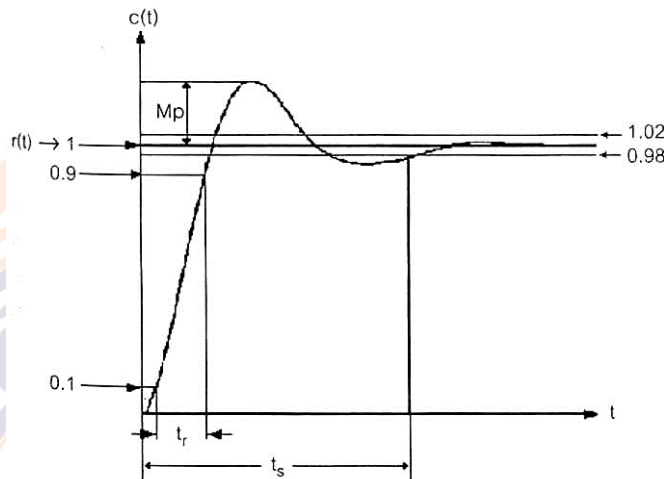
$$\frac{C(s)}{R(s)} = \frac{G(s)}{1 + G(s)} = \frac{G_1(s).G_2(s)}{[1 + G_1(s).G_2(s)]} \quad (2.2)$$



รูปที่ 0.2 การต่อระบบควบคุมป้อนกลับเมื่อ  $H(s) = 1$

## 2.2 การหาผลตอบสนองของระบบ

ในระบบควบคุมทั่วไป สามารถหาผลตอบสนองของระบบได้โดยป้อนสัญญาณอินพุต  $r(t)$  ที่เป็นสัญญาณแบบขั้นบันไดหนึ่งหน่วย (Unit Step Function) และพิจารณาผลของสัญญาณเอาต์พุต  $c(t)$  ที่ได้ซึ่งลักษณะทั่วไปของผลตอบสนองของระบบ (Unit Step Response) แสดงดังรูปที่ 2.3



รูปที่ 0.3 ผลตอบสนองของระบบแบบขั้นบันไดหนึ่งหน่วย

การพิจารณาถึงคุณสมบัติของผลตอบสนอง สามารถพิจารณาได้จากช่วงเวลาต่าง ๆ ซึ่งค่าของช่วงเวลาต่าง ๆ ที่นิยมนำไปออกแบบหรือนำไปพิจารณาถึงคุณภาพของระบบ มีดังนี้

1. **Rise Time ( $t_r$ )** คือ ช่วงเวลาที่ระบบทำงานในช่วงเริ่มต้น โดยคิดที่ช่วงเวลาตั้งแต่ 10 ถึง 90 % (0.1 – 0.9 V) ถ้า Rise Time มีค่าน้อยจะแสดงว่าระบบทำงานได้เร็วในช่วงแรก

2. **Setting Time ( $t_s$ )** คือ ช่วงเวลาที่ก่อนที่สัญญาณจะเริ่มเข้าสู่ภาวะคงที่ (Steady State) ปกติจะวัดจากระดับ  $\pm 2\%$  ถึง  $\pm 5\%$  ของค่า Steady State จากรูปที่ 2.3 เมื่อค่า Steady State มีค่าเท่ากับสัญญาณอินพุตคือ 1 ดังนั้นเมื่อทำการวัดที่ระดับ  $\pm 2\%$  จะได้ค่าแรงดันเอาต์พุตอยู่ที่ระดับ 0.98 – 1.02 V ถ้าค่า Setting Time มีค่าน้อย แสดงว่าระบบจะเข้าสู่ภาวะทำงานคงที่เร็วขึ้น

3. **Steady State Error ( $e_{ss}$ )** เป็นค่าความผิดพลาดจากผลต่างระหว่างแรงดันอินพุตและแรงดันเอาต์พุต ซึ่งสามารถคำนวณได้โดย

$$e_{ss} = r(t) - c(t) \quad (2.3)$$

เมื่อ  $r(t)$  คือ แรงดันอินพุต  
 $c(t)$  คือ แรงดันเอาต์พุต

**4. Maximum Overshoot (Mp)** เป็นค่าของผลตอบสนองที่แกว่งขึ้นสูงกว่าระดับอินพุตในช่วงเริ่มทำงาน ถ้าค่า Mp มีค่ามาก จะทำให้ระบบทำงานแกว่งหรือกระเพื่อม และจะส่งผลให้ช่วงเวลา Setting Time นานขึ้น แต่ค่า Mp ที่มีค่ามาก ก็จะส่งผลดี คือ จะทำให้ระดับของ Steady State Error ลดลงได้

### 2.3 คุณสมบัติของตัวควบคุม

ระบบควบคุมโดยทั่วไป สามารถแบ่งคุณสมบัติของระบบได้เป็น 4 แบบ สามารถสรุปรายละเอียดได้ดังนี้

1. ระบบควบคุมแบบ P (P Controller) จะมีคุณสมบัติลดค่า Rise Time ( $t_r$ ) ทำให้ระบบทำงานเร็วขึ้น ในช่วงแรกเพิ่ม Over Shoot (Mp) ทำให้ระบบแกว่งในช่วงเริ่มต้น แต่ส่งผลให้ค่า Steady State Error ลดลง

2. ระบบควบคุมแบบ PD (PD Controller) จะมีคุณสมบัติลด Over Shoot (Mp) ทำให้ระบบมีการแกว่งน้อยลงในช่วงเริ่มต้นลด Setting Time ( $t_s$ ) ทำให้ระบบทำงานถึงจุดคงที่ (Steady State) เร็วขึ้น

3. ระบบควบคุมแบบ PI (PI Controller) จะมีคุณสมบัติลดค่า Rise Time ( $t_r$ ) ทำให้ระบบทำงานเร็วขึ้นในช่วงแรกกำจัดค่า Steady State Error ( $e_{ss}$ ) เพื่อให้ได้ค่าเอาต์พุตเท่ากับค่าอินพุต

4. ระบบควบคุมแบบ PID (PID Controller) เป็นการนำคุณสมบัติของระบบควบคุมทั้ง 3 แบบ คือ P, PD และ PI มารวมกัน โดยสามารถกำหนดค่าอัตราการขยายทั้ง 3 แบบ คือ P, I และ D ได้อย่างอิสระ ทำให้สามารถออกแบบระบบควบคุมให้เป็นไปตามที่ต้องการได้ โดยทำการปรับค่าอัตราการขยายทั้ง 3 แบบ และนำมาพิจารณาผลตอบสนองที่ได้ เมื่อปรับค่าอัตราการขยายจนได้ผลตอบสนองตามต้องการแล้ว จึงนำค่าที่ได้ไปติดตั้งหรือออกแบบเป็นวงจรให้งานต่อไป

ตารางที่ 0.1 คุณสมบัติของระบบควบคุม

ระบบควบคุม	Rise Time ( $t_r$ )	Maximum Overshoot (Mp)	Setting Time ( $t_s$ )	Steady State Error ( $e_{ss}$ )
แบบ P	ลด	เพิ่ม	เปลี่ยนแปลงน้อย	ลด
แบบ I	ลด	เพิ่ม	เพิ่ม	กำจัด
แบบ D	เปลี่ยนแปลงน้อย	ลด	ลด	เปลี่ยนแปลงน้อย

เขียนฟังก์ชันโอนย้าย (Transfer Function: T(s)) ของระบบควบคุมแบบ PID ได้ดังนี้

$$T(s) = K_p + \frac{K_i}{s} + K_d s = \frac{K_d s^2 + K_p s + K_i}{s} \quad (2.4)$$

เมื่อ	$K_p$	ค่าอัตราขยายของตัวควบคุมแบบ P
	$K_i$	ค่าคงที่ทางเวลาในการอินทิเกรตสัญญาณของตัวควบคุมแบบ I
	$K_d$	ค่าคงที่ทางเวลาในการดิฟเฟอเรนเชียล สัญญาณของตัวควบคุมแบบ D

## 2.4 การออกแบบตัวควบคุม

ตัวควบคุมที่จะกล่าวต่อไปนี้เป็นตัวควบคุมอัตโนมัติที่มีหน้าที่นำสัญญาณจากทางออก(Output) ของระบบมาเปรียบเทียบกับสัญญาณอ้างอิงเป็นสัญญาณทางเข้า(Input) ของระบบผลของการเปรียบเทียบที่ได้จะมีค่าเบี่ยงเบนหรือค่าผิดพลาด (Error) หลังจากนั้นตัวควบคุมอัตโนมัติก็จะนำเอาสัญญาณผิดพลาดนี้ไปสร้างสัญญาณใหม่ที่เหมาะสมเพื่อควบคุมระบบให้ได้ผลตอบสนองตามที่ต้องการนั้นย่อมหมายถึงค่าผิดพลาดของสัญญาณ ได้คล่องจนเป็นศูนย์หรือน้อยที่สุดแล้วนั้นเองซึ่งสามารถแบ่งตัวควบคุมอัตโนมัตินี้ได้ตามชนิดของสัญญาณดังนี้

1. ตัวควบคุมแบบสัดส่วน (P-Controller)
2. ตัวควบคุมแบบบูรณาการ (I- Controller)
3. ตัวควบคุมแบบอนุพันธ์ (D - Controller)
4. ตัวควบคุมแบบสัดส่วนร่วมกับแบบบูรณาการ (PI-Controller)
5. ตัวควบคุมแบบสัดส่วนร่วมกับแบบอนุพันธ์ (PD-Controller)
6. ตัวควบคุมแบบสัดส่วนร่วมกับแบบบูรณาการอนุพันธ์ (PID-Controller)

### 2.4.1 ตัวควบคุมแบบสัดส่วน (P-Controller)

ตัวควบคุมแบบสัดส่วน (P-Controller) นี้เป็นตัวควบคุมที่ไม่มีการหน่วงระหว่างสัญญาณทางเข้า กับสัญญาณทางออกแต่สัญญาณทางออกจะเป็นสัดส่วนกับสัญญาณทางเข้าอัตราขยายเป็นพารามิเตอร์ที่ทำให้ขนาดของสัญญาณทางเข้าและสัญญาณทางออกเกิดความแตกต่างกันสามารถเขียนเป็นสมการได้ดังนี้

$$v_{out}(t) = K_p v_{in}(t) \quad (2.5)$$

เมื่อ

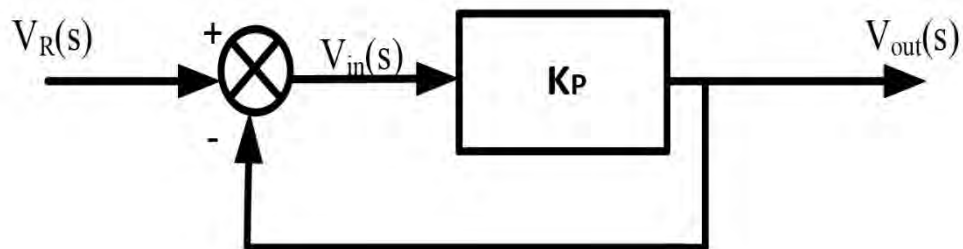
$v_{out}(t)$  คือสัญญาณทางออกของตัวควบคุม

$v_{in}(t)$  คือสัญญาณผิดพลาดที่เกิดขึ้นหรือสัญญาณทางเข้า

$K_p$  คือความไวของสัดส่วนหรืออัตราการขยาย

เปลี่ยนเป็นฟังก์ชันถ่ายโอน (Transfer Function) ได้

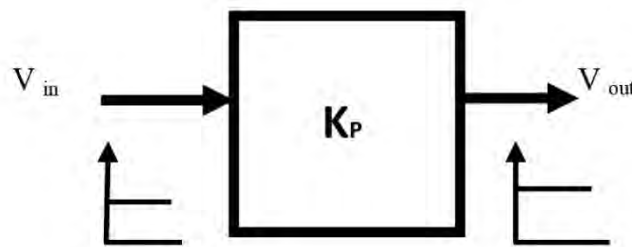
$$F(s) = \frac{V_{out}(s)}{V_{in}(s)} = K_P \quad (2.6)$$



รูปที่ 0.4 บล็อกໄ/doะแกรมของตัวควบคุมแบบสัดส่วน

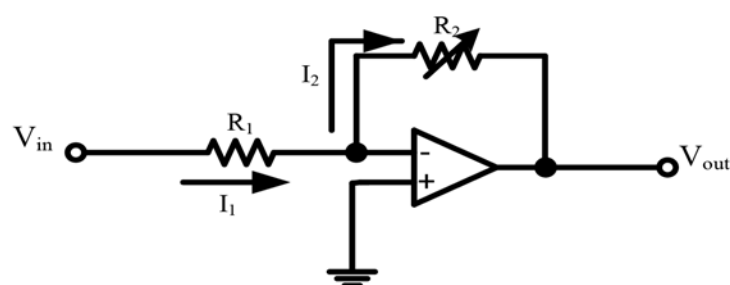
เมื่อ  $V_R(s)$  เป็นสัญญาณอ้างอิง

หรือเปลี่ยนแสดงในภาพของผลตอบสนองต่อฟังก์ชันขั้นบันได (Step Response)



รูปที่ 0.5 ผลตอบสนองต่อฟังก์ชันขั้นบันไดของตัวควบคุมแบบสัดส่วน

สร้างวงจรอิเล็กทรอนิกส์ ที่ทำหน้าที่เป็นตัวควบคุมแบบสัดส่วนดังรูปที่ 2.6



รูปที่ 0.6 วงจรตัวควบคุมแบบสัดส่วน

จากภาพสามารถปรับ  $K_p$  ของตัวควบคุมแบบสัดส่วนได้โดยการปรับที่ตัวต้านทาน  $R_1$  และหรือ  $R_2$  ก็ได้ตัวควบคุมแบบสัดส่วนนี้ ได้สัญญาณทางออกเป็นสัดส่วนกับสัญญาณทางเข้า และตอบสนองได้เร็ว นั่นคือไม่มีการหน่วงเวลาอีกต่อไป

#### 2.4.2 ตัวควบคุมแบบไอ (I- Controller)

ตัวควบคุมแบบบูรณาการ เป็นตัวควบคุมที่ให้สัญญาณทางออกเป็นสัดส่วน โดยตรงกับสัญญาณผิดพลาด หรือสัญญาณทางเข้าซึ่งสัญญาณทางออกที่ออกจากตัวควบคุมก็คือพื้นที่ของสัญญาณผิดพลาดหรือสัญญาณทางเข้าอีกครั้งหนึ่ง เกี่ยวกับสมการเชิงอนุพันธ์ได้ดังนี้

$$\begin{aligned} v_{out}(t) &= K_I \int v_{in}(t) dt \\ v_{out}(t) &= \frac{1}{T_I} \int v_{in}(t) dt \end{aligned} \quad (2.7)$$

เมื่อ  $K_I$  และ  $T_I$  เป็นอัตราการขยาย และค่าคงตัวทางเวลาของการควบคุมแบบไอตามลำดับ จากสมการ (2.7) เกี่ยวกับเป็นพังก์ชันถ่ายโอนได้

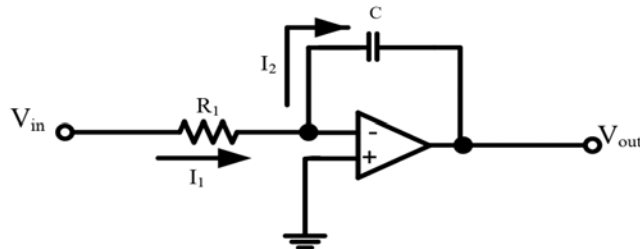
$$F(s) = \frac{V_{out}(s)}{V_{in}(s)} = \frac{K_I}{s} = \frac{1}{T_I s} \quad (2.8)$$

วงจรที่ทำหน้าที่เป็นตัวควบคุมแบบไอ แสดงดังรูปที่ 2.7 ประกอบด้วยอุปกรณ์ ตัวต้านทานและตัวเก็บประจุ ได้ความสัมพันธ์ของแรงดันเอตเตอร์พุตกับแรงดันอินพุตดังสมการที่ (2.9)

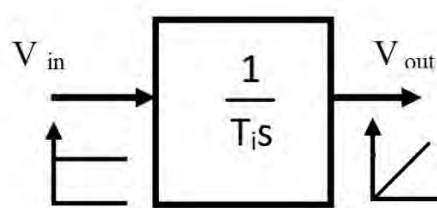
$$\frac{V_{out}(s)}{V_{in}(s)} = \frac{1}{R_I C s} \quad (2.9)$$

เมื่อ  $T_I = R_I C$

เกี่ยวกับแทนด้วยบล็อกและตอบสนองต่อพังก์ชันขั้นบันได ได้ดังรูปที่ 2.8



รูปที่ 0.7 วงจรตัวความคุณแบบไฮ



รูปที่ 0.8 ผลตอบสนองต่อฟังก์ชันขั้นบันไดของตัวความคุณแบบไฮ

การความคุณแบบไฮนี้ จะทำให้ระบบมีความแม่นยำซึ่งก็หมายถึงสัญญาณทางออกที่ออกจากตัวความคุณ จะติดตามสัญญาณทางเข้าได้ตลอดเวลา

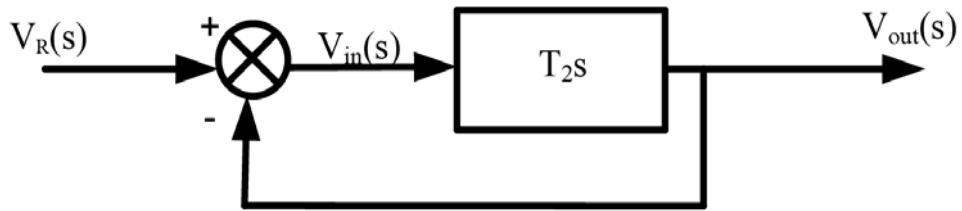
#### 2.4.3 การกระทำแบบดี (D - Action)

การกระทำแบบดีจะเป็นตัวความคุณที่ให้สัญญาณทางออกเป็นสัดส่วน โดยตรงกับอัตราการเปลี่ยนแปลงของค่าความผิดพลาด สามารถเขียนสมการได้ดังนี้

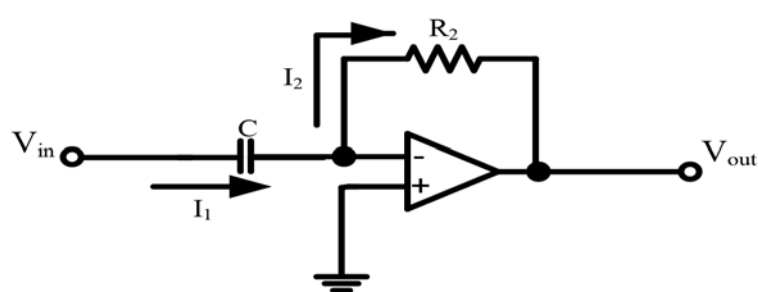
$$V_{out}(t) = T_2 \frac{d}{dt} V_{in}(t) \quad (2.10)$$

เมื่อ  $T_2$  คือ Derivative time จากสมการดังกล่าวว่าการเปลี่ยนเป็นฟังก์ชันถ่ายโอนได้

$$F(s) = \frac{V_{out}(s)}{V_{in}(s)} = T_2 s \quad (2.11)$$



รูปที่ 0.9 ภาพบล็อกของตัวควบคุมแบบอนุพันธ์



รูปที่ 0.10 วงจรแบบอนุพันธ์

#### 2.4.4 ตัวควบคุมแบบสัดส่วนร่วมกันแบบไฮ (PI-Controller)

ตัวควบคุมแบบสัดส่วนร่วมกันแบบบูรณาการนี้เป็นการนำเอาคุณสมบัติของตัวควบคุมทั้งสองมารวมกัน ดังนั้นสัญญาณที่ออกจากตัวควบคุมชนิดนี้คือ

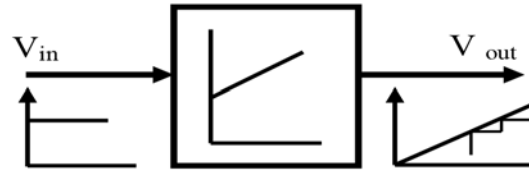
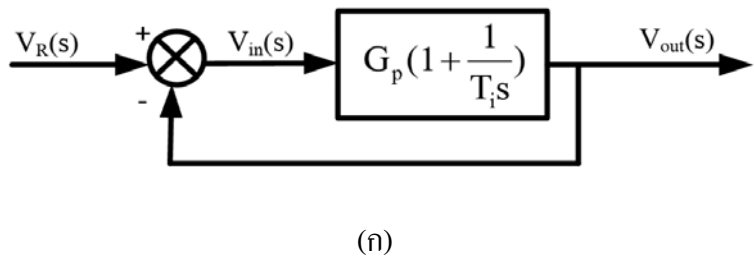
$$V_{out}(t) = G_p \cdot (V_{in}(t) + \frac{1}{T_1} \int V_{in} dt)$$

แปลงลาปลาช

$$\begin{aligned} V_{out}(s) &= G_p \cdot (V_{in}(s) + \frac{1}{T_1 s} V_{in}(s)) \\ &= G_p \cdot \left(1 + \frac{1}{T_1 G_p}\right) V_{in}(s) \\ F(s) &= \frac{V_{out}(s)}{V_{in}(s)} = G_p \left(1 + \frac{1}{T_1 s}\right) \end{aligned} \quad (2.12)$$

$$\text{เมื่อให้ } T_i = T_1 G_p$$

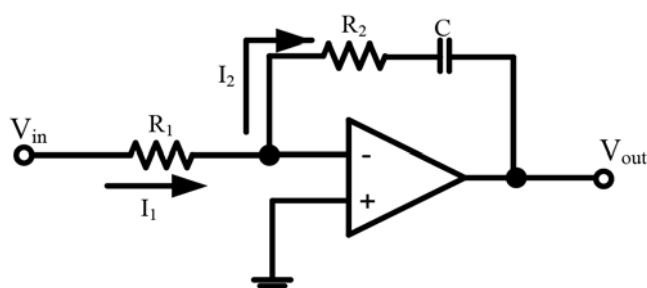
พิจารณาฟังก์ชันถ่ายโอน จะพบว่าค่าของ  $G_p$  และ  $T_i$  สามารถเปลี่ยนแปลงได้ตามต้องการ หน่วยการปรับค่า  $T_i$  จะมีผลต่อตัวควบคุมแบบไฮแต่ถ้าปรับความไวของสัดส่วน  $G_p$  จะมีผลทั้งหมด สามารถนำฟังก์ชันถ่ายโอนตัวควบคุมแบบสัดส่วนและตัวควบคุมแบบบูรณาการแสดงดังรูปที่ 2.11 และวงจรแสดงดังรูปที่ 2.12



(๗)

รูปที่ 0.11 ก. ภาพบล็อกของแบบสัดส่วนร่วมกันแบบไม้อ

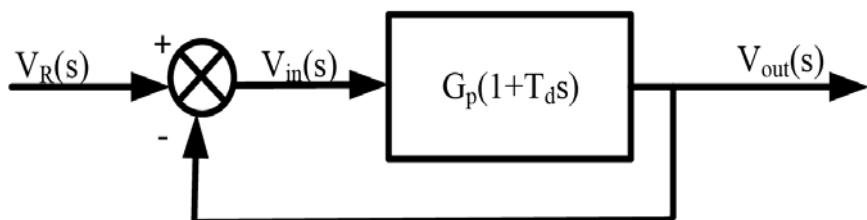
ข. ผลตอบสนองต่อฟังก์ชันขั้นบันไดของตัวควบคุมแบบสัดส่วนร่วมกันแบบไม้อ



รูปที่ 0.12 วงจรแบบสัดส่วนร่วมกันแบบไม้อ

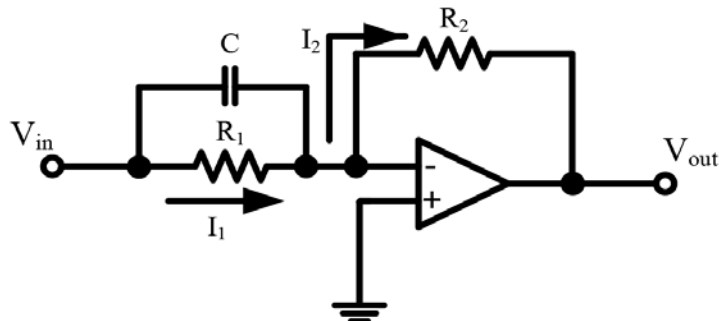
#### 2.4.5 ตัวควบคุมแบบสัดส่วนร่วมกันแบบอนุพันธ์ (PD-Controller)

ตัวควบคุมแบบนี้เป็นการนำเอาคุณสมบัติของตัวควบคุมแบบสัดส่วนกับตัวควบคุมแบบอนุพันธ์ มา รวมกันดังนั้นลักษณะที่ออกจากการตัวควบคุมชนิดนี้คือ



รูปที่ 0.13 ภาพบล็อกของตัวควบคุมแบบสัดส่วนร่วมกันแบบอนุพันธ์

ในการควบคุมแบบนี้บางครั้งเรียกว่า Proportional Rate Controller เมื่อพิจารณารูปที่ 2.13 สามารถสร้างวงจรอิเล็กทรอนิกส์ขึ้นมาทำหน้าที่ได้ดังรูปที่ 2.14



รูปที่ 0.14 วงจรแบบสัดส่วนรวมกันแบบอนุพันธ์

#### 2.4.6 ตัวควบคุมแบบสัดส่วนรวมกันแบบบูรณาการและอนุพันธ์ (PID-Controller)

ตัวควบคุมแบบสัดส่วนรวมกันแบบบูรณาการและอนุพันธ์นี้ เป็นการรวมเอาคุณสมบัติของตัวควบคุมทั้งสามแบบมาร่วมกันดังนี้ สัญญาณที่ออกจากการตัวควบคุมชนิดนี้ก็คือ

$$V_{out}(t) = G_p \cdot V_{in}(t) + \frac{1}{T_1} V_{in}(t) + T_2 \frac{d}{dt} V_{in}(t) \quad (2.13)$$

เปลี่ยนเป็นสมการ Laplace's Transforms ได้ดังนี้

$$V_{out}(s) = G_p V_{in}(s) + \frac{1}{T_1(s)} V_{in}(s) + T_2 s V_{in}(s) \quad (2.14)$$

$$V_{out}(s) = G_p V_{in}(s) \left( 1 + \frac{1}{T_1 s G_p} + \frac{T_2 s}{G_p} \right)$$

$$\text{เมื่อให้ } T_d = \frac{T_2}{G_p}$$

เขียนอยู่ในรูปฟังก์ชันถ่ายโอนได้

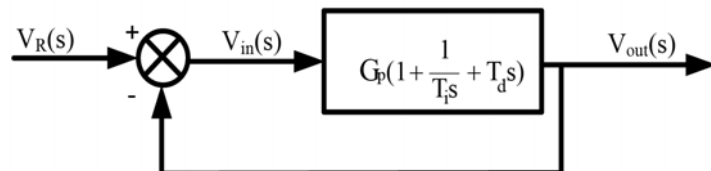
$$F(s) = \frac{V_{out}(s)}{V_{in}(s)} \quad (2.15)$$

$$= G_p \left( 1 + \frac{1}{T_1 s} + T_d s \right) \quad (2.16)$$

เมื่อ  $G_p$  = Proportional Gain

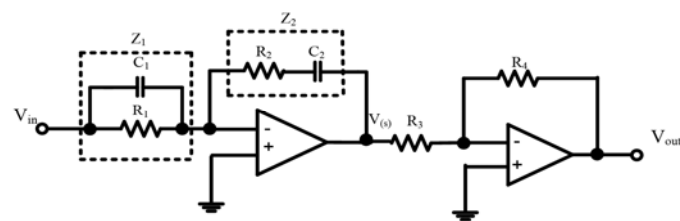
$T_i$  = Integral Time

$T_d$  = Derivative Time



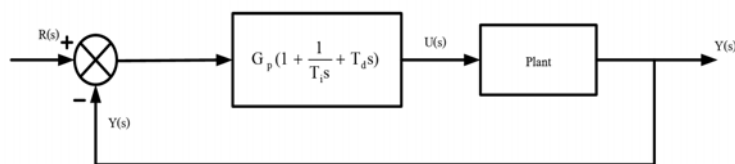
รูปที่ 0.15 บล็อกไซด์แกรมแบบสัดส่วนร่วมกับบูรณาการและอนุพันธ์

เมื่อพิจารณาจากภาพ สามารถสร้างวงจรอิเล็กทรอนิกส์ขึ้นมาทำหน้าที่ได้ดังนี้



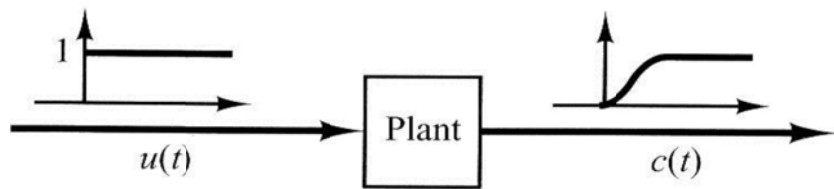
รูปที่ 0.16 วงจรตัวควบคุม พีโอดี (PID-Controller)

#### 2.4.7 การออกแบบค่าพารามิเตอร์ ของตัวควบคุม PID โดยใน Ziegler – Nichols Tuning Rule

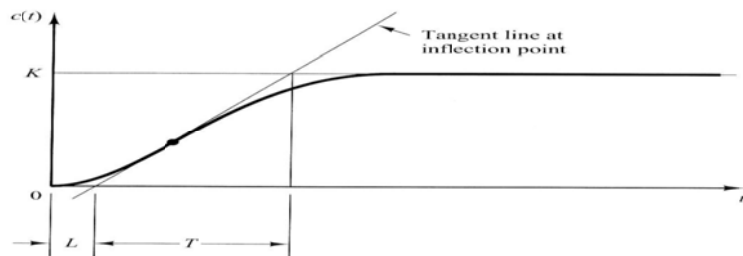


รูปที่ 0.17 พังก์ชันถ่ายโอนของระบบควบคุมแบบลูบปิด (Transfer Function of PID)

จากรูปที่ 2.17 เป็นการแสดงลูบปิดของระบบ (Plant) ที่ควบคุมด้วยตัวควบคุม PID เพื่อจะนำไปหาค่า  $T$  และ  $L$



(ก.)



(ก.)

รูปที่ 0.18 ก.ผลการตอบสนองของแพลนจากการป้อนอินพุต ยูนิต สาดีบ

ข.กราฟการตอบสนองรูปเปือส.และช่วงเวลาค่า T และ L

จากรูปที่ 2.18 แสดงให้เห็นการหาค่า  $T$  และ  $L$  จากการตอบสนอง Open loop ของระบบ และนำค่า  $T$  และ  $L$  ไปหาค่า  $K_p$ ,  $T_i$ ,  $T_d$

### Ziegler–Nichols Tuning Rule Based on Step Response of Plant (First Method)

Type of Controller	$K_p$	$T_i$	$T_d$
P	$\frac{T}{L}$	$\infty$	0
PI	$0.9 \frac{T}{L}$	$\frac{L}{0.3}$	0
PID	$1.2 \frac{T}{L}$	$2L$	$0.5L$

(ก)

Type of Controller	$K_p$	$K_i$	$K_d$
P	$0.50K_{cr}$	-	-
PI	$0.45K_{cr}$	$\frac{1.2K_{cr}}{P_{cr}}$	-
PID	$0.6K_{cr}$	$\frac{2K_{cr}}{P_{cr}}$	$\frac{K_{cr}P_{cr}}{8}$

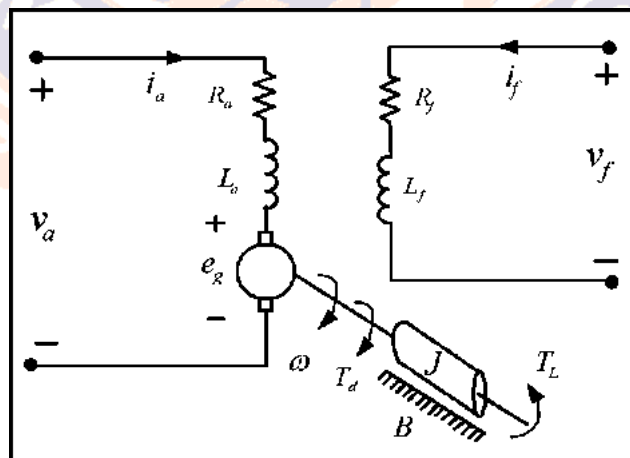
(๗)

รูปที่ 0.19 ก. กฎการปรับของ ซิงเกิล-นิโคล พื้นฐานบน Step Response ของ Plant (อันดับหนึ่ง)

ข. แสดงการหาค่า  $K_p$ ,  $K_i$ ,  $K_d$  จากวิธี ซิงเกิล-นิโคล แบบที่ 2

## 2.5 แบบจำลองทางคณิตศาสตร์ ของมอเตอร์ไฟฟ้ากระแสตรงชนิดแยกกระตุ้น

แบบจำลองทางคณิตศาสตร์ ของมอเตอร์ไฟฟ้ากระแสตรงชนิดแยกกระตุ้น สามารถหาได้จากสมการพื้นฐานของมอเตอร์ไฟฟ้ากระแสตรงชนิดแยกกระตุ้น (Chapman, 1999) โดยจะพิจารณาจากว่า สมมูลของมอเตอร์ ซึ่งประกอบไปด้วย วงจรอาร์เมจเจอร์ (armature circuit) และ วงจรสนาม (field circuit) ที่แยกอิสระจากกันดังรูปที่ 2.20



รูปที่ 0.20 วงจรสมมูลของมอเตอร์ไฟฟ้ากระแสตรงชนิดแยกกระตุ้น

จากการสมมูลของมอเตอร์ ดังรูปที่ 2.20 อธิบายความหมายของพารามิเตอร์ ต่าง ๆ ในวงจรสมมูลได้ดังนี้

$V_a$  คือ แรงดันที่ป้อนให้มอเตอร์ ทางด้านวงจรอาร์เมจเจอร์ ( V )

$V_f$  คือ แรงดันที่ป้อนให้มอเตอร์ทางด้านวงจรสนาน ( V )

$i_a$  คือ กระแสอาร์เมจเจอร์ ( A )

$i_f$  คือ กระแสสนาน ( A )

$L_a$  คือ ความเหนี่ยวนำทางด้านอาร์เมจเจอร์ ( H )

$L_f$  คือ ความเหนี่ยวนำทางด้านสนาน ( H )

$R_a$  คือ ความต้านทานอาร์เมจเจอร์ (  $\Omega$  )

$R_f$  คือ ความต้านทานสนาน (  $\Omega$  )

$\omega$  คือ ความเร็วเชิงมุม ( rad/s )

$J$  คือ โมเมนต์ความเรียบหักหมดของมอเตอร์ (  $km \cdot m^2$  )

$B$  ค่าคงที่เนื่องจากความเสียดทานความหนืด (  $N \cdot m \cdot s / rad$  )

$e_g$  คือ แรงดันขึ้นกลับ ( V )

$T_l$  คือ แรงบิดของโหลด (  $N \cdot m$  )

$T_d$  คือ แรงบิดที่มอเตอร์สร้างขึ้น (  $N \cdot m$  )

จากการสมมูลของมอเตอร์ในรูปที่ 2.20 สามารถอธิบายความสัมพันธ์ของแรงดันทางด้านวงจรอาร์เมจเจอร์ได้ดังสมการที่ (2.17)

$$va = R_a i_a + L_a \frac{di_a}{dt} + e_g \quad (2.17)$$

พิจารณากรณีกระแสสนานมีค่าคงที่ และเมื่อ  $e_g = k_e \omega$  ดังนั้น สมการของแรงดันทางด้านวงจรอาร์เมจเจอร์ จะได้ดังสมการที่ (2.18) เมื่อ  $k_e$  คือ ค่าคงที่ของแรงดันขึ้นกลับ และเมื่อพิจารณาสมการการหมุนของมอเตอร์ จะได้ดังสมการที่ (2.19)

$$va = R_a i_a + L_a \frac{di_a}{dt} + k_e \omega \quad (2.18)$$

$$T_d = J \frac{d\omega}{dt} + B\omega + T_L \quad (2.19)$$

จากสมการที่ (2.19) เมื่อกระแสสนามมีค่าคงที่ ดังนั้น เมื่อแทนค่า ในสมการที่ (2.19) จะได้ดังสมการที่ (2.20) ดังนี้

$$k_t i_a = J \frac{d\omega}{dt} + B\omega + T_L \quad (2.20)$$

เมื่อ  $k_t$  คือค่าคงที่ของแรงบิดและโดยส่วนใหญ่แล้วจะกำหนดให้  $k^e = k_t = k(N \cdot m / A)$

จากสมการที่ (2.17) และ (2.18) เมื่อจัดรูปสมการใหม่และเขียนให้อยู่ในรูปของสมการสถานะ (state equation) จะได้แบบจำลองทางคณิตศาสตร์ ของมอเตอร์ไฟฟ้ากระแสตรง

$$\begin{bmatrix} \frac{di_a}{dt} \\ \frac{d\omega}{dt} \end{bmatrix} = \begin{bmatrix} -R_a & -k \\ \frac{L_a}{L_a} & \frac{-B}{J} \end{bmatrix} \begin{bmatrix} i_a \\ \omega \end{bmatrix} + \begin{bmatrix} \frac{1}{L_a} & 0 \\ 0 & \frac{-1}{J} \end{bmatrix} \begin{bmatrix} v_a \\ T_L \end{bmatrix}$$

## 2.6 พารามิเตอร์ของมอเตอร์ไฟฟ้ากระแสตรงชนิดแยกกระแสตื้น

การคำนวณเกี่ยวกับการออกแบบตัวควบคุมมีความจำเป็นอย่างยิ่งที่ต้องทราบค่าพารามิเตอร์ ของ มอเตอร์ เพื่อใช้ในการออกแบบตัวควบคุมดัง กล่าว และเนื่องจากทางบริษัทผู้ผลิต ให้ข้อมูลของ ค่าพารามิเตอร์มาแค่บางค่าเท่านั้นด้วยเหตุนี้จึงมีความจำเป็นที่จะต้องหาค่าพารามิเตอร์ ตามแนวทาง ดังต่อไปนี้

การหาค่าพารามิเตอร์ของมอเตอร์สามารถแบ่งออกได้เป็น 3 แนวทางดังนี้

**แนวทางที่ 1** การหาค่าพารามิเตอร์ จากเอกสารข้อมูลมอเตอร์ไฟฟ้ากระแสตรงชนิดแยกกระแสตื้น ที่ ใช้ในการวิจัยมีลักษณะตามรูปที่ 2.21 ซึ่งทางผู้ผลิตจะมีเอกสารข้อมูลของมอเตอร์ แนบมาด้วย แสดงได้ตาม ตารางที่ 2.2



รูปที่ 0.21 มอเตอร์ไฟฟ้ากระแสตรงชนิดแยกกระตุ้นที่ใช้ในงานวิจัย

ตารางที่ 0.2 ค่าพารามิเตอร์จากเอกสารข้อมูล

พารามิเตอร์	ขนาด	หน่วย
พิกัดความเร็ว	3000	rpm
แรงดันอาร์เมจอร์ ( $v_a$ )	220	V
กระแสอาร์เมจอร์ ( $i_a$ )	6.5	A

### แนวทางที่ 2 การหาค่าพารามิเตอร์จากการวัดค่า

เนื่องจากค่าพารามิเตอร์ที่ได้จากการวัดค่าไม่เพียงพอจึงต้องหาค่าพารามิเตอร์จากการวัดค่าและหาค่าเฉลี่ย โดยใช้อุปกรณ์ทางการวัดคือ ดิจิตอลมัลติมิเตอร์ และ RLC มิเตอร์ซึ่งได้ทำการวัดจากมอเตอร์ในรูปที่ 2.21 และทำการวัดค่าจำนวน 3 ครั้ง แล้วนำค่าที่ได้มาหาค่าเฉลี่ย

### แนวทางที่ 3 การหาค่าพารามิเตอร์จากการคำนวณ

การหาค่าพารามิเตอร์จากการคำนวณจะใช้วิธีการเทียบเคียงทั้งนี้ เนื่องจากพารามิเตอร์บางตัวมีความสูงมากซับซ้อนในการคำนวณ ยกตัวอย่างเช่น การหาค่าโมเมนต์ความเรื้อยทั้งหมดของมอเตอร์ (J) จำเป็นต้องทราบขนาดเส้นผ่านศูนย์กลางของโรเตอร์ และน้ำหนักของโรเตอร์ ในการคำนวณซึ่งในความเป็นจริงไม่สามารถถอดตัวโรเตอร์ออกมาวัด และชั่งน้ำหนักได้เนื่องจากไม่มีความชำนาญในการประกอบตัวมอเตอร์ ซึ่งอาจทำให้มอเตอร์เกิดความเสียหายได้ เป็นต้น จากปัญหาดังกล่าว จึงได้ใช้การคำนวณโดยการเทียบเคียงกับมอเตอร์อีกพิกัดหนึ่ง ซึ่งเป็นมอเตอร์ชนิดเดียวกัน และมีลักษณะการใช้งานเหมือนกัน แต่มี

พิกัดมากกว่าใช้เป็นตัวเทียบเคียง(Kuhn, Komperda and Leuschke, 2010) ซึ่งมีค่าพารามิเตอร์ ตามตารางที่ 2.3 ดังนี้

ตารางที่ 0.3 พารามิเตอร์ ที่ใช้เทียบเคียง

พารามิเตอร์	หน่วย
แรงดันอาร์เมเจอร์ ( $v_a$ )	V
แรงดันสนาม ( $v_f$ )	V
ค่าความด้านทานของวงจรอาร์เมเจอร์ ( $R_a$ )	$\Omega$
ค่าความด้านทานของวงจรสนาม ( $R_f$ )	$\Omega$
ค่าความหนึ่งขวนำของวงจรอาร์เมเจอร์ ( $L_a$ )	mH
ค่าความหนึ่งขวนำของวงจรสนาม ( $L_f$ )	H
ค่าคงที่ของมอเตอร์ ( $k$ )	$N \cdot n / A$
ค่าคงที่เนื่องจากความเสียดทานความหนืด ( $B$ )	$N \cdot m \cdot s / rad$
ค่าโมเมนต์ความเฉื่อยทั้งหมดของมอเตอร์ ( $J$ )	$kg \cdot m^2$

การคำนวณหาค่าพารามิเตอร์ โดยการเทียบเคียง จะคำนวณเทียบเคียงจากค่าพิกัด กำลังงานของมอเตอร์ทั้งสองซึ่งค่าพารามิเตอร์ที่ต้องการหาด้วยวิธีนี้ คือ ค่าคงที่ของมอเตอร์ ( $k$ ) ค่าคงที่ เนื่องจากความเสียดทานความหนืด ( $B$ ) และค่าโมเมนต์ความเฉื่อยทั้งหมดของมอเตอร์ ( $J$ ) สามารถแสดง การคำนวณหาค่า พารามิเตอร์ ได้ดังนี้

เมื่อ  $k_u$  เป็นค่าคงที่ของมอเตอร์ที่ใช้ในงานวิจัย

$k_c$  เป็นค่าคงที่ของมอเตอร์ ที่ใช้เทียบเคียง

$P_u$  เป็นพิกัดกำลังของมอเตอร์ที่ใช้ในงานวิจัย

$P_c$  เป็นพิกัดกำลังของมอเตอร์ที่ใช้เทียบเคียง

$B_u$  ค่าคงที่เนื่องจากความเสียดทานความหนืดที่ใช้ในงานวิจัย

$B_c$  เป็นค่าคงที่เนื่องจากความเสียดทานความหนืดที่ใช้เทียบเคียง

$J_u$  เป็นค่าโมเมนต์ความเฉื่อยทั้งหมดของมอเตอร์ที่ใช้ในงานวิจัย

$J_c$  เป็นค่าโมเมนต์ความเฉื่อยทั้งหมดของมอเตอร์ที่ใช้เทียบเคียง

การคำนวณหาค่าคงที่ของมอเตอร์

การคำนวณหาค่า  $k$  สามารถคำนวณได้ตามสมการที่ (2.21)

$$k_u = \frac{P_u}{P_c} \times k_c \quad (2.21)$$

การคำนวณหาค่าคงที่  $B$  นี้ ออกจากความเสียดทานความหนืด ( $B$ )

การคำนวณหาค่า  $B$  สามารถคำนวณได้ตามสมการที่

$$Bu = \frac{P_u}{P_c} \times B_c \quad (2.22)$$

การคำนวณหาค่าไมemenต์ความเร็วอย่างทั้งหมดของมอเตอร์ ( $J$ )

การคำนวณหาค่า  $J$  สามารถคำนวณได้ตามสมการที่ (2.23)

$$J_u = \frac{P_u}{P_c} \times J_c \quad (2.23)$$

จากการหาค่าพารามิเตอร์ของมอเตอร์ที่ใช้ในงานวิจัยทั้งการหาค่าจากเอกสารข้อมูล การวัดค่า และการคำนวณเทียบเคียงสามารถสรุปได้ตามตารางที่ 2.4 ดังนี้

ตารางที่ 0.4 ค่าพารามิเตอร์ของมอเตอร์ไฟฟ้ากระแสตรงชนิดแยกกระตุ้นที่ใช้ในงานวิจัย

พารามิเตอร์	หน่วย	ขนาด
พิกัดความเร็ว	rpm	3000
แรงดันอาร์เมเจอร์ ( $v_a$ )	V	220
กระแสอาร์เมเจอร์ ( $i_a$ )	A	6.5
ค่าความต้านทานของวงจรอาร์เมเจอร์ ( $R_a$ )	$\Omega$	3.10
ค่าความหนึ่ยวนนำของวงจรอาร์เมเจอร์ ( $L_a$ )	mH	$7.897 \times 10^{-4}$

## 2.7 บล็อกໄດอะแกรมของมอเตอร์ไฟฟ้ากระแสตรงชนิดแยกกระตุ้น

การออกแบบตัวควบคุมพีไอ จำเป็นต้องทราบบล็อกໄດอะแกรมของมอเตอร์ไฟฟ้ากระแสตรงที่พิจารณา เพื่อนำไปสู่การหาฟังก์ชันถ่ายโอนที่ใช้ในการออกแบบตัวควบคุม ซึ่งการหาบล็อกໄດอะแกรมของมอเตอร์ไฟฟ้ากระแสตรง (Rashid, 2004) จะพิจารณาจากสมการทางไฟฟ้าและสมการทางกลของมอเตอร์ไฟฟ้ากระแสตรงจากสมการที่ (2.18) และ (2.20) โดยทำการแปลงสมการที่ (2.18) และ (2.20) ให้อยู่ในรูป

โดยเน้นเอกสารโดยใช้การแปลงลาปลาช พร้อมทั้งพิจารณาค่าเริ่มต้นต่าง ๆ เป็นศูนย์แสดงได้ตามสมการที่ (2.24) และ (2.25) ดังนี้

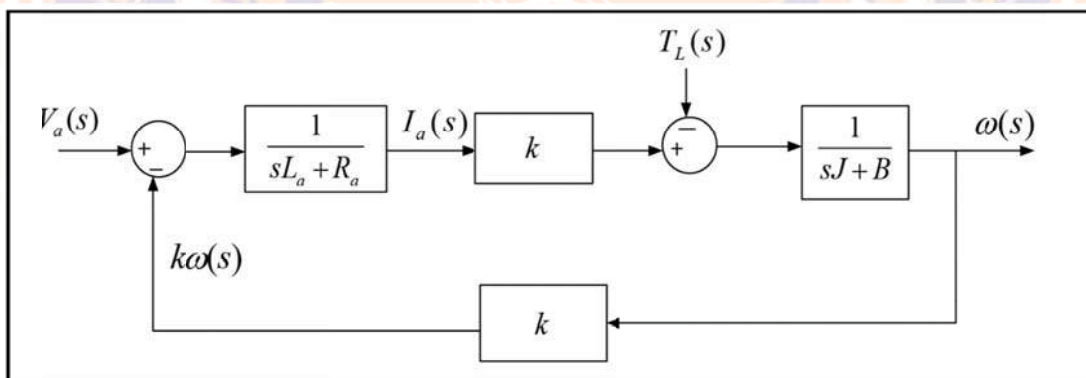
$$v_a(s) = R_a I_a(s) + s L_a I_a(s) + k \omega(s) \quad (2.24)$$

$$k I_a(s) = s J \omega(s) + B \omega(s) + T_L(s) \quad (2.25)$$

จากสมการที่ (2.24) และ (2.25) เมื่อนามาจัดรูปสมการใหม่ให้อยู่ในรูปสมการของกระแสอาร์เมเจอร์ และความเร็วเชิงมุมจะได้ดังสมการที่ (2.26) ดังนี้

$$I_a(s) = \frac{V_a(s) - k \omega(s)}{s L_a + R_a} \quad (2.26)$$

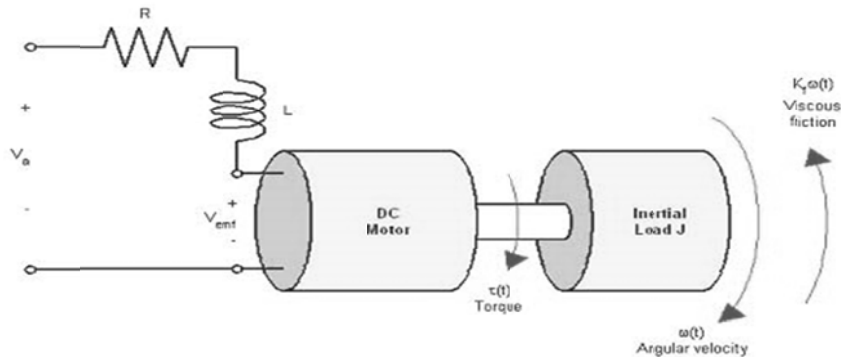
จากการสัมพันธ์ของสมการทางไฟฟ้าในสมการที่ (2.26) สามารถนามาจัดรูปแบบความสัมพันธ์ของแรงดันอาร์เมเจอร์และความเร็วเชิงมุมของมอเตอร์ไฟฟ้ากระแสตรงได้ตามแผนภาพล็อกไซโอดวงรูปที่ 2.22



รูปที่ 0.22 แผนภาพบล็อกไซโอดวงรูปของมอเตอร์ไฟฟ้ากระแสตรงชนิดแยกกระตุ้น

## 2.8 การวิเคราะห์ระบบมอเตอร์ไฟตรง

มอเตอร์ไฟตรง (DC Motor) สามารถเขียนเป็นวงจรที่ประกอบไปด้วยโครงสร้างทั้งทางด้านไฟฟ้าและทางกล ได้ดังรูปที่ 2.23 โดยสามารถแยกโครงสร้างได้ตามสัญลักษณ์ ดังนี้



รูปที่ 0.23 วงจรของมอเตอร์ไฟฟ้า (DC Motor Circuit)

สมการทางไฟฟ้า (Electric Equation)

$$V_a = Ri + L \frac{di}{dt} + V_{emf} \quad (2.27)$$

สมการทางเครื่องจักรกล (Machine Equation)

$$V_{emf} = K_b \omega \quad (2.28)$$

$$T = K_m i \quad (2.29)$$

สมการทางกล (Mechanical Equation)

$$T = T_d + J \frac{d\omega}{dt} + K_f \omega \quad (2.30)$$

เมื่อ		=	คำอธิบาย
$V_a$		=	armature voltage
$R$		=	winding resistance
$L$		=	winding inductance
$T$		=	Induced Torque
$T_d$		=	Load Torque
$i$		=	armature current
$J$		=	Moment of Inertia
$K_b$		=	Back emf constant
$K_m$		=	Torque constant
$K_f$		=	mechanical damper
$V_{emf}$		=	emf voltage

ทำการแปลงลาปลาช สมการ (2.27) ถึง (2.30) จะได้ความสัมพันธ์ดังนี้

จาก (2.27)  $V_a(s) - V_{\text{emf}}(s) = (Ls + R)I(s)$   
 จะได้  $I(s) = \frac{V_a(s) - V_{\text{emf}}(s)}{(Ls + R)}$  (2.31)

จาก (2.29)  $T(s) = K_m \times I(s)$  (2.32)

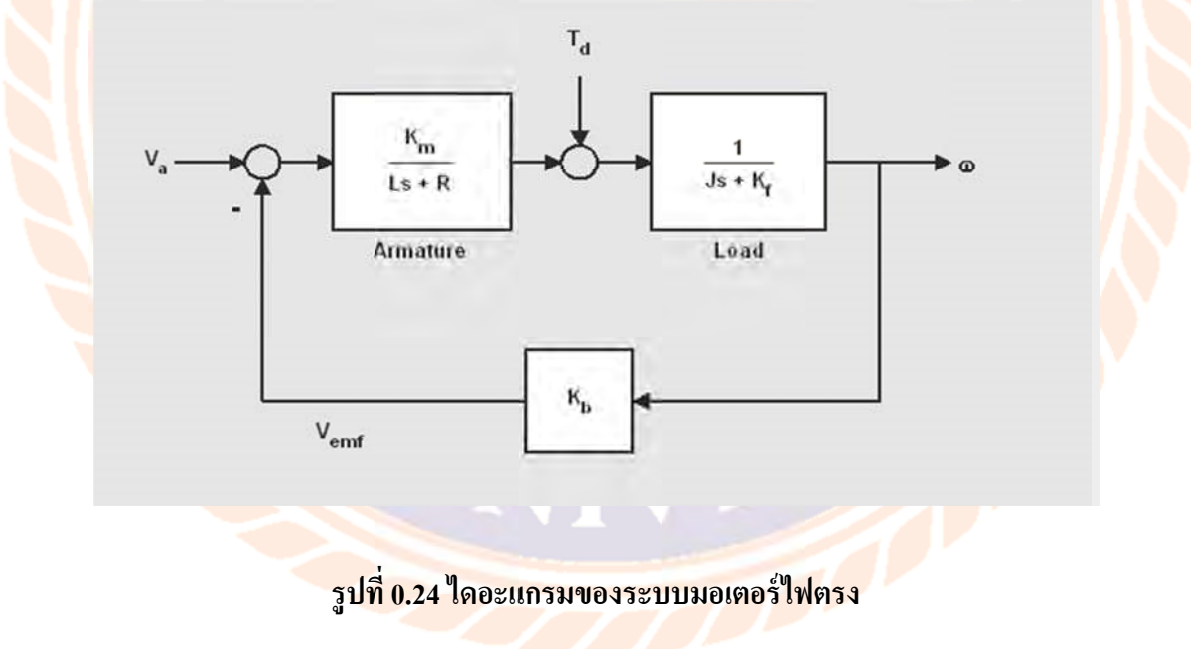
แทน (2.31) ใน (2.32) จะได้

$$T(s) = K_m \times \frac{V_a(s) - V_{\text{emf}}(s)}{(Ls + R)} \quad (2.33)$$

จาก (2.30)  $T(s) = T_d(s) + (J.s + K_f)\omega(s)$   
 จะได้  $\omega(s) = \frac{T(s) - T_d(s)}{(J.s + K_f)}$  (2.34)

จาก (2.28)  $V_{\text{emf}}(s) = K_b \times \omega(s)$  (2.35)

สามารถแทนระบบในรูปของฟังก์ชันโอนถ่าย ได้ดังรูปที่ 2.24



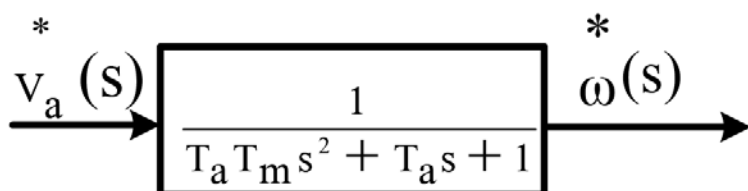
รูปที่ 0.24 ไดอะแกรมของระบบมอเตอร์ไฟฟ้า

### 2.8.1 สมการถ่ายโอนของมอเตอร์ไฟฟ้ากระแสตรงแบบลูปเปิด

$$T(s) = \frac{1}{\frac{(T_a s + 1)(T_m s)}{1 + \frac{1}{(T_a s + 1)(T_m s)}}}$$

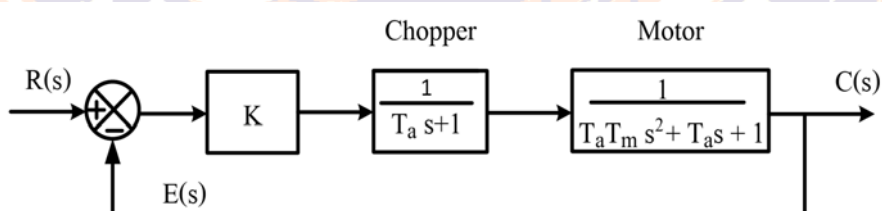
$$T(s) = \frac{1}{T_a T_m s^2 + T_a s + 1}$$

จากสมการ (2.34) บล็อกไดอะแกรมพังก์ชันการถ่ายโอนของมอเตอร์ไฟฟ้ากระแสตรงแบบลูปเปิดได้ดังภาพที่ 2.8



รูปที่ 0.25 พังก์ชันการถ่ายโอนของมอเตอร์ไฟฟ้ากระแสตรงแบบลูปเปิด

นำบล็อกไดอะแกรมพังก์ชันการถ่ายโอนของมอเตอร์ไฟฟ้ากระแสตรงแบบลูปเปิดรวมกับบล็อกวงจร Chopper กับค่าอัตราการขยาย จากตัวควบคุม PID ในที่นี่ กำหนดเป็นค่า K ดังภาพที่ 2.9



รูปที่ 0.26 พังก์ชันการถ่ายโอนของมอเตอร์ไฟฟ้ากระแสตรงแบบแยกกระตุนกับวงจร Chopper และวงจร PID (โดยค่า K คือค่าอัตราการขยายวิกฤต)

## 2.9 ขั้นตอนการวิเคราะห์ระบบโดยใช้โปรแกรมจำลองแบบด้วยคอมพิวเตอร์

การวิเคราะห์ระบบโดยโปรแกรมจำลองแบบด้วยคอมพิวเตอร์สามารถสรุปวิธีการเขียนใช้งาน ได้ดังนี้

1. เปิดโปรแกรมจำลองแบบด้วยคอมพิวเตอร์และเข้าโปรแกรมโดยกดปุ่ม Simulink (ปุ่มด้านซ้ายของเครื่องหมาย ? หรือเลือกจากเมนู) จะจะแสดงหน้าต่าง Simulink Library Browser ให้บนจอ
2. เปิดไฟล์เพื่อสร้างแบบจำลองใหม่ โดย File / New เลือก Model จะจะแสดงหน้าต่างสำหรับเขียนโปรแกรมมาให้ และให้ทำการเลือกหน้าต่างไปทางขวาอยู่คู่กับหน้าต่างของ Simulink Library Browser เพื่อความสะดวกในการวิเคราะห์
3. ทำการวิเคราะห์โดยการที่ต้องการ โดยเลือก Block จาก Library ต่าง ๆ เมื่อพบแล้วให้กดเมาส์ที่รูปเหลวๆ ตามยังหน้าต่างที่จะทำการวิเคราะห์ หลังจากนั้นให้ทำการลากเส้นเชื่อมต่อระบบให้ครบ
4. ให้กำหนดชื่อของตามรูป และกำหนดค่าพารามิเตอร์ของทุกบล็อก โดยดับเบิลคลิกที่บล็อก และกำหนดค่าให้ตรงตามที่ต้องการ
5. คูณลักษณ์เอาต์พุตได้ โดยสั่งที่เมนู Simulation / Start แล้วทำการดับเบิลคลิกที่บล็อกเอาต์พุต คือ Scope หลังจากนั้นให้กดปุ่ม Auto scale หรือปุ่มรูปกล้องส่องส่องทางไกล เพื่อปรับภาพให้เหมาะสม และสามารถทำการปรับค่าสเกลในแนวนอน เพื่อคูณปั๊ญญาณให้ชัดเจนยิ่งขึ้นได้ โดยกดที่ปุ่ม Parameters และให้กำหนดค่าช่วงเวลาของแกนในแนวนอน (Time range) ตามต้องการ

ตารางที่ 2.5 รายละเอียดของบล็อกต่าง ๆ ที่ใช้วิเคราะห์ สามารถหาได้จากไลบรารี ซึ่งมีดังนี้

Block Diagram	Library
Constant	Sources
Sum	Math
PID	Simulink Extras / Additional Linear
Transfer Function	Continuous
Scope	Sinks

### หมายเหตุ

- บล็อก Sum สามารถเลือก / เพิ่ม เครื่องหมาย + - ได้โดยดับเบิลคลิกที่รูปบล็อก และเปลี่ยนเครื่องหมายโดยได้ที่ช่อง List of signs
- การหมุนรูปทำได้โดยกดปุ่ม Ctrl + R

## 2.10 การทดสอบระบบควบคุมจากผลตอบสนองของระบบ

### 2.10.1 พังก์ชันโอนข่ายของระบบงาน (Plant)

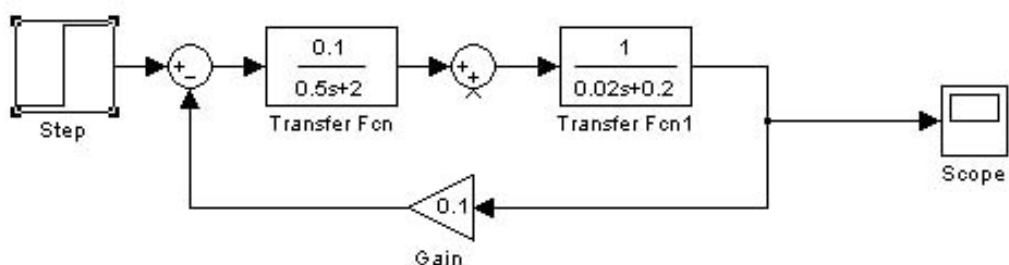
กำหนดให้ระบบมอเตอร์ไฟฟ้า มีค่าพารามิเตอร์ต่าง ๆ ดังนี้

$$R = X \cdot X \Omega \quad L = X \cdot X H \quad K_m = K_b = X \quad K_f = X \cdot X N \cdot m \cdot s$$

$$J = X \cdot X \text{ kg} \cdot \text{m}^2 / \text{s}^2$$

สามารถเขียนได้ในโปรแกรมพังก์ชันโอนข่ายของระบบงานในโปรแกรม Simulink ได้ดังรูป

ที่ 2.25

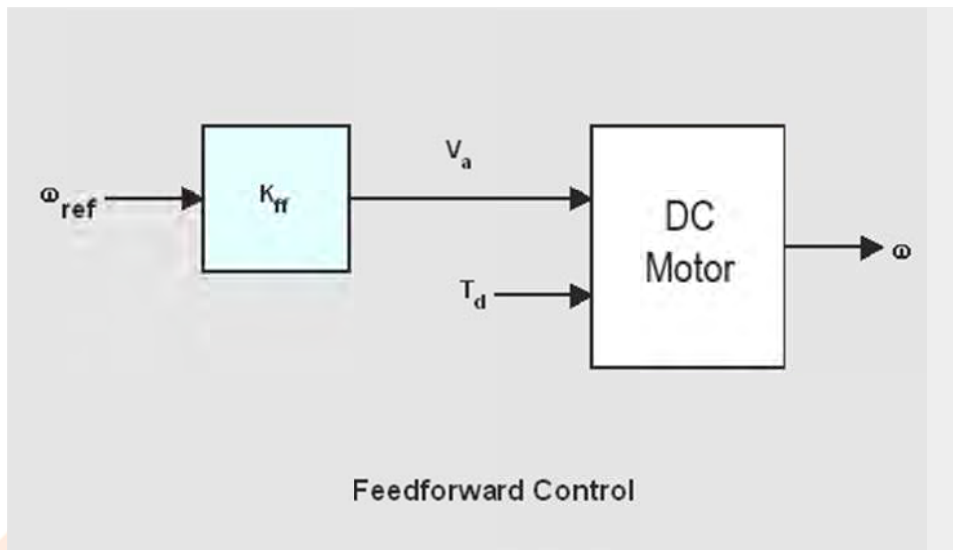


รูปที่ 2.27 ระบบงาน (Plant) ในโปรแกรม Simulink

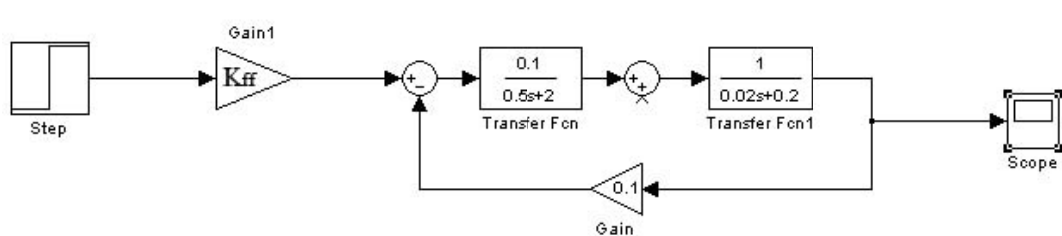
ทำการจำลองแบบระบบ แล้วบันทึกข้อมูลผลตอบสนองของระบบที่ได้ (ภาวะที่ยังไม่มีระบบควบคุม)

## 2.11 ระบบควบคุมแบบ Feed Forward

เป็นการควบคุมระบบ โดยไม่มีการป้อนค่าเอาต์พุตย้อนกลับเข้ามา มีลักษณะการควบคุมดังรูปที่ 2.26



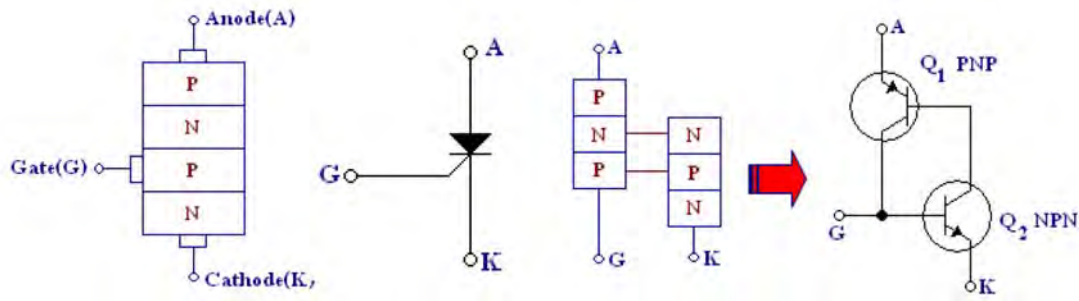
รูปที่ 2.28 รูปแบบการควบคุมแบบ Feed Forward



รูปที่ 2.29 แบบจำลองสำหรับทดสอบส่วนในระบบควบคุมแบบ Feed Forward

## 2.12 SCR

SCR มีขาสำหรับต่อใช้งาน 3 ขา ประกอบด้วย แອโนด (Anode , A) แค็โอด (Cathode , K) และเกต (Gate , G) มนัจจะยอมให้กระแสไฟ流ผ่านได้เพียงทิศทางเดียวเท่านั้น ไม่สามารถไหลกลับ จึงแตกต่างกับ��體ที่มีความสามารถควบคุมให้นำกระแสหรือไม่นำกระแสได้โดยทำการควบคุมมุ่งในการทริก(Trigger) ที่ขาเกต ส่วนกระแสหลักที่ใช้ในการขับไฟลัด กือ กระแสแອโนด ( $I_A$ ) ที่ไฟลจากขาแອโนดไปยังแค็โอด

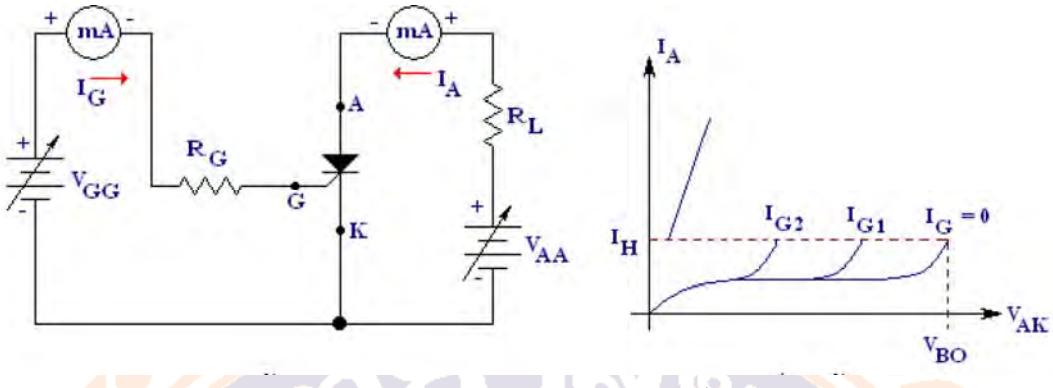


ก) โครงสร้าง ข) สัญลักษณ์ ค) วงจรสมมูลย์

รูปที่ 2.30 โครงสร้าง สัญลักษณ์และวงจรสมมูลย์ของ SCR

โครงสร้างของ SCR ประกอบด้วยสารกึ่งตัวนำ PNPN 4 ชั้นประยุกต์กัน ตามรูปที่ 2.28 ก) สาร P ที่อยู่ริมสุดจะต่อขาแอดโనด (A) ออกมายังงาน ส่วนขา N ด้านริมสุดฝั่งตรงข้ามจะต่อเป็นขาแคตโอด (K) ออกมายังงาน ในส่วนตอนกลางซึ่งเป็นรอยต่อ PN จะต่อขาเกต(G) ที่สาร P ออกมายังขาหัวรับควบคุมการไฟลของกระแส  $I_A$  เมื่อพิจารณาสัญลักษณ์ในรูปที่ 2.28ข) จะเห็นว่ามีสัญลักษณ์เหมือนไดโอดเพียง แต่เพิ่มขาเกตขึ้นมาอีกหนึ่งขา ดังนั้นมันจึงเป็นอุปกรณ์ที่ยอมให้กระแสไฟลผ่านได้เพียงทิศทางเดียวเหมือนไดโอด แต่ถ้าต่างตรงที่สามารถควบคุมปริมาณของแรงดันและกระแสที่จะให้ผ่านไปยังโอลด์ได้ ในส่วนของวงจรสมมูลย์ดังรูปที่ 2.28 ค) จะมีลักษณะคล้ายการนำทรานซิสเตอร์ PNP และ NPN มาต่อร่วมกันซึ่งมันเป็นเพียงลักษณะทางโครงสร้างทั่วไปแต่ในความเป็นจริงแล้วเราไม่สามารถนำทรานซิสเตอร์มาต่อเพื่อให้ทำหน้าที่เป็น SCR ได้ เนื่องจาก SCR จะใช้งานที่ต้องการกระแสและแรงดันสูงมาก แต่สามารถนำทรานซิสเตอร์แล้วส่วนที่เป็นขาเบสจะทนกระแสได้น้อยมาก จึงไม่อาจนำทรานซิสเตอร์มาต่อเพื่อใช้งานแทน SCR ได้

## 2.13 คุณลักษณะของ SCR และ การใช้งาน



(ก) วงจรทดสอบคุณลักษณะของ SCR

(ข) กราฟคุณลักษณะของ SCR

รูปที่ 2.31 วงจรอาร์ดทดสอบคุณลักษณะและกราฟคุณลักษณะของ SCR

พิจารณาการหาคุณลักษณะของ SCR จากรูปที่ 2.29 ก) โดยการทดสอบกับแหล่งจ่ายไฟตรง สมมติว่า ในขณะเริ่มต้นให้  $V_{GG} = 0 \text{ V}$  จากนั้น ทำการปรับเพิ่ม  $V_{AA}$  ขึ้นไปเรื่อยๆ (ขณะนี้เรียกว่าไม่มี การทริกที่เกต  $I_g = 0$ ) เมื่อปรับเพิ่ม  $V_{AA}$  ไปจนถึงค่า  $V_{BO}$  (Break over voltage) SCR จะนำกระแสได้และมี กระแส  $I_A$  ไหลผ่านโหลด  $R_L$  แต่วิธีการนี้ จะไม่นิยมใช้ เพราะจะทำให้เกิดอันตรายต่อโหลดและ SCR เนื่องจาก  $V_{BO}$  อาจมีค่าสูงเกินกว่าที่โหลดจะรับได้และ SCR จะเกิดความเครียดจากแรงดันที่มีค่าสูงเกินไป จนอาจเสียหายได้เช่นกัน

วิธีการที่จะไม่ทำให้เกิดอันตรายต่อโหลดและ SCR ก็คือการป้อนกระแสทริกที่เกต ( $I_g$ ) โดยสมมติ ว่า โหลดต้องการแรงดันค่าหนึ่ง เราจะปรับ  $V_{AA}$  ให้ใกล้เคียงกับแรงดันที่โหลดต้องการจากนั้น ทำการปรับ ค่า  $V_{GG}$  ให้ได้กระแส  $I_g$  ค่าหนึ่ง สมมุติว่า ขณะนี้คือ  $I_{g1}$  (พิจารณาในรูปภาพ 2.25 ข) SCR จะนำกระแสโดย มีแรงดันต่อกันที่ขา  $A_K$  ไม่ถึง  $V_{BO}$  และถ้าเพิ่ม  $I_g$  ให้มากขึ้นสมมติเป็น  $I_g2$  แรงดันที่ต่อกันที่ขา  $A_K$  ในช่วงการนำกระแสก็จะยังคงดังนั้น แรงดันส่วนใหญ่จึงไปตกคร่อมโหลด  $R_L$  แต่ทั้งนี้ทั้งนั้นหากเกต จะต้องได้รับไฟบวกในการทริกเท่านั้น จึงจะสามารถนำกระแสได้ เนื่องจากขาเกตกับแคบ โอดเป็นรอยต่อ PN เหมือนรอยต่อของไอดิオติ๊ป ไอดิอัล ไบเออร์ หรือไอดิอัล ไบออร์ ที่ใช้ในการทริกSCR จึงจะนำกระแสได้โดยปกติทั่วไปในวงจรไฟตรงเมื่อ SCR นำกระแสค่าแรงดัน  $V_{AK}$  จะน้อยมากใกล้ศูนย์ ดังนั้นค่ากระแส  $I_A$  ขณะ SCR นำกระแสอาจหาได้จาก

$$I_A = \frac{V_{AA}}{R_L} \quad (2.36)$$

เมื่อ SCR นำกระแสในวงจรไฟตรงแล้วแม้ว่าจะตัดแหล่งจ่ายไฟ  $V_{GG}$  ออกไป SCR ก็จะยังคง นำกระแสได้ออยู่ต่อไป เพราะรอยต่อ PN ที่ขา  $G_K$  ลดค่าความต้านทานลงมาภายหลัง ได้รับการ ทริกที่ขา  $G$

แรงดันต่อกลางของ pn junction ที่ขา G<sub>K</sub> จึงใกล้ศูนย์มากแรงดันที่ A เทียบกับ K จึงมีค่าประมาณใกล้ศูนย์เท่านั้นเนื่องจากเกิดกระแส  $I_A$  ไหลอย่างต่อเนื่อง เพราะฉะนั้น โหลด  $R_L$  จึงสามารถทำงานได้อย่างต่อเนื่อง

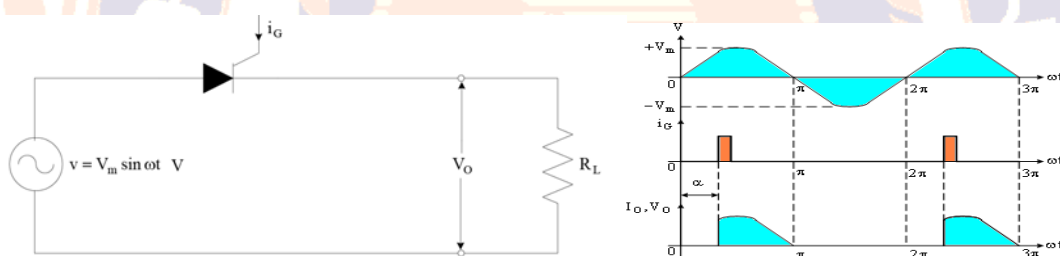
พิจารณาต่อไปถ้า  $I_A$  มีค่าลดลงจะด้วยเหตุผลใดก็ตาม SCR จะยังคงนำกระแสได้ตราบใดที่ค่ากระแส  $I_A$  ไม่ต่ำกว่ากระแสยึด (Holding current ,  $I_{IH}$ ) แต่ถ้าเมื่อใด  $I_A$  ต่ำกว่า  $I_{IH}$  SCR จะหยุดนำกระแสทันทีซึ่งให้นำกระแสใหม่จะต้องทำการทริกที่ขาเกตอีกครั้งมันจึงจะนำกระแสได้โดยมีข้อแม้ว่า  $I_A$  ต้องไม่น้อยกว่า  $I_{IH}$

อย่างไรก็ตามการจะให้ SCR นำกระแสได้อย่างปลอดภัย จะต้องยึด หลักดังนี้

1. ไบแอดส์ขั้วบวกที่แอดตีบบันกับแคลโดด
2. ไบแอดส์ไฟบวกที่ขั้วเกตเทียบกับแคลโดด (เรียกว่าทริกเกอร์ที่เกต)
3. ถ้าต้องการให้ SCR หยุดนำกระแสต้องลดค่า  $I_A$  ให้ต่ำกว่า  $I_{IH}$  หรือตัววงจรการให้โหลดของกระแส  $I_A$

จากคุณลักษณะทางไฟฟ้าของ SCR ในเบื้องต้น จะเห็นได้ว่าสามารถนำ SCR มาใช้ในการแปลงไฟฟ้ากระแสสลับให้เป็นไฟฟ้ากระแสตรงที่สามารถปรับค่าแรงดันไฟตรงที่โหลดได้ซึ่งก็สามารถจัดวางได้ทั้งแบบครึ่งคลื่นและเต็มคลื่นเข่นเดียวกันกับการใช้ไดโอด

### 2.13.1 วงจรเรียงกระแสครึ่งคลื่นใช้ SCR



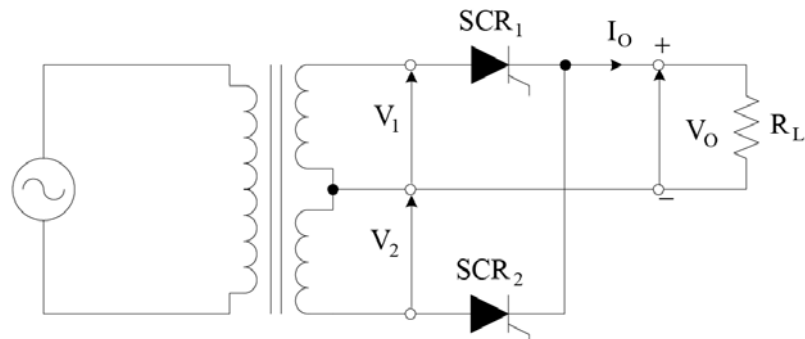
ก) วงจรเรียงกระแสแบบครึ่งคลื่นใช้ SCR ข) รูปคลื่นสัญญาณของแรงดันด้านอนพุตและเอาต์พุต

รูปที่ 2.32 วงจรเรียงกระแสครึ่งคลื่นใช้ SCR และรูปคลื่นอินพุตเอาต์พุตที่มุ่งจุดชนวน

พิจารณารูปที่ 2.30 เป็นวงจรเรียงกระแสแบบครึ่งคลื่นที่ใช้ SCR โดยมีมุ่งจุดชนวนที่ขาเกต(ทริกเกอร์) อยู่ที่มุม  $a$  เมื่อ SCR นำกระแสจะเห็นได้ว่ากระแสโหลดและแรงดันที่โหลด ( $I_O$  และ  $V_O$ ) จะเริ่มที่มุม  $a$  ไปจนถึง  $\pi$  ตามลักษณะของรูปคลื่นไปสลับด้านบวก แต่เมื่อไฟสลับไปอยู่ที่ช่วงสัญญาณด้านลบ SCR จะไม่ยอมให้  $I_O$  และ  $V_O$  ผ่านไปยังโหลด  $R_L$  ได้จนกว่าจะมีสัญญาณด้านบวกครอบใหม่เข้ามาและเมื่อถึงช่วงมุ่งจุดชนวนเกตที่มุม  $a$  SCR จึงจะยอมให้  $I_O$  และ  $V_O$  ผ่านไปยังโหลด  $R_L$  ได้

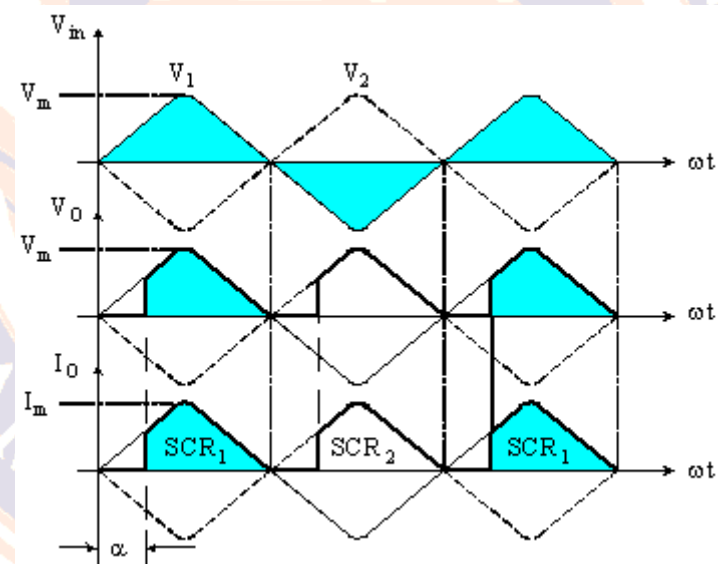
การใช้งาน SCR ในวงจรเรียงกระแสแบบเต็มคลื่นจะพิจารณาเป็น 2 แบบ คือในกรณีของวงจรเรียงกระแสเต็มคลื่นที่ใช้ห้ามหม้อแปลงมีแพลทและกรีนของวงจรบริค์

### 2.13.2 วงจรเรียงกระแสเติมคลื่นที่ใช้หม้อแปลงมีแท็ปกลาง



รูปที่ 2.33 วงจรเรียงกระแสแบบเติม คลื่นของ SCR ที่ใช้หม้อแปลงมีแท็ปกลาง

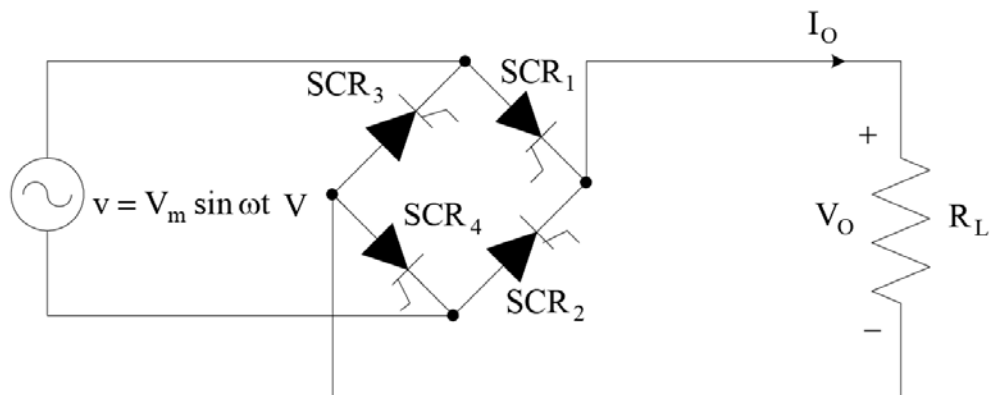
พิจารณาวงจรเรียงกระแสเติมคลื่นแบบใช้หม้อแปลงมีแท็ปกลางดังรูปที่ 2.31 จะมีลักษณะเหมือนกับการทำงานจะเหมือนกับวงจรเรียงกระแสที่ใช้ไดโอดเพียงแต่กรณีนี้ สามารถควบคุมปริมาณกระแสและแรงดันที่เอาต์พุตได้ดังนั้นในการคำนวณหาค่ากระแสและแรงดันที่เอาต์พุตจึงคำนวณและสามารถพิจารณาเบริญเทียบกับรูปคลื่นสัญญาณรูปที่ 2.32 ได้ดังนี้



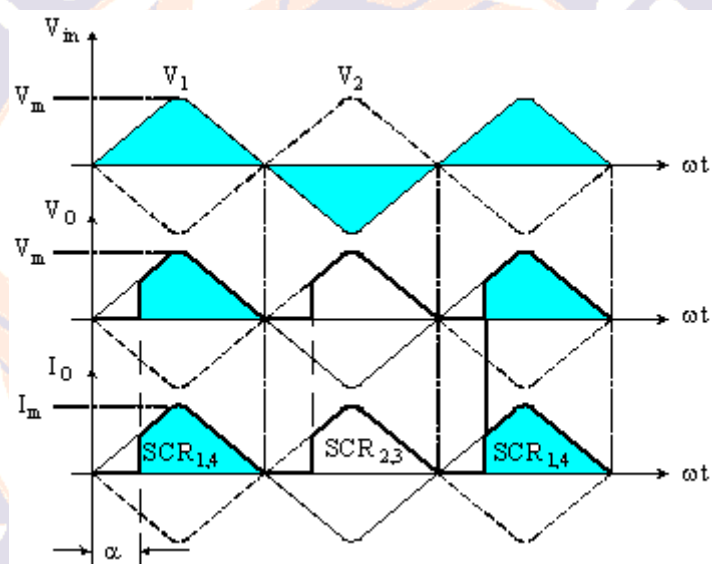
รูปที่ 2.34 รูปคลื่นสัญญาณวงจรเรียงกระแสแบบเติมคลื่นที่ใช้หม้อแปลงมีแท็ปกลาง

เมื่อพิจารณาจากรูปที่ 2.31 และรูปคลื่นสัญญาณรูปที่ 2.32 การควบคุมมุ่งการนำกระแสของ SCR สามารถควบคุมได้ตั้งแต่  $0^\circ$  ถึง  $180^\circ$  นั่นคือสามารถควบคุมค่าแรงดันไฟฟ้าที่จะไปตกคร่อมที่โหลด  $R_L$  ได้โดยเมื่อพิจารณารูปคลื่นสัญญาณจากรูปที่ 2.32 จะเห็นได้ว่าค่าแรงดันที่ตกคร่อมโหลด  $R_L$  จะมีค่าสูงสุดเมื่อมุ่งในการทริก หรือ  $\alpha=0^\circ$  และแรงดันตกคร่อมโหลดจะเป็นศูนย์เมื่อมุ่งในการทริก หรือ  $\alpha=180^\circ$

### 2.13.3 วงจรเรียงกระแสเติมคลื่น แบบบริดจ์



รูปที่ 2.35 วงจรเรียงกระแสเติม คลื่นแบบบริดจ์ใช้ SCR



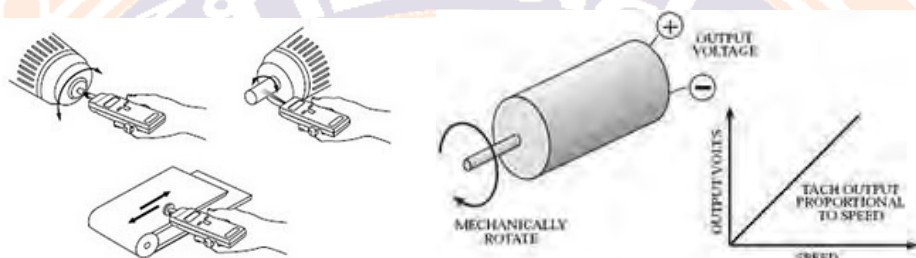
รูปที่ 2.36 รูปคลื่นสัญญาณวงจรเรียงกระแสเติมคลื่นแบบบริดจ์

เมื่อพิจารณาจากรูปที่ 15.9 และรูปคลื่นสัญญาณรูปที่ 2.34 การควบคุมมุ่งการนำกระแสของ SCR ยังคงสามารถควบคุมได้ตั้งแต่  $0^\circ$  ถึง  $180^\circ$  นั่นคือ สามารถควบคุมค่าแรงดันไฟฟ้าที่จะไปตกคร่อมที่โหลด  $R_L$  ได้แต่จะ มี SCR ทำหน้าที่ในการเรียงกระแสเพิ่มคลื่นสัญญาณครึ่งไซเกลละ 2 ตัวและเมื่อพิจารณา รูปคลื่นสัญญาณจากรูปที่ 2.34 จะเห็นได้ว่าค่าแรงดันที่ตกคร่อมโหลด  $R_L$  จะมีค่าสูงสุดเมื่อมุ่งในการทริกหรือ  $\alpha=180^\circ$  เช่นเดียวกับกับวงจรเรียงกระแสเติมคลื่นที่ใช้มอแปลงมีแท็ปกลางอีกห้องค่าของ แรงดันตกคร่อมโหลดจะเป็นศูนย์เมื่อตำแหน่งของมุ่งในการทริก หรือ  $\alpha=0^\circ$

## 2.14 วัดความเร็วรอบมอเตอร์

### การวัดระยะการหมุน

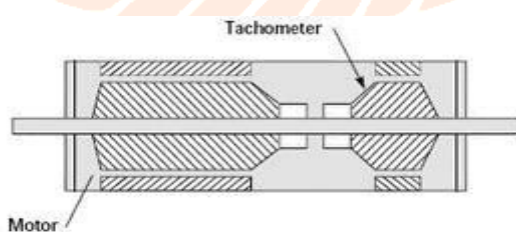
มาตราอัตรารอบ (tachometer) เป็นอุปกรณ์ที่ใช้วัดการหมุนของเพลา ส้อ หรือ โรเตอร์ ในมอเตอร์ หรือเครื่องจักรต่าง ๆ โดยปกติแล้วจะแสดงผลอยู่ในรูปของจำนวนรอบต่อนาที (rpm) มาตราอัตรารอบมีหลายแบบขึ้นกับหลักการทำงาน ดัวอย่างเช่น อาศัยหลักการทำงานของเครื่องกำเนิดไฟฟ้าที่เปลี่ยนพลังงานกลเป็นพลังงานไฟฟ้า โดยที่ความต่างศักย์ที่ส่งออกมายังผู้คนตรงกับความเร็วเชิงมุมที่วัด หรือ อาศัยหลักการตรวจนับสัญญาณพัลส์ที่มีการส่งออกมามีอีกการหมุนครบรอบในช่วงเวลาหนึ่ง หรือ อาศัยหลักการสะท้อนของแสง มาตราอัตรารอบมีทั้งแบบสัมผัสและไม่สัมผัส รูปที่ 2.35 แสดงตัวอย่างการใช้งานมาตราอัตรารอบในลักษณะต่าง ๆ



รูปที่ 2.37 TACHOMETER.

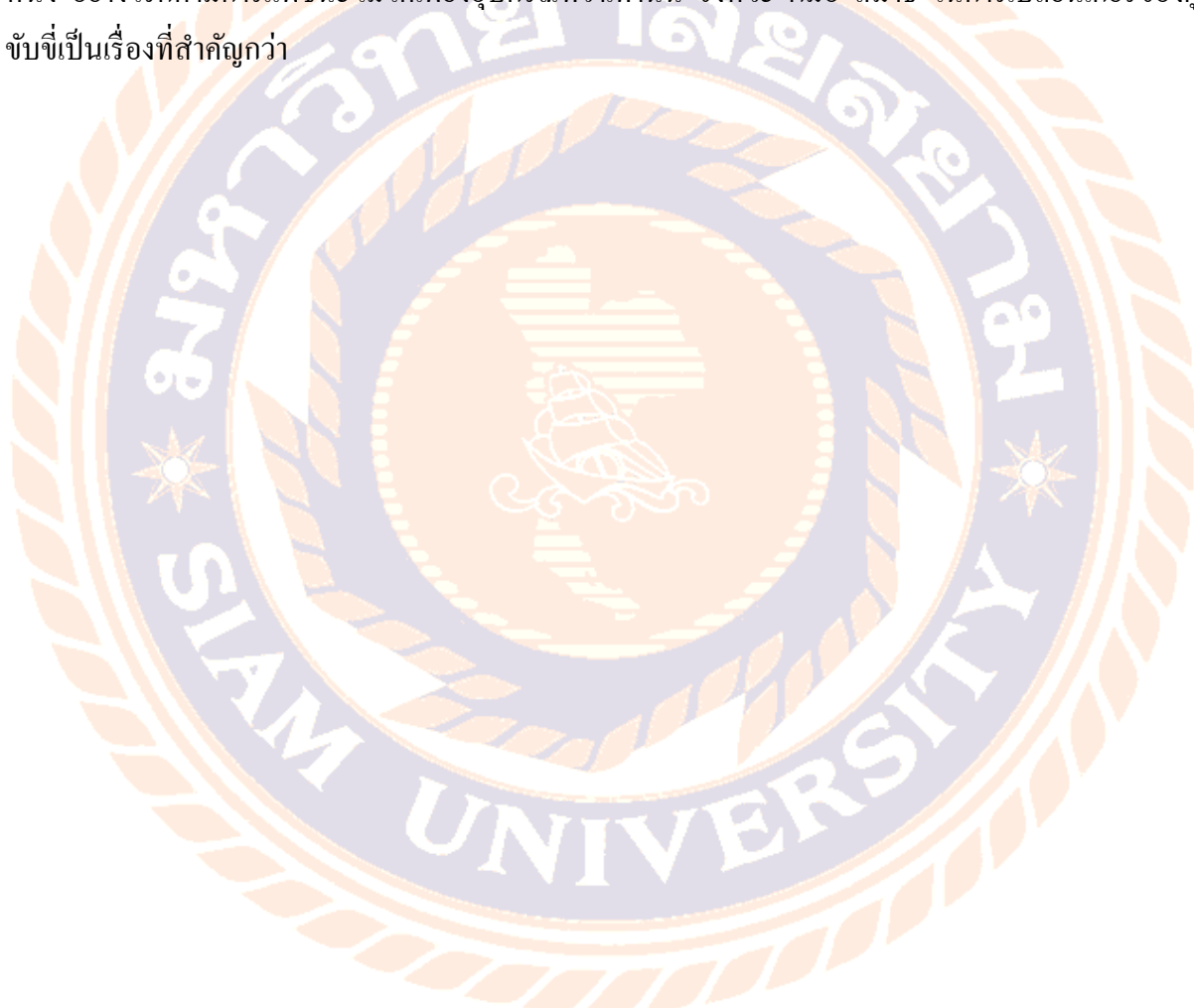
Tachometer สามารถนำมาใช้เป็นอุปกรณ์ป้อนกลับได้ โดยส่วนมากจะใช้ป้อนกลับอัตราเร็วของมอเตอร์ การทำงานใช้หลักการง่ายคือนำดีซิมอเตอร์แบบแม่เหล็กการต่อเข้ากับแกนของมอเตอร์ที่ต้องการควบคุม นั่นคือหากมอเตอร์ที่เราต้องการควบคุมเกิดหมุน ดีซิมอเตอร์ก็ให้ค่าความต่างศักย์ออกมายังเราสามารถนำค่า ความต่างศักย์นี้ไปใช้เป็นสัญญาณป้อนกลับให้กับระบบควบคุมได้

ดีซิมอเตอร์แบบแม่เหล็กการวน一圈เดือนิยมนามาใช้เป็นตัวป้อนกลับอัตราเร็วของระบบเชอร์โวโดยจะต้อง มีการซัดเซยความคลาดเคลื่อนจากอุณหภูมิรวมทั้งใช้ silver เป็นคอมมิวเตเตอร์เพื่อเพิ่มความน่าเชื่อถือเมื่อ ใช้งานที่อัตราเร็วต่ำ ๆ หรือกระแสต่ำ ๆ ดังนั้นรับนิยมติด Tachometer (Small permanent magnet DC motor) เข้ากับระบบโดย ดังรูป



รูปที่ 2.38 มาตราอัตรา (TACHO METER) RPM

สำหรับมาตรฐานครอง ก็เหมือนกับมาตรฐานความร้อน คือรถยนต์ส่วนใหญ่จะมีการติดตั้งมา ให้จากโรงงานอยู่แล้ว แต่สาเหตุที่มีบางคนต้องไปติดเพิ่มอาจมาจากเหตุผลต่างกันไป บางคนอาจคิดว่าเป็นอุปกรณ์ตกแต่งสร้างความสวยงาม หรือความเท่ แต่กับบางคนอาจ จะเป็นสิ่งจำเป็นจริง ๆ อย่างรถยนต์ที่ผ่านการไม่ดิฟายเปลี่ยนไปใช้แคมฯ องศาสูงมาก ๆ จนทำให้สามารถเร่งรอบได้มากกว่าเดิม ซึ่งวัสดุรอบที่มีดิดมา กับรถ ไม่สามารถแสดงข้อมูล ได้เพียงพอ จึงต้องหาอันใหม่มาติดเข้าไป หรือในรถยนต์ที่ทำขึ้นมาสำหรับ การแข่งขัน ควรเตอร์ไมล์ซึ่งจังหวะการเปลี่ยนเกียร์ ถือเป็นสิ่งที่ต้องการให้ความสำคัญมาก การตัดสิน แฟชโนโลยีที่เวลาเพียงเศี้ยววินาที ดังนั้นมาตรฐานที่มาพร้อมไฟเดือน จึงกลายเป็น อุปกรณ์ช่วยได้อย่าง หนึ่ง อย่างไรก็ตามการแพชunate ไม่ได้เพียงอุปกรณ์ที่ว่าเท่านั้น จังหวะ ฝีมือ สามารถ ในการเปลี่ยนเกียร์ของผู้ ขับที่เป็นเรื่องที่สำคัญกว่า

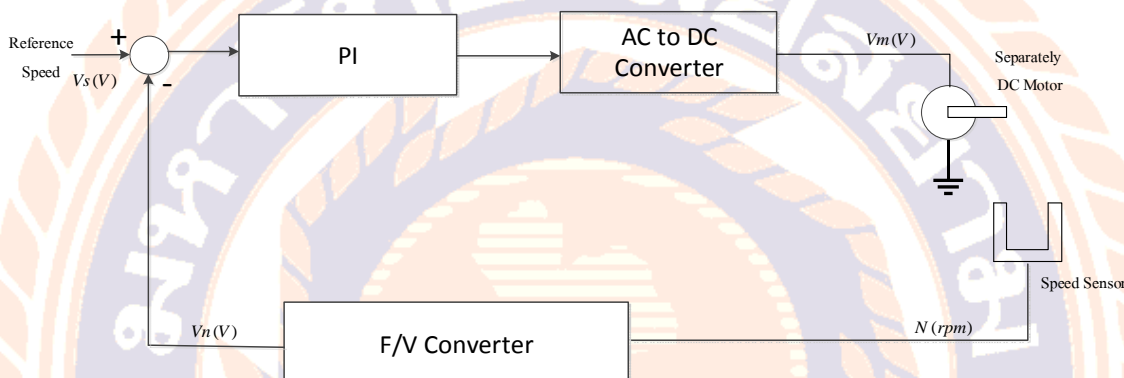


## บทที่ 3

### โครงงานที่นำเสนอด้วยตัวควบคุมพีไอ

โครงงานนี้นำเสนอด้วยตัวควบคุมความเร็วของมอเตอร์กระแสตรงแบบกระตุ้นแยก ที่ควบคุมด้วยตัวควบคุมพีไอ แสดงดังรูปที่ 3.1

#### 3.1 บล็อกไซเดียมรวมของโครงงานที่นำเสนอ

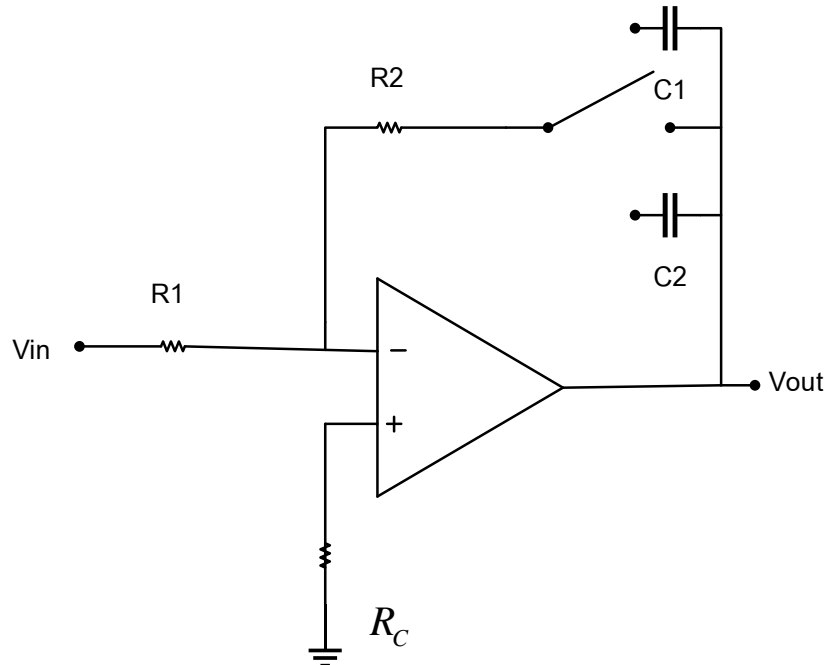


รูปที่ 0.1 โครงงานที่นำเสนอ

จากบล็อกไซเดียมรวมของระบบควบคุมความเร็วของมอเตอร์ ประกอบด้วย ตัวควบคุมพีไอที่ต่อแบบอนุกรม วงจรเอซีทูดีซีคอนเวอร์เตอร์ (AC to DC Converter) มอเตอร์ไฟฟ้ากระแสตรงแบบกระตุ้นแยก แทกโടเจนเนอเรเตอร์ (Tachogenerator) เป็นทรานสดิวเซอร์ที่เปลี่ยนสัญญาณความเร็วของมอเตอร์เป็นสัญญาณไฟฟ้าด้วยอัตราคงที่ (หน่วยเป็น V/rpm) เพื่อนำไปเปรียบเทียบกับสัญญาณอ้างอิงที่ตั้งไว้ ในการทำโครงงานนี้ได้ทำการจำลองการทำงานของตัวควบคุมพีไอ และระบบควบคุม ด้วยโปรแกรมจำลองแบบด้วยคอมพิวเตอร์เพื่อวิเคราะห์คุณลักษณะของตัวควบคุมและระบบที่เกิดความคลาดเคลื่อนน้อยที่สุดเท่าที่เป็นได้ แล้วทำการทดสอบระบบจริง เพื่อเปรียบเทียบผลที่ได้

### 3.2 ตัวควบคุม PI

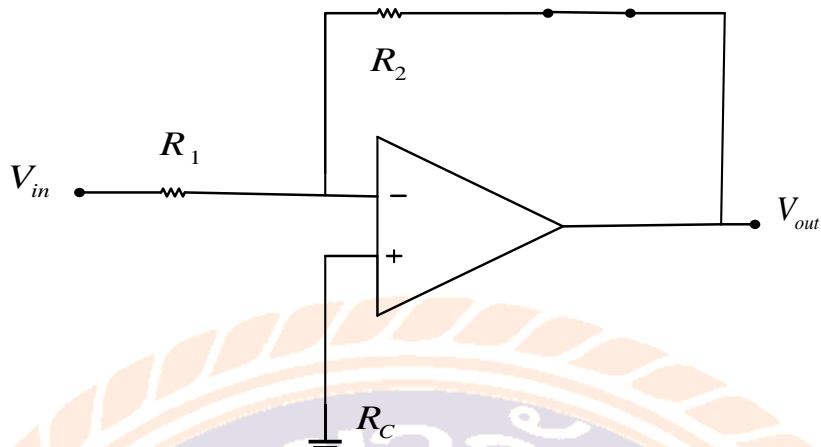
ในโครงการนี้เลือกใช้ตัวควบคุม PI แบบอนุกรม โดยสามารถเลือกค่าตัวเก็บประจุได้ 2 ค่า วงจรแสดงดังรูปที่ 3.2



รูปที่ 0.2 ตัวควบคุมพีไอที่ใช้

#### 3.2.1 กราฟตัวควบคุมแบบ P อย่างเดียว

วงจรตัวควบคุมแบบ P และแสดงดังรูปที่ 3.3 ประกอบด้วย ออปแอมป์ และ ตัวต้านทาน 2 ตัว เป็นวงจรแบบขยายสัญญาณกลับเฟส



รูปที่ 0.3 วงจรตัวควบคุมแบบ P

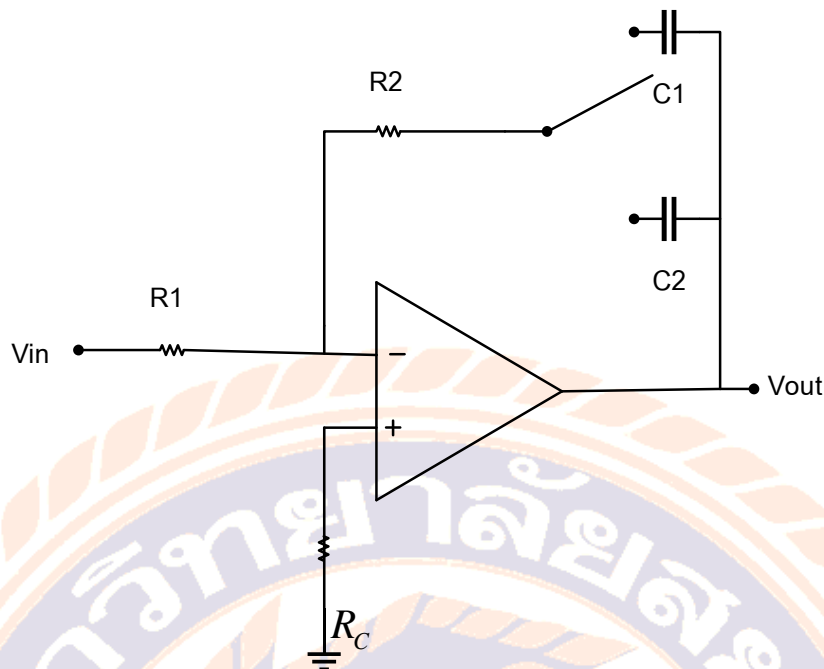
หาพึงชันการถ่ายโอนได้เป็นดังสมการที่ (3.1)

$$\frac{V_{out}}{V_{in}} = -\frac{R_2}{R_1} \quad (3.1)$$

เมื่ออัตราการขยายของตัวควบคุมมีค่าเป็น  $K_p = \frac{R_2}{R_1}$  ส่วนเครื่องหมายลบแสดงถึงการกลับเฟสของสัญญาณที่เอาต์พุต

### 3.2.2 กรณีตัวควบคุมแบบ PI

วงจรตัวควบคุมแบบ PI แสดงดังรูปที่ 3.4 เป็นตัวควบคุมแบบอนุกรม ซึ่งสามารถเลือกใช้ได้ 2 ลักษณะที่ขึ้นอยู่กับค่าตัวเก็บประจุ C1 และ C2



รูปที่ 0.4 ตัวควบคุมแบบ PI

กำหนดให้  $C_1 = C_2 = C$  ทำการวิเคราะห์วงจรในรูปที่ 3.4 เป็นดังนี้

$$\text{เมื่อ } Z_f = R_2 + ZC$$

$$= R_2 + \frac{1}{sC} = \frac{R_2 Cs + 1}{sC}$$

$$\begin{aligned} \frac{V_{out}}{V_{in}} &= -\frac{Z_f}{R_1} \\ &= -\left[ \frac{R_2 Cs + 1}{sC} \right] \frac{1}{R_1} \\ &= \left[ \frac{R_2}{R_1} + \frac{1}{R_1 Cs} \right] \end{aligned}$$

$$\frac{V_{out}}{V_{in}} = -\frac{R_2}{R_1} \left[ 1 + \frac{1}{R_2 Cs} \right] \quad (3.2)$$

$$\text{เมื่อ } K_p = \frac{R_2}{R_1}, T_i = R_2 C \text{ จะสังเกตได้ว่าในสมการที่ (3.2) ค่าอัตราการขยายของ } K_p \text{ มีผลต่อ}$$

ค่าคงตัวทางเวลาของตัวควบคุมแบบ I

### 3.3 วงจรเรอซิทูดีซีก่อนแวร์เตอร์

วงจร AC/DC rectifier ที่ใช้ในโครงงานนี้ เป็นแบบ Single- phase half-wave controlled rectifier หรือเรียกอีกชื่อหนึ่งว่า วงจร Zero Order Hold :ZOH อุปกรณ์ใช้คือ Thyristor (Silicon controlled rectifiers :SCR) จำนวน 4 ตัว ต่อแบบบริดจ์ และต่อร่วมกับโหลด ที่ถูกควบคุมด้วยสัญญาณพัลส์ที่มีมุมเป็น  $\alpha$  แสดงดังรูปที่ 3.5

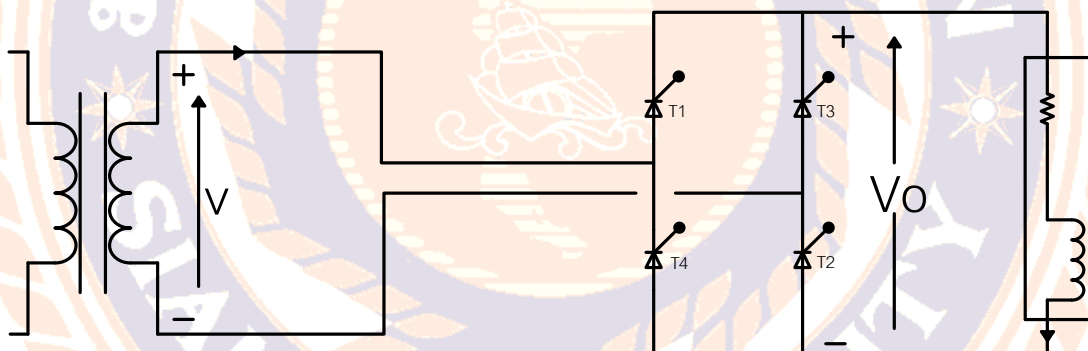
กรณิ์โหลดของ Rectifier เป็นวงจร L-R ที่มีค่าคงตัวเวลา  $T = \frac{L}{R}$  ถ้ากระแสเอาต์พุตต่อเนื่อง แล้วค่าเฉลี่ยของแรงดันเอาต์พุต DC เป็น

$$V_d = V_{d\text{-max}} \cos \alpha \quad (3.3)$$

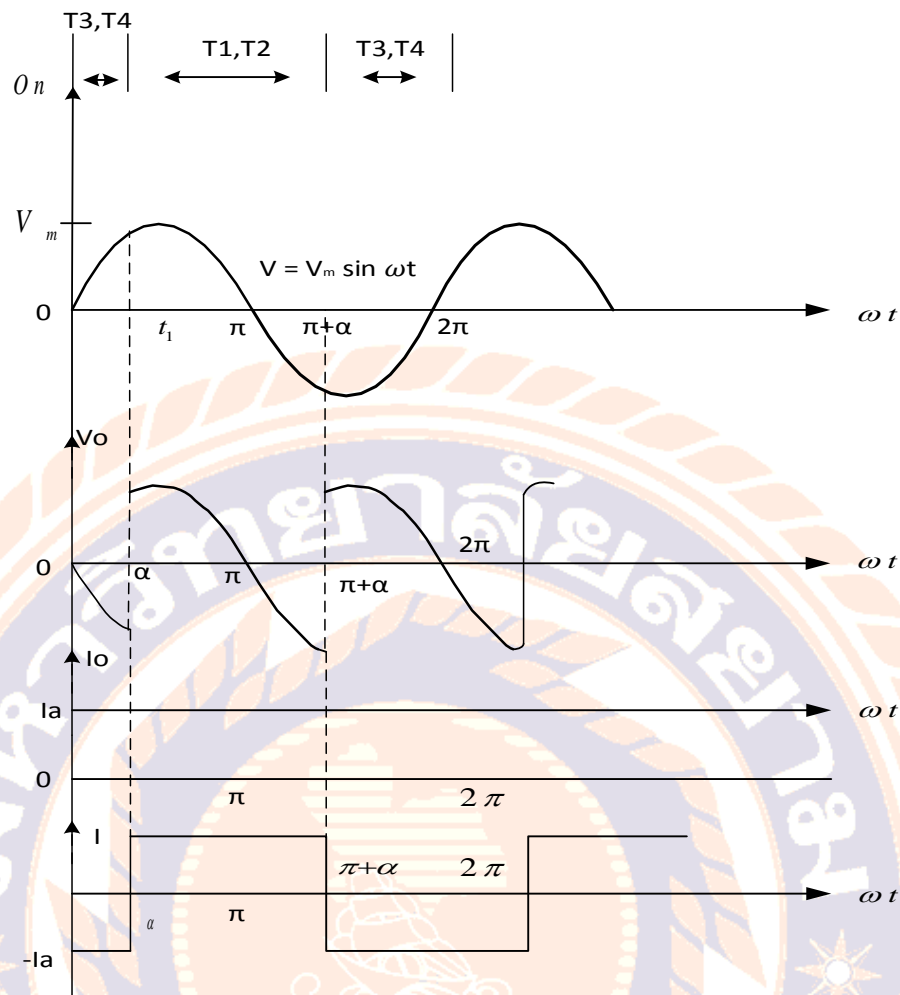
เมื่อ  $\alpha$  มุมทริกของสัญญาณพัลส์

$V_d$  แรงดันเฉลี่ยของเอาต์พุต DC

$V_{d\text{-max}}$  แรงดันเฉลี่ยที่เอาต์พุต DC มีค่าสูงสุดเป็น  $\alpha = 0$



รูปที่ 0.5 วงจร AC/DC Rectifier แบบเฟสเดียว



รูปที่ 0.6 รูปคลื่นของวงจร ZOH

จากรูปที่ 3.5 ได้กราฟความสัมพันธ์ของแรงดันและกระแสอินพุตและเอาต์พุต แสดงดังรูปที่ 3.6 สมมติว่า ความถี่ของสัญญาณอินพุตของ Rectifier มีค่าเป็น  $f = 50\text{Hz}$  ( $T = \frac{1}{f} = 20\text{ ms}$ ) แล้ววงจรนี้จะทำงานครึ่งคลื่น นั่นคือ มนูญหนี่ยวนำที่  $180^\circ$  (หรือ  $\pi\text{ rad}$ ) ในช่วงเวลา  $10\text{ ms}$  กระแสจะทำงาน ON และกระแสจะหยุดทำงาน Off ครึ่งคลื่น แรงดันเอาต์พุตจะไม่ถูกควบคุมในครึ่งคลื่น เมื่อมีการจ่ายสัญญาณ พลัสดำเข้าไปในวงจร ดังนั้นอุปกรณ์โหลดจะรักษาแรงดันเอาต์พุตใน 1 คานเวลาของ  $\frac{T}{2} = \frac{1}{2f}$  เมื่อมี  $f$  เป็น  $2$  เท่าของความถี่อินพุตนั้นเอง ดังนั้นอัตราการขยายของฟังชันถ่ายโอนในช่วงที่สุ่มสัญญาณ  $\frac{T}{2} = 10\text{ ms}$  ในระบบหนึ่งหน่วยมีค่าเป็น

$$G(t) = \frac{V_o}{V_{in}} \Big|_{\text{per-unit}} = 1$$

วงจร AC/DC Rectifier ที่ใช้ในโครงการนี้เป็นอุปกรณ์หนึ่งทำหน้าที่หน่วงเวลาในโอดเมน s ซึ่งเวลาการหน่วงนั้นเป็นช่วงเวลาในการสุ่ม T มีค่าเป็น  $\sigma$  ความถี่ของแหล่งจ่ายมีค่าเป็น  $f = 50 \text{ Hz}$  และการหน่วงเวลา  $T=\sigma=20 \text{ ms}$  ได้ฟังก์ชันถ่ายโอนในระบบ per-unit เป็น

$$G(s) = e^{-Ts} = e^{-\sigma s} \quad (3.4)$$

เมื่อ

$T$ =ช่วงเวลาการสุ่ม (Sampling interval)

$\sigma$ =ความเวลาในการเปลี่ยน (Commutation Period)

ในการควบคุมกระแสหรือควบคุมความเร็ว (Current & speed Control System) มีผลตอบสนองเป็น  $0.1-1 \text{ s}$  จะพิจารณา่าว่าการสุ่มสัญญาณ  $20 \text{ ms}$  มีค่าน้อยมากๆ นั่นคือ  $T_s = \sigma s \rightarrow 0$  สมการ (3.4) เก็บให้มีค่าเป็น

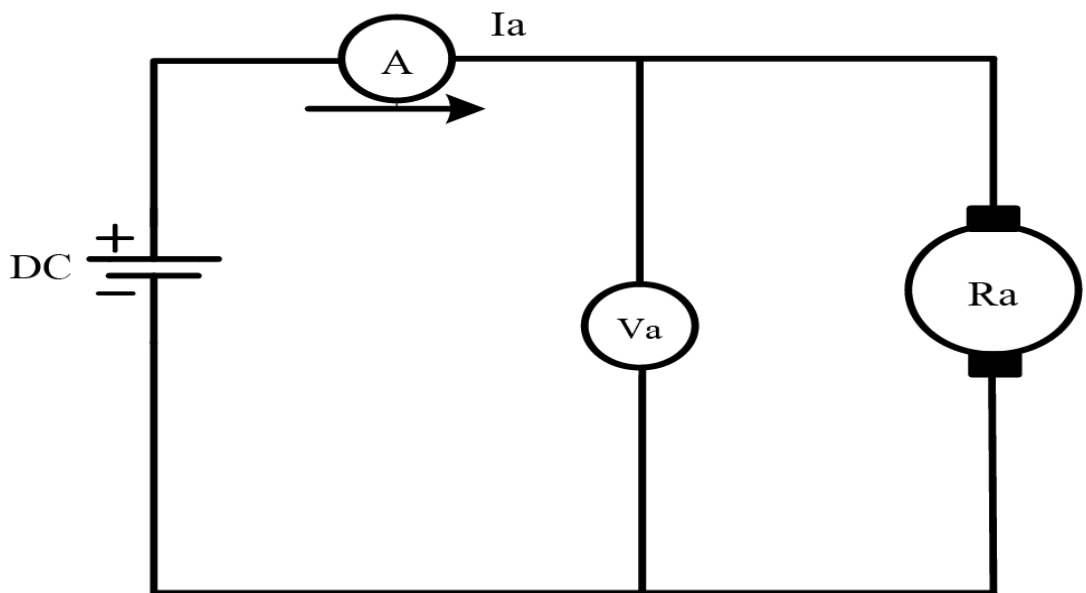
$$G(s) = e^{-\sigma s} = 1 - \sigma s = \frac{1}{1 + \sigma s} = 1 \quad (3.5)$$

จากสมการที่ (3.5) แสดงให้เห็นว่าฟังก์ชันถ่ายโอนของวงจรเอซูดีซีคอนเวอร์เตอร์ ที่ใช้ในโครงการนี้มีค่าหนึ่ง

### 3.4 การหาค่าพารามิเตอร์ของมอเตอร์ไฟฟ้ากระแสตรง

ในการควบคุมมอเตอร์ไฟฟ้ากระแสตรง ด้วยตัวควบคุม PI จำเป็นต้องทราบค่าพารามิเตอร์ของมอเตอร์ก่อน เพื่อที่จะได้ค่าพารามิเตอร์ ที่ได้จากการทดสอบไปออกแบบเป็นระบบควบคุมความเร็วของมอเตอร์

#### 3.4.1 การทดสอบหาค่าความต้านทานอานาเมจอร์ของมอเตอร์ ( $R_a$ )



รูปที่ 0.7 วงจรทดสอบความต้านทานอาเมเจอร์

ขนาดพิกัดของมอเตอร์ไฟฟ้ากระแสตรง

พิกัดแรงดัน	220	$V_{DC}$
พิกัดกระแส	6.5	$A$
พิกัดกำลังงาน	1,100	$W$
ความเร็วรอบสูงสุด	3,000	rpm

จ่ายแรงดันไฟฟ้ากระแสตรง (DC) ให้กับวงจร ได้เท่ากับขนาดกระแสพิกัดในขณะที่มอเตอร์หยุดนิ่ง  
วัดกระแสและแรงดัน

แรงดันที่วัดได้	20.25	$V$
กระแสที่วัดได้	6.52	$A$

ทำการคำนวณหาค่าความต้านทานอาเมเจอร์ของมอเตอร์จากสูตร

$$R_a = \frac{V_a}{I_a} \quad (3.6)$$

โดยที่

$R_a$  = ความต้านทานอาเมเจอร์ของมอเตอร์ไฟฟ้ากระแสตรง ( $\Omega$ )

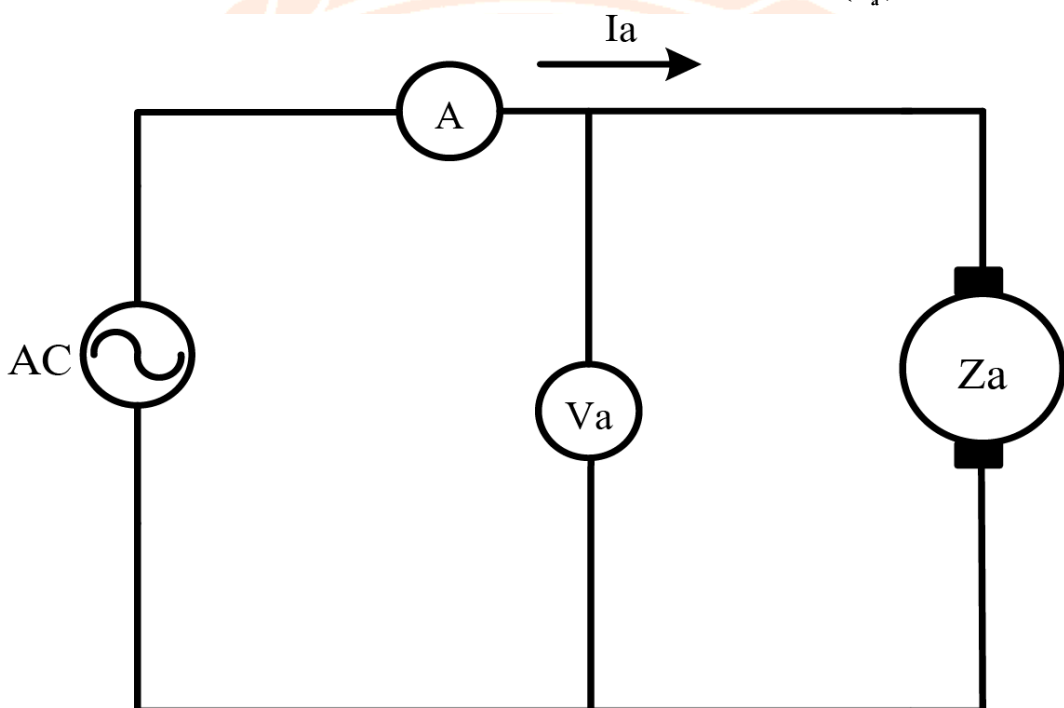
$V_a$  = ค่าแรงดันอาร์เมจอร์ของมอเตอร์ไฟฟ้ากระแสสลับ (V)

$I_a$  = ค่ากระแสอาร์เมจอร์ของมอเตอร์ไฟฟ้า (A)

จะได้

$$R_a = \frac{20.25}{6.52} = 3.10 \Omega$$

### 3.4.2 การทดสอบเพื่อหาค่าอินดักแทนซ์ของมอเตอร์ต่อวงจรการทดสอบ ( $L_a$ )



รูปที่ 0.8 วงจรทดสอบหาค่าอินดักแทนซ์ของมอเตอร์

ขนาดพิกัดของมอเตอร์ไฟฟ้ากระแสสลับ

พิกัดแรงดัน	220	$V_{DC}$
พิกัดกระแส	6.5	A
พิกัดกำลังงาน	1,100	W
ความเร็วรอบสูงสุด	3,000	rpm

จ่ายแรงดันไฟฟ้ากระแสสลับ (AC) ให้กับวงจร ได้เท่ากับขนาดกระแสพิกัดในขณะที่มอเตอร์หยุดนิ่ง วัดกระแสและแรงดัน

แรงดันที่วัดได้

93

V

กระแสที่วัดได้ 6.5 A

คำนวณหาค่าอิมพีเดนซ์ของมอเตอร์จากสูตร

$$Z_a = \frac{V_{rms}}{I_{rms}} \quad (3.7)$$

โดยที่

$Z_a$  = ค่าอิมพีเดนซ์ของมอเตอร์ไฟฟ้ากระแสตรง ( $\Omega$ )

จะได้ว่า

$$Z_a = \frac{93}{6.5} = 14.31 \Omega$$

คำนวณหาค่ารีแอคแทนซ์ของมอเตอร์จากสูตร

$$X_L = \sqrt{Z_a^2 - R_a^2} \quad (3.8)$$

โดยที่

$X_L$  = ค่ารีแอคแทนซ์ของมอเตอร์ไฟฟ้ากระแสตรง ( $\Omega$ )

จะได้ว่า

$$X_L = \sqrt{(14.31)^2 - (3.1)^2} = 13.97 \Omega$$

คำนวณหาค่าอินดักแทนซ์ของมอเตอร์จากสูตร

$$L_a = \frac{X_L}{2\pi f} \quad (3.9)$$

โดยที่

$L_a$  = ค่าอินดักแทนซ์ของมอเตอร์ ( $H$ )

$f$  = ค่าความถี่ = 50 Hz

จะได้ว่า

$$L_a = \frac{13.97}{2\pi(50)} = 44.47 \text{ mH}$$

การคำนวณหาค่าคงที่ของเวลาของวงจรอาร์เมจเจอร์จากสูตร

$$T_a = \frac{L_a}{R_a} \quad (3.10)$$

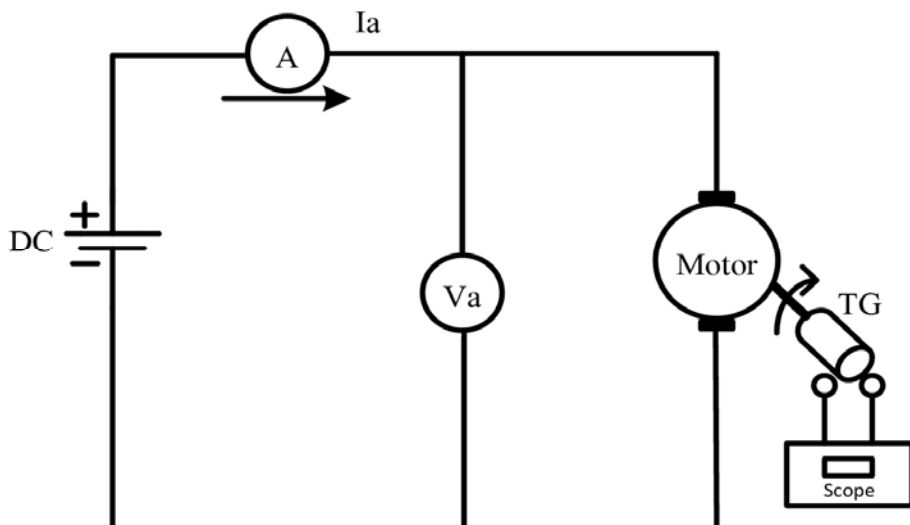
โดยที่

$T_a$  = ค่าคงที่ของเวลาสำหรับวงจรอาร์เมจเจอร์ (s)

จะได้ว่า

$$T_a = \frac{44.47 \text{ mH}}{3.1 \Omega} = 14.34 \text{ ms}$$

### 3.4.3 การหาค่าคงที่ของเวลาทางกลของการเคลื่อนของมอเตอร์ แบบ Rundown-Test



รูปที่ 0.9 วงจรทดสอบหาค่าคงที่ของเวลาทางกลของมอเตอร์

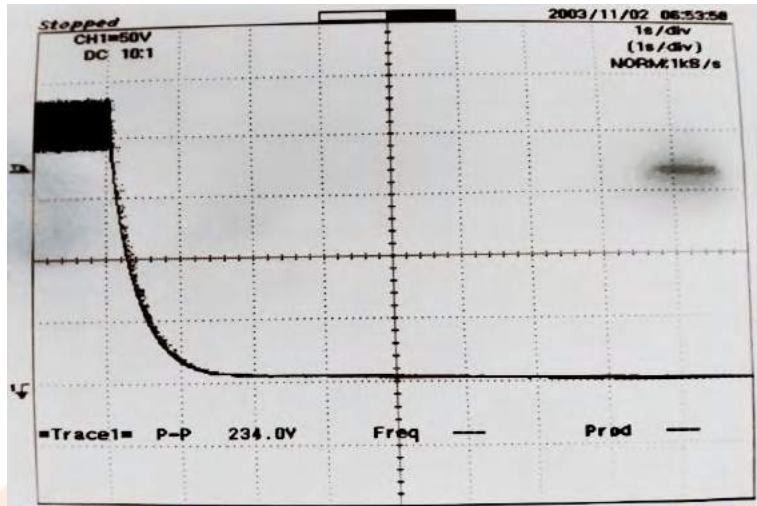
จ่ายแรงดันไฟฟ้า 200 v ให้กับวงจรดั้งต่าง ๆ ของวงจร

แรงดันที่วัดได้คือ 200 V

กระแสที่วัดได้คือ 1.2 A

ความเร็วรอบที่วัดได้คือ 3,000 rpm

หยุดจ่ายแรงดันไฟฟ้าให้กับวงจรทันทีบันทึกผลของแรงดันเอาต์พุตซึ่งมีลักษณะของ Wave from Diagram ดังรูปที่ 3.10



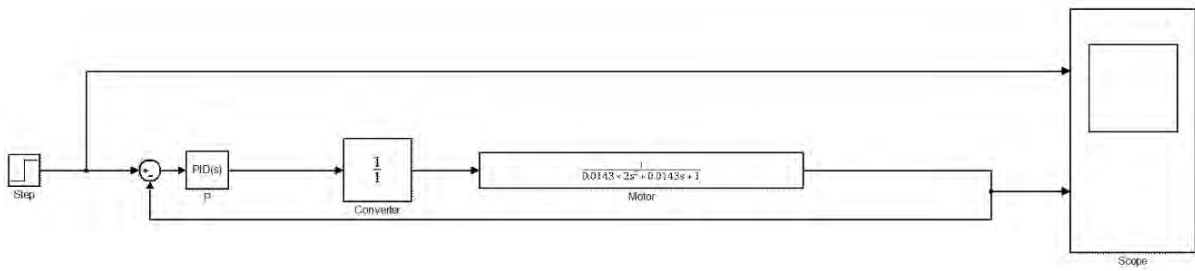
รูปที่ 0.10 รูปคลื่นของเอาต์พุตที่ทดสอบแบบรันดาน

จากสัญญาณเอาต์พุตที่ได้นำมาคำนวณหาค่าคงที่ของเวลาทางกลของมอเตอร์ โดยที่สัญญาณ 1 ช่อง มีค่าเท่ากับ  $1.0 \text{ s}$  จะได้  $T_m$  มีค่าเท่ากับ  $2$  ช่อง  $\times 1.0 \text{ s} = 2 \text{ s}$

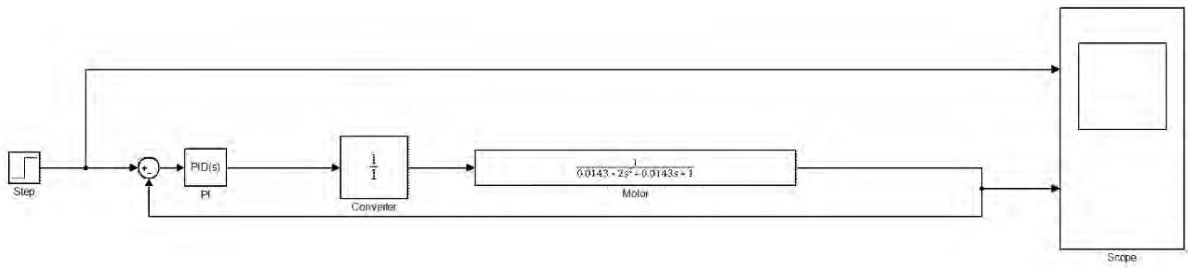
### 3.5 การออกแบบโครงสร้างของมอเตอร์โดยใช้วิธีการ Simulink

การออกแบบโครงสร้างของมอเตอร์โดยใช้วิธี Simulink จากระบบของมอเตอร์ไฟฟ้ากระแสตรง (D.C. Motor) สร้างระบบการทำงานของมอเตอร์ไฟฟ้ากระแสตรงได้โดยการนำมาจำลองลงในระบบ Simulink ได้ดังต่อไปนี้

- พิมพ์คำว่า Simulink ลงบนคำสั่งของหน้าต่างคำสั่ง
- จะปรากฏหน้าต่าง Library Simulink ที่ประกอบด้วย Back diagram ต่าง ๆ ขึ้นมา
- เลือกเมนู File>New>Model บนหน้าต่าง Library Simulink
- จะปรากฏหน้าต่างการทำงานของ Simulink ที่มีชื่อ Default ว่า United
- แล้วทำการเลือก Block ที่ต้องการใช้งาน โดยการดับเบิลคลิกที่ Block diagram ของหมวดหมู่ที่ต้องการเลือก
- จะปรากฏหน้าต่างแสดง Block ต่าง ๆ ของหมวดที่ได้เลือกไว้
- ในการวิเคราะห์แบบจำลองของการควบคุมความเร็วของมอเตอร์ไฟฟ้ากระแสตรงที่ควบคุมด้วยพีและพีไอ ประกอบด้วย Block การทำงานของระบบแสดงดังรูปที่ 3.11 และ 3.12 ตามลำดับ โดยคลิกในส่วนของมอเตอร์นั้นจะเลือกค่าพารามิเตอร์ตามที่แสดงไว้ในหัวข้อที่ 3.4 และฟังก์ชันถ่ายโอนสามารถในรูปที่ 2.25



รูปที่ 0.11 การสร้างแบบจำลองมอเตอร์ไฟฟ้ากระแสตรงด้วยโปรแกรม Simulink (P Control)

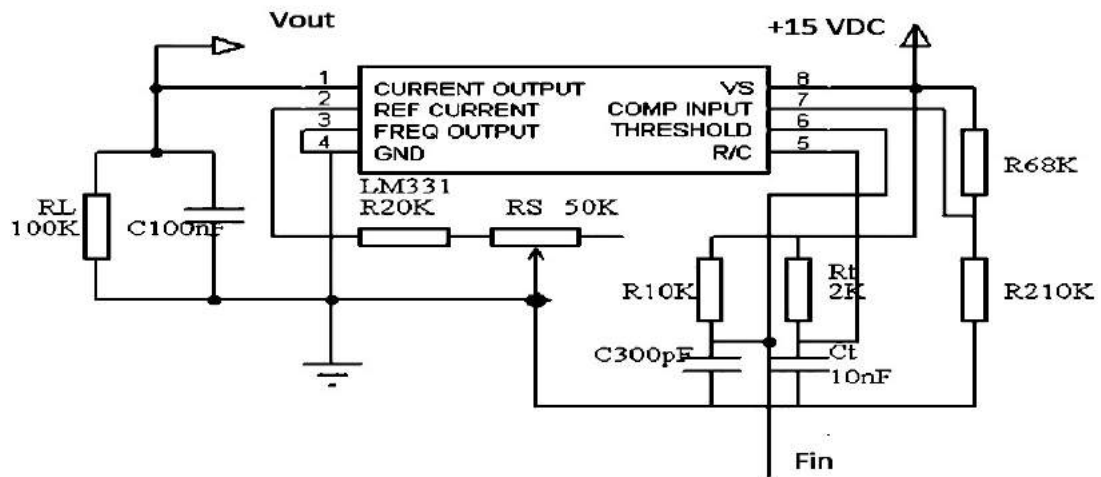


รูปที่ 0.12 การสร้างแบบจำลองมอเตอร์ไฟฟ้ากระแสตรงด้วยโปรแกรม Simulink (PI Control)

### 3.6 วงจรแปลงความถี่

ในโครงงานนี้จะใช้วงจร F / V (Frequency to Voltage Converter) ไอซีเบอร์ LM331 เป็นตัวแปลงสัญญาณความถี่ให้เป็นแรงดันไฟฟ้ากระแสตรง 0-5 โวลต์เพื่อบีบอันเป็นสัญญาณอินพุตให้กับระบบ และแปลงเป็นสัญญาณดิจิตอลส่างข้อมูลป้อนกลับเข้าไปยังระบบเพื่อทำการประมวลผลเปรียบเทียบกับค่าสัญญาณที่ควบคุม (Set Point) โดยชิลี่อาร์ช้อมูลผ่านทางพอร์ตต่อ\_RS-232 และทำการประมวลผลลุปอย่างต่อเนื่องจนกว่าค่าที่ควบคุม (Set Point, SV) จะเท่ากับค่าที่วัดได้ (Process Value, PV) สมการความสัมพันธ์ของความถี่อินพุตและแรงดันเอาต์พุตแสดงดังสมการที่ (3.11)

$$V_{out} = F_{in} \times 2.09 \times \frac{R_L}{R_s} \times (R_i \times C_i) \quad (3.11)$$



รูปที่ 0.13 วงจรแปลงความถี่เป็นแรงดัน



## บทที่ 4

### การทดลองและผล

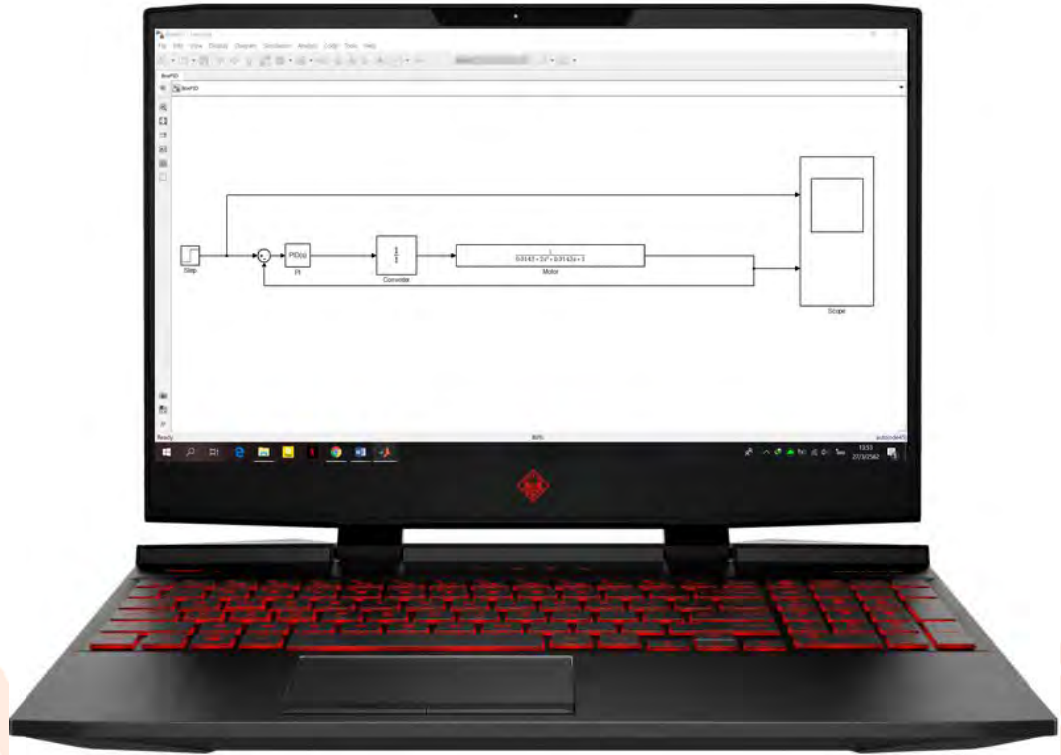
ในการศึกษาการควบคุมความเร็วของมอเตอร์กระแสตรงโดยใช้ตัวควบคุมพีไอ ได้ทำการจำลองแบบการทำงานด้วยโปรแกรมคอมพิวเตอร์และทำการทดลองเพื่อคุณภาพการทำงานที่ได้เปรียบเทียบกับ จากนักออกแบบของโครงงานที่นำเสนอโดยในลำดับแรกได้ทำการจำลองการทำงานของระบบโดยใช้โปรแกรมจำลองแบบด้วยคอมพิวเตอร์เพื่อทดสอบทางแบบด้านคณิตศาสตร์เบื้องต้นก่อน เพื่อจะได้มั่นใจในทฤษฎีและหลักการที่เกี่ยวข้องว่ามีความถูกต้องหรือไม่อย่างไร หลังจากนั้นจะทำการทดลองจริงเพื่อเปรียบเทียบค่าที่ได้ ดังรายละเอียดต่อไปนี้

#### 4.1 อุปกรณ์ในการทดลอง

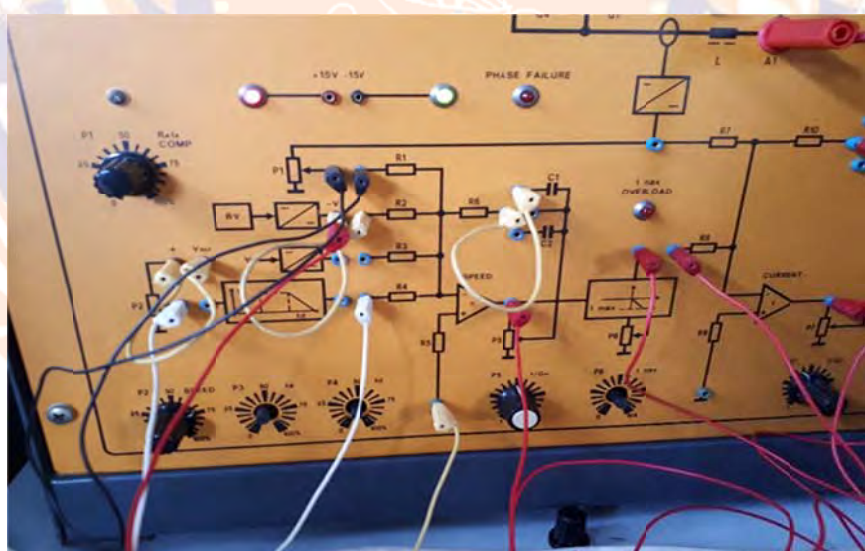
อุปกรณ์ในการทดลองประกอบด้วย มอเตอร์ไฟฟ้ากระแสตรงแบบกระตุ้นแยกพิกัดแรงดัน 1.1 kW 3,000 rpm แทคโคล Jenmimotors พิกัดแรงดัน 0.75 kW 2,850 rpm ตัวควบคุมพีไอแบบอนุกรม วงจรแปลงความถี่เป็นแรงดัน วงจรแปลงอนามัยลือกเป็นดิจิตอล ต่อกับ ดิจิตอลมิเตอร์ และเครื่องคอมพิวเตอร์ แสดงดังรูปที่ 4.1-4.6



รูปที่ 4.1 อุปกรณ์และเครื่องมือที่ใช้ในการทดลอง



รูปที่ 4.2 เครื่องคอมพิวเตอร์โน๊ตบุ๊ค



รูปที่ 4.3 ตัวควบคุมพีไอ



รูปที่ 4.3 มอเตอร์ไฟฟ้ากระแสตรงชนิดแยกกระแสตื้น



รูปที่ 4.5 Electric Generator



รูปที่ 4.4 สโคป

## 4.2 การทดสอบ

### 4.2.1 ขั้นตอนการทดลองระบบโดยใช้โปรแกรมจำลองแบบด้วยคอมพิวเตอร์

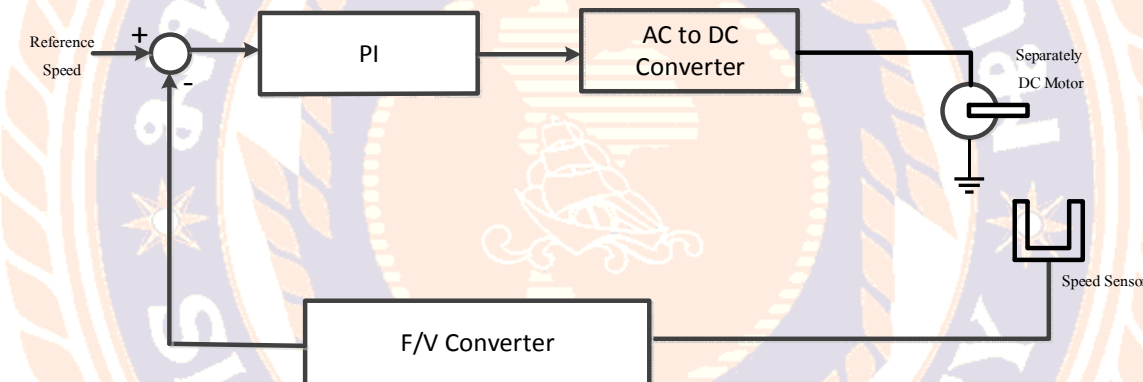
การวิเคราะห์ระบบโดยโปรแกรมจำลองแบบด้วยคอมพิวเตอร์ สามารถสรุปวิธีการเขียนใช้งาน ได้ดังนี้

1. เปิดโปรแกรมจำลองแบบด้วยคอมพิวเตอร์ และเข้าโปรแกรมโดยกดปุ่ม Simulink (ปุ่มด้านซ้ายของเครื่องหมาย ? หรือเลือกจากเมนู) จะจะแสดงหน้าต่าง Simulink Library Browser ให้บันจอ
2. เปิดไฟล์เพื่อสร้างแบบจำลองใหม่ โดย File / New เลือก Model จะจะแสดงหน้าต่างสำหรับเขียนโมเดลมาให้ และให้ทำการเลื่อนหน้าต่างไปทางขวาอยู่กับหน้าต่างของ Simulink Library Browser เพื่อความสะดวกในการวิเคราะห์
3. ทำการวิเคราะห์โดยแก้ไขต้องการ โดยเลือก Block จาก Library ต่าง ๆ เมื่อพบแล้วให้กดเมาส์ที่รูปเหลวๆ ตามมาบังหน้าต่างที่จะทำการวิเคราะห์ หลังจากนั้นให้ทำการลากเส้นเชื่อมต่อระบบให้ครบ
4. ให้กำหนดชื่อคลื่นตามรูป และกำหนดค่าพารามิเตอร์ของทุกบล็อก โดยดับเบิลคลิกที่บล็อก และกำหนดค่าให้ตรงตามที่ต้องการ

5. คูณลัพธ์เอาต์พุตได้ โดยสั่งที่เมนู Simulation / Start และทำการดับเบิลคลิกที่บล็อกเอาต์พุตคือ Scope หลังจากนั้นให้กดปุ่ม Autoscale หรือปุ่มรูปกล้องส่องทางไกล เพื่อปรับภาพให้เหมาะสม และสามารถทำการปรับค่าสเกลในแนวนอน เพื่อครุยสัญญาณให้ชัดเจนยิ่งขึ้นได้ โดยกดที่ปุ่ม Parameters และให้กำหนดค่าช่วงเวลาของแกนในแนวนอน (Time range) ตามต้องการ

### หมายเหตุ

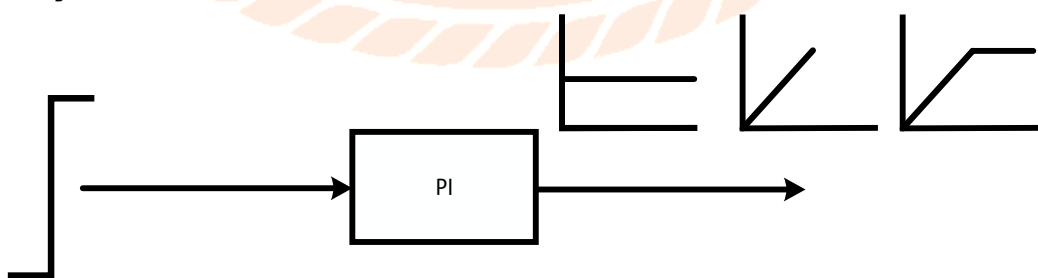
- บล็อก Sum สามารถเลือก / เพิ่ม เครื่องหมาย + - ได้โดยดับเบิลคลิกที่รูปบล็อก และเปลี่ยนเครื่องหมายโดยใส่ที่ช่อง List of signs
- การหมุนรูปทำได้โดยกดปุ่ม Ctrl + R



รูปที่ 4.5 แผนภาพบล็อกโปรแกรมการจำลองระบบควบคุมมอเตอร์ด้วยพีไอ

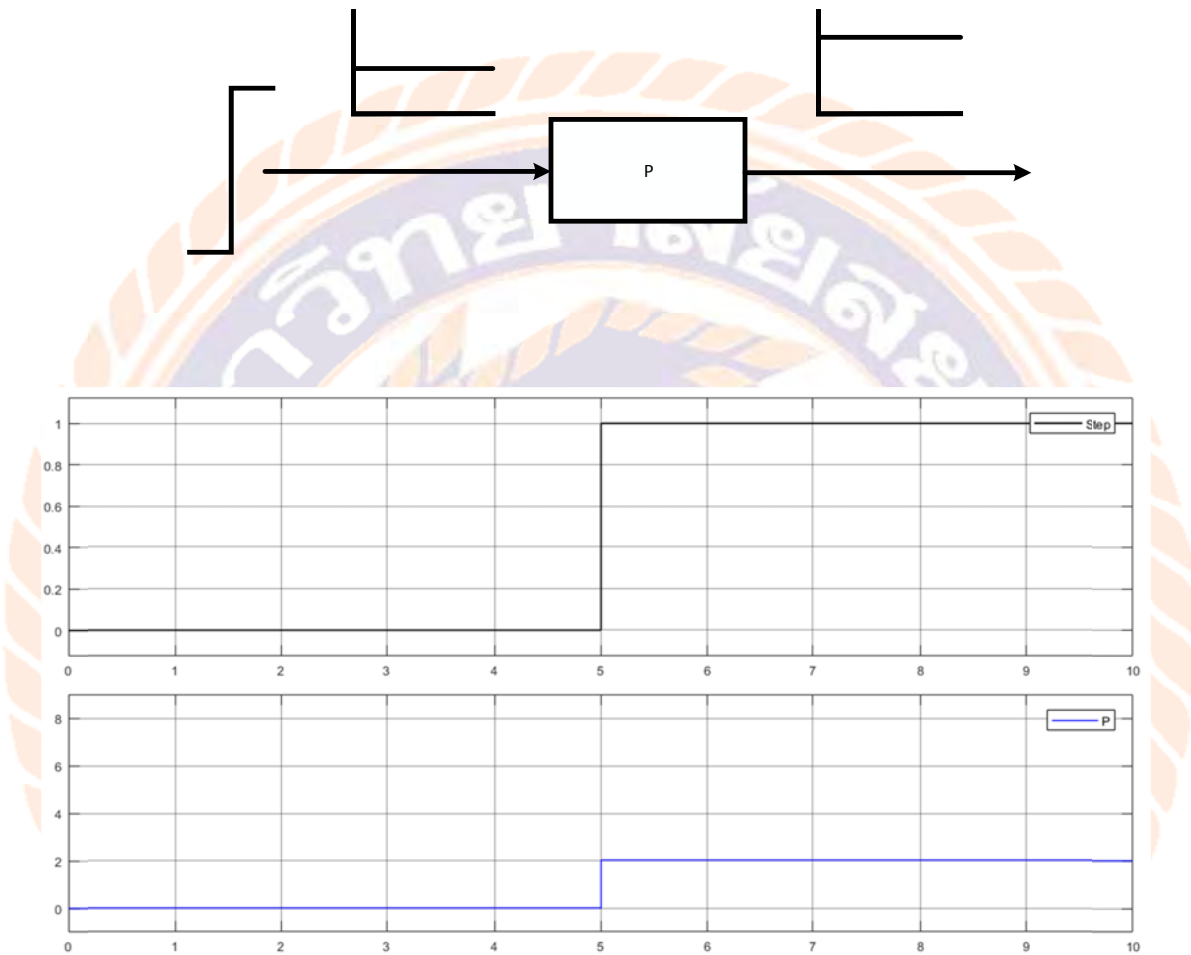
จากรูปที่ 4.7 ซึ่งจะจำลองได้ 2 กรณีดังนี้

#### 4.2.2 คูปเปิด



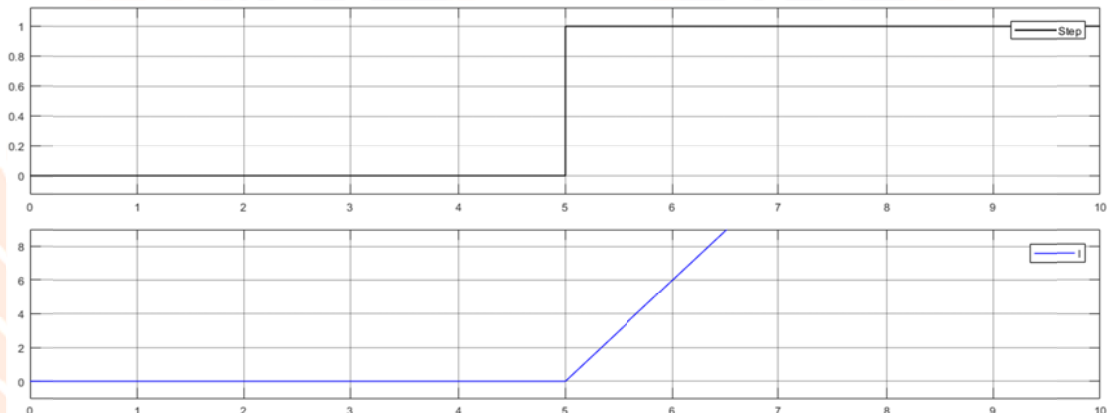
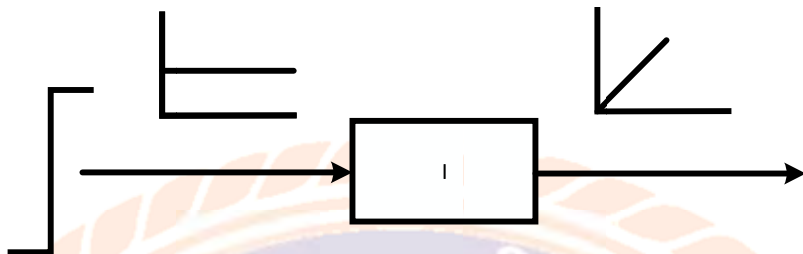
รูปที่ 4.6 บล็อกโปรแกรมคูปเปิด

กรณีที่ 1 เมื่อป้อนอินพุตเป็นฟังก์ชันขั้นบันไดหนึ่งหน่วยให้กับตัวควบคุมแบบพี เมื่อกำหนดให้อัตราการขยาย  $K_p=2$  ได้อาต์พุตเป็นดังรูปที่ 4.9



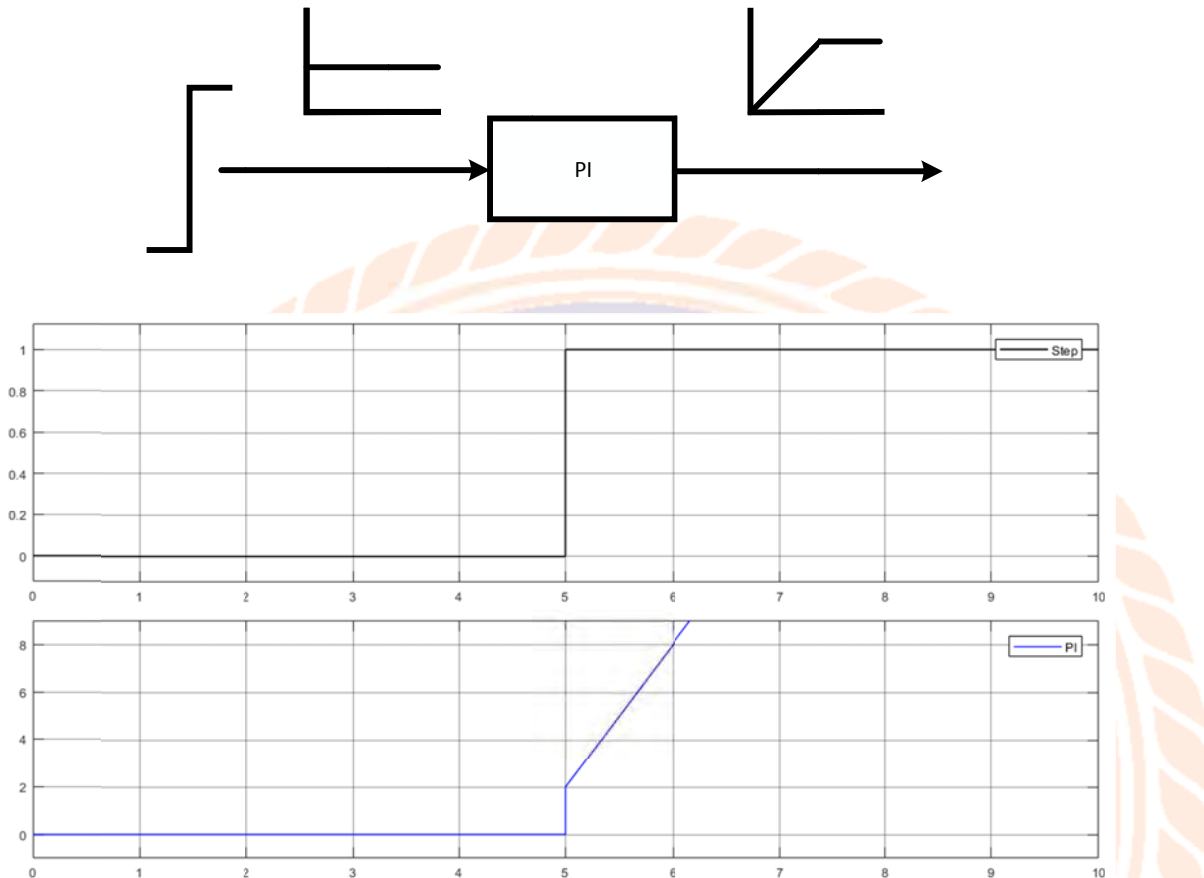
รูปที่ 4.7 รูปคลื่นของอินพุตและอาต์พุตกรณีตัวควบคุมพีอย่างเดียว

กรณีที่ 2 เมื่อป้อนอินพุตฟังก์ชันขั้นบันไดหนึ่งหน่วยให้กับตัวควบคุม ไออย่างเดียว ได้ความสัมพันธ์ของอินพุตและเอาต์พุตเป็นดังรูปที่ 4.10 เมื่อกำหนดให้  $K_i=6$



รูปที่ 4.8 รูปคลื่นของอินพุตและเอาต์พุตกรณีตัวควบคุม ไออย่างเดียว

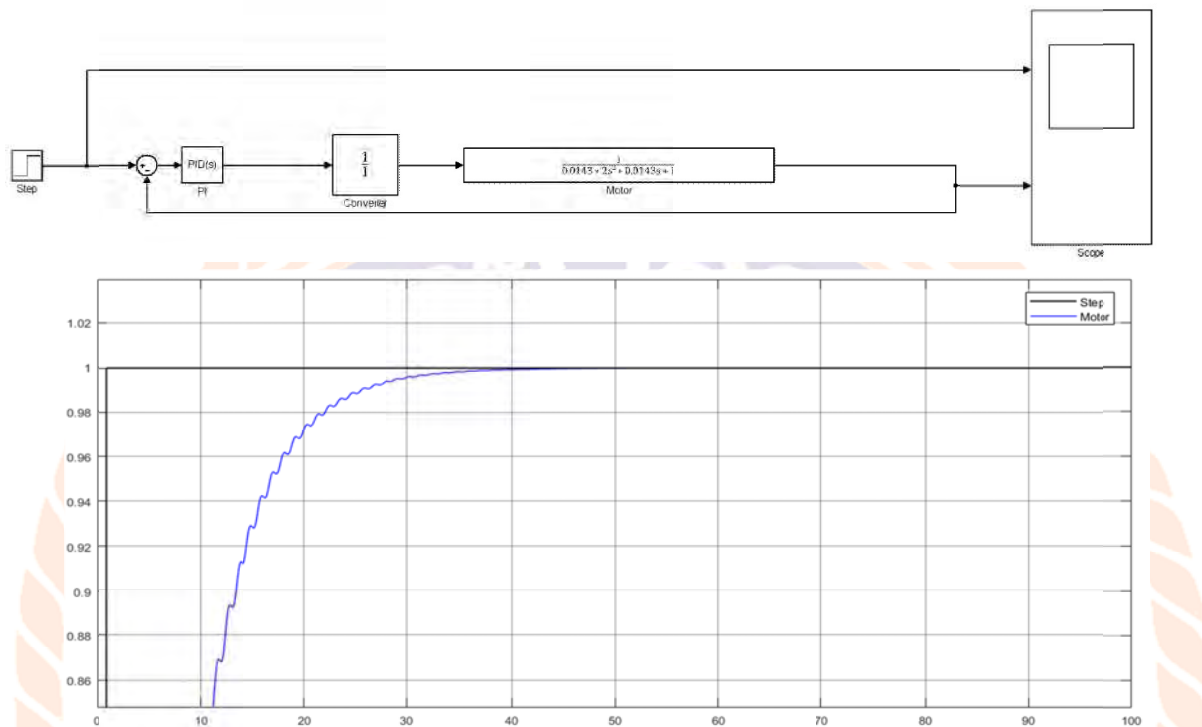
กรณีที่ 3 เมื่อป้อนอินพุตฟังก์ชันขั้นบันไดหนึ่งหน่วยให้กับตัวควบคุมพีไอได้ความสัมพันธ์ของอินพุตและเอาต์พุตเป็นดังรูปที่ 4.11 เมื่อกำหนดให้  $K_p=2$  และ  $K_i=6$



รูปที่ 4.9 รูปคลื่นของอินพุตและเอาต์พุตกรณีตัวควบคุมไอโอพี

#### 4.2.3 ลูปปิด

ระบบควบคุมแบบปิด กำหนดให้อินพุตเป็นฟังก์ชันขั้นบันไดหนึ่งหน่วย ผ่านตัวควบคุมพีไอ วงจรเอซีทูดีซีคอนเวอเรอร์เตอร์ และมอเตอร์ โดยนำเอาต์พุตของมอเตอร์ที่เป็นความเร็วรอบปีก่อนกลับมาใช้อินพุตเมื่อกำหนดให้  $K_p = 9.99e-05$  และ  $K_i = 1869$  และค่าพารามิเตอร์ของมอเตอร์แสดงไว้ในรูปที่ 4.12



รูปที่ 4.10 รูปคลื่นของอินพุตและเอาต์พุตกรณีตัวควบคุมพีไอในลูปปิด

### 4.3 ผลการทดสอบ

#### 4.3.1 การทดสอบระบบ

จากรูปที่ 3.1 และรูปที่ 4.1 ทำการทดสอบระบบในกรณีไม่มีตัวควบคุมและมีตัวควบคุมในระบบ  
หากความสัมพันธ์ของสัญญาณที่จุดต่าง ๆ แสดงดังตารางที่ 4.1, 4.2 และ 4.3 ตามลำดับ

**ตารางที่ 4.1 ผลการทดสอบระบบกรณีไม่มีตัวควบคุม**

<b>V<sub>s</sub> (V)</b>	1.38	1.55	1.73	1.96	2.14	2.32
<b>V<sub>m</sub> (V)</b>	20	30	44	62	74	86
<b>N (rpm)</b>	200	400	600	800	1000	1200
<b>V<sub>n</sub> (V)</b>	-0.82	-1.34	-1.9	-2.65	-3.18	-3.78

<b>V<sub>s</sub> (V)</b>	2.51	2.69	2.92	3.11	3.35	
<b>V<sub>m</sub> (V)</b>	100	114	126	140	155	
<b>N (rpm)</b>	1400	1600	1800	2000	2200	
<b>V<sub>n</sub> (V)</b>	-4.35	-4.9	-5.54	-6.06	-6.67	

**ตารางที่ 4.2 ผลการทดสอบระบบโดยใช้ตัวควบคุมพี**

<b>V<sub>s</sub> (V)</b>	1.62	2.38	3	3.7	4.45	5
<b>V<sub>m</sub> (V)</b>	17	30	45	58	73	85
<b>N (rpm)</b>	200	400	600	800	1000	1200
<b>V<sub>n</sub> (V)</b>	-0.7	-1.4	-1.94	-2.5	-3.1	-3.73

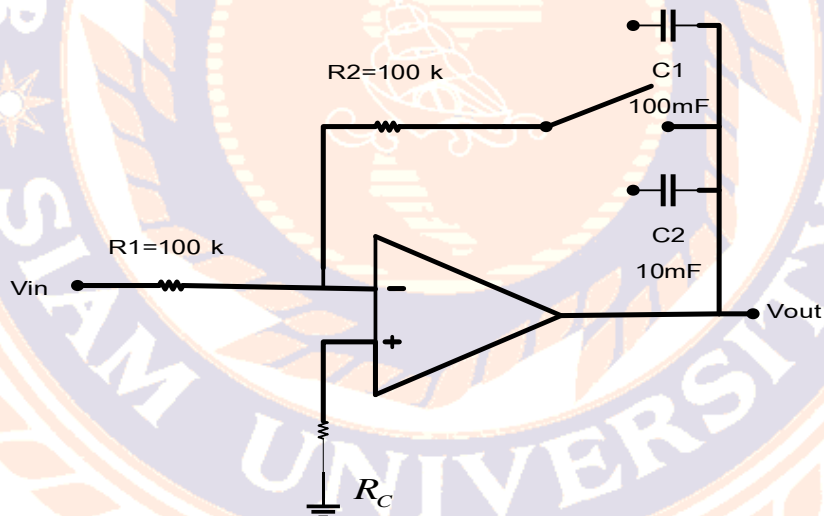
<b>V<sub>s</sub> (V)</b>	5.8	6.45	7.2	7.74		
<b>V<sub>m</sub> (V)</b>	100	113	12	138		
<b>N (rpm)</b>	1400	1600	1800	2000		
<b>V<sub>n</sub> (V)</b>	-4.33	-4.9	-5.51	-6.06		

**ตารางที่ 4.3 ผลการทดสอบระบบโดยใช้ตัวควบคุมแบบพีไอ**

<b>V<sub>s</sub> (V)</b>	0.69	1.34	1.95	2.54	3.16	3.72
<b>V<sub>m</sub> (V)</b>	15	31	45	59	73	86
<b>N (rpm)</b>	200	400	600	800	1000	1200
<b>V<sub>n</sub> (V)</b>	-0.69	-1.35	-1.96	-2.56	-3.18	-3.74

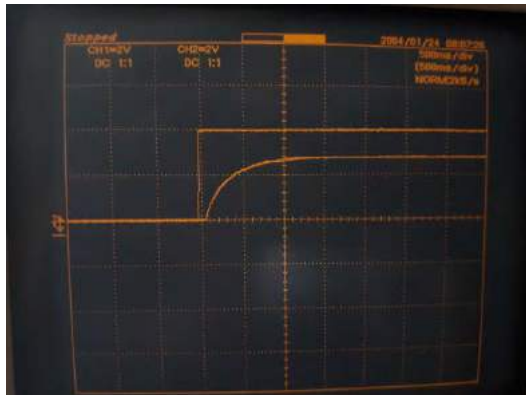
<b>V<sub>s</sub> (V)</b>	4.31	4.88	5.45	6.02	6.61	
<b>V<sub>m</sub> (V)</b>	100	114	125	140	155	
<b>N (rpm)</b>	1400	1600	1800	2000	2200	
<b>V<sub>n</sub> (V)</b>	-4.35	-4.92	-5.5	-6.06	-6.68	

โดยทิวงจรตัวควบคุมพีไอที่ใช้ในการทดลองแสดงดังรูปที่ 4.13

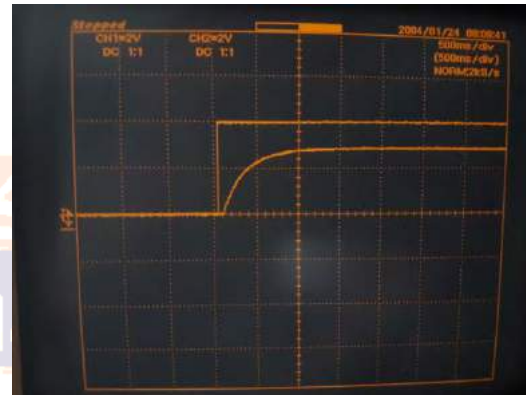


รูปที่ 4.11 วงจรตัวควบคุมพีไอที่ใช้ในการทดลอง

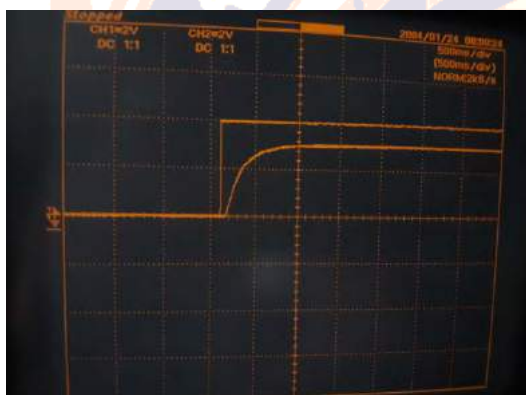
ได้ทำการทดสอบระบบโดยป้อนสัญญาณอินพุตเป็นฟังก์ชันขั้นบันไดให้กับระบบ โดยปรับค่าอัตราการขยายของตัวควบคุมพิอย่างเดียวที่มีค่าต่าง ๆ กัน ได้ความสัมพันธ์ของแรงดันอินพุตและแรงดันเอ้าร์พุต แสดงในรูปที่ 4.14



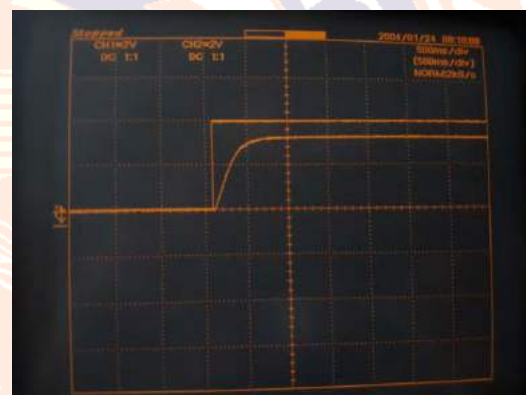
$$K_p = 1$$



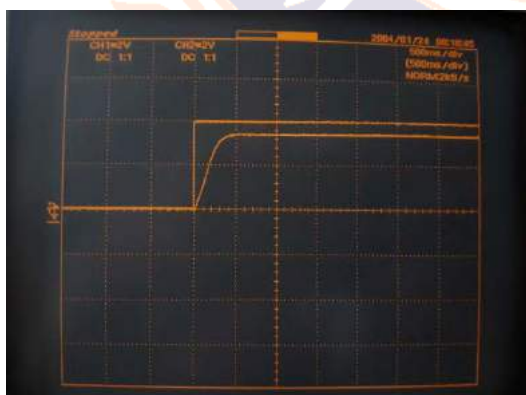
$$K_p = 1.1$$



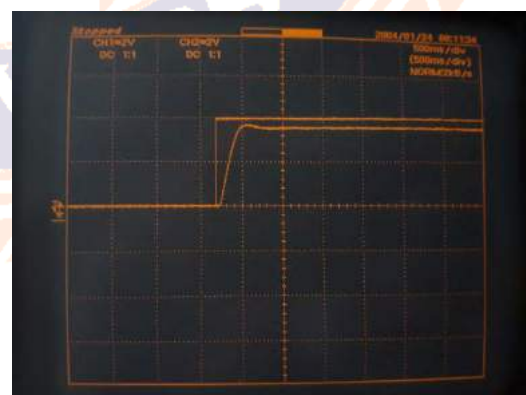
$$K_p = 1.25$$



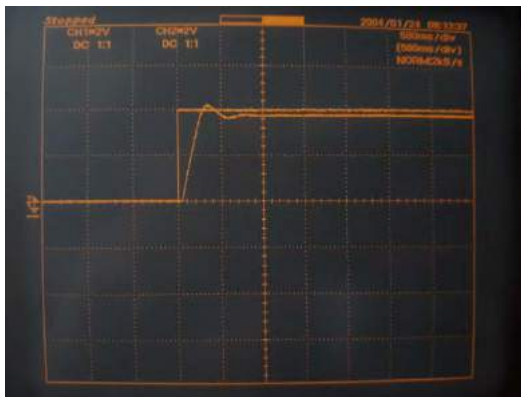
$$K_p = 1.4$$



$$K_p = 1.7$$

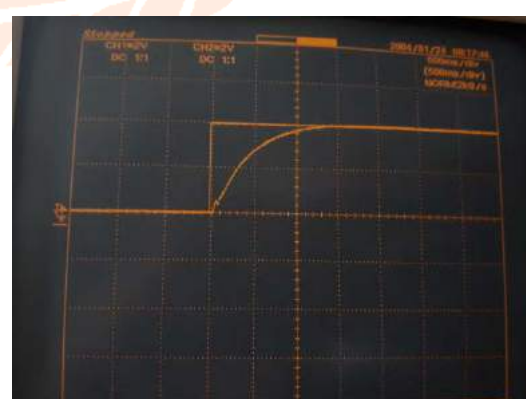
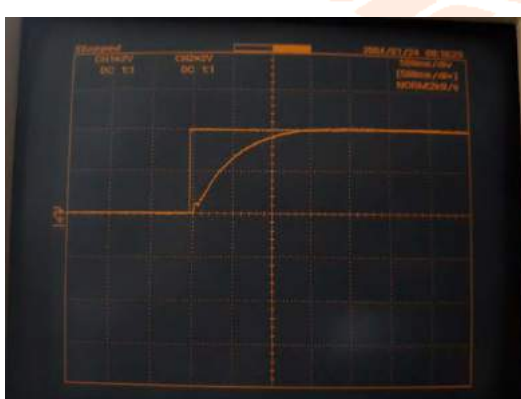


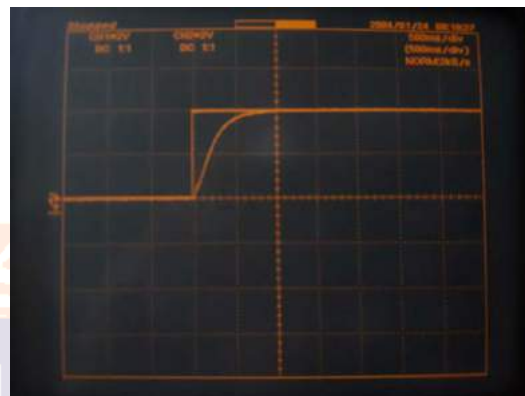
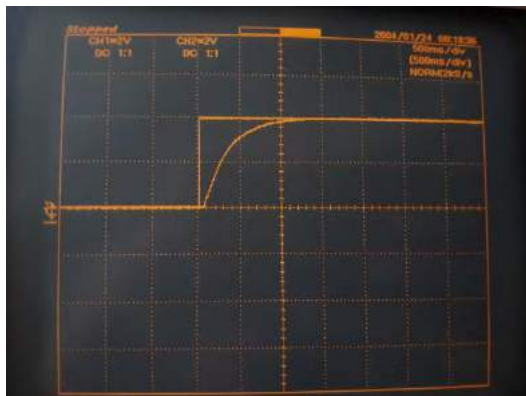
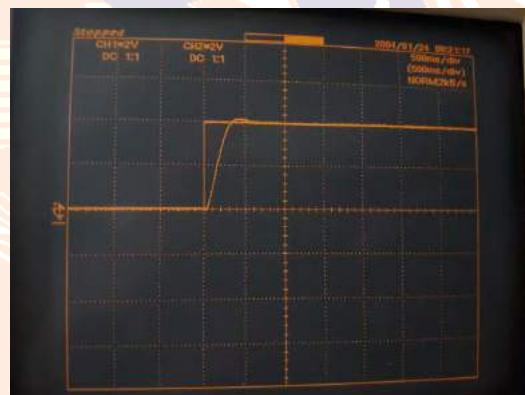
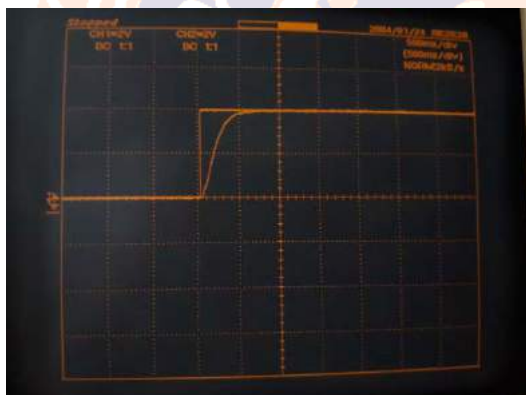
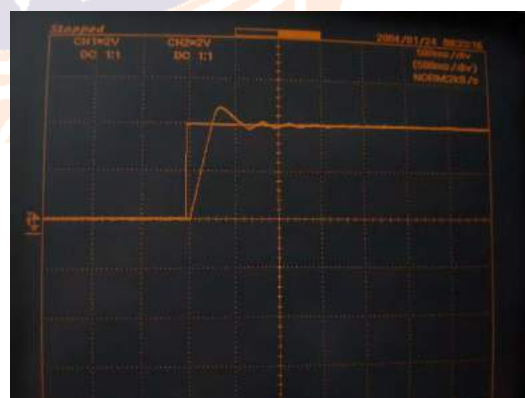
$$K_p = 2$$

 $K_p=2.5$  $K_p=3$  $K_p=3.5$ 

รูปที่ 4.12 ความสมพันธ์ของแรงดันอินพุตและแรงดันเอาต์พุตของระบบที่ค่าอัตราการขยายค่าต่าง ๆ กัน

ทำการทดสอบระบบโดยป้อนสัญญาณอินพุตเป็นฟังก์ชันขั้นบันไดให้กับระบบที่ควบคุมด้วยตัวควบคุมพีไอ โดยปรับค่าอัตราการขยาย  $K_p$  ที่มีค่าต่าง ๆ กันตามรูปที่แสดงไว้ ได้ความสมพันธ์ของแรงดันอินพุตและแรงดันเอาต์พุต แสดงในรูปที่ 4.15 โดยกำหนดให้ค่าตัวเก็บประจุ  $C_2 = 10 \text{ mF}$



$K_i=1$  $K_i=1.1$  $K_i=1.25$  $K_i=1.4$  $K_i=1.7$  $K_i=2$  $K_i=2.5$  $K_i=3$



$$K_i = 3.5$$

รูปที่ 4.13 ความสมพันธ์ของแรงดันอินพุตและแรงดันเอาต์พุตของระบบปรับค่า  $K_i$  ต่าง ๆ กัน



## บทที่ 5

### สรุปและข้อเสนอแนะ

#### 5.1 สรุปผลของโครงการ

- 5.1.1 ใช้โปรแกรม MATLAB/SIMULINK เพื่อจำลองแบบการทำงานของระบบควบคุม
- 5.1.2 กรณี P น้อยมากจะไม่ Overshoots แต่ก็จะไม่เข้า Setpoint
- 5.1.3 กรณี P มากขึ้นมาอีก จะเกิดการ Overshoots และก็จะเข้า Setpoint
- 5.1.4 กรณี P มาก ๆ จะเกิดการ ออกซิล็อก และจะไม่เข้า Setpoint
- 5.1.5 แก้ไขโดยการเพิ่มตัวควบคุม I เข้าไป
- 5.1.6 ผลการทดสอบได้ผลใกล้เคียงกับที่คาดการณ์ไว้

#### 5.2 ปัญหาที่พบในการทำโครงการ

- 5.2.1 อุปกรณ์มีความทนทานต่ำแรงดันที่จำกัด ดังนั้นมีแรงดันไฟฟ้าที่เกินอาจทำให้อุปกรณ์เหล่านี้เสียหาย ซึ่งไม่สามารถที่จะรักษาและอาจทำให้อุปกรณ์ต่าง ๆ เสียหายตามไปด้วย ดังนั้นจึงเสียเวลาในการตรวจเช็ควงจร

5.2.2 ขาดความเข้าใจระบบโดยรวม จึงทำให้เกิดความล่าช้าในการทำงาน

#### 5.3 วิธีแก้ไขและข้อเสนอแนะ

- 5.3.1 การเลือกอุปกรณ์ทางอิเล็กทรอนิกส์ของอุปกรณ์ต่าง ๆ เหล่านี้มีความสำคัญอย่างยิ่งในส่วนผลการทดลอง ดังนั้นควรที่จะศึกษาและทำการบันทึกค่าของอุปกรณ์ที่มีผลลัพธ์ต้องตรงตามทฤษฎี เพื่อความถูกต้องและแม่นยำในการทดลอง

5.3.2 ศึกษาระบบที่เข้าใจก่อนลงปฏิบัติจริง

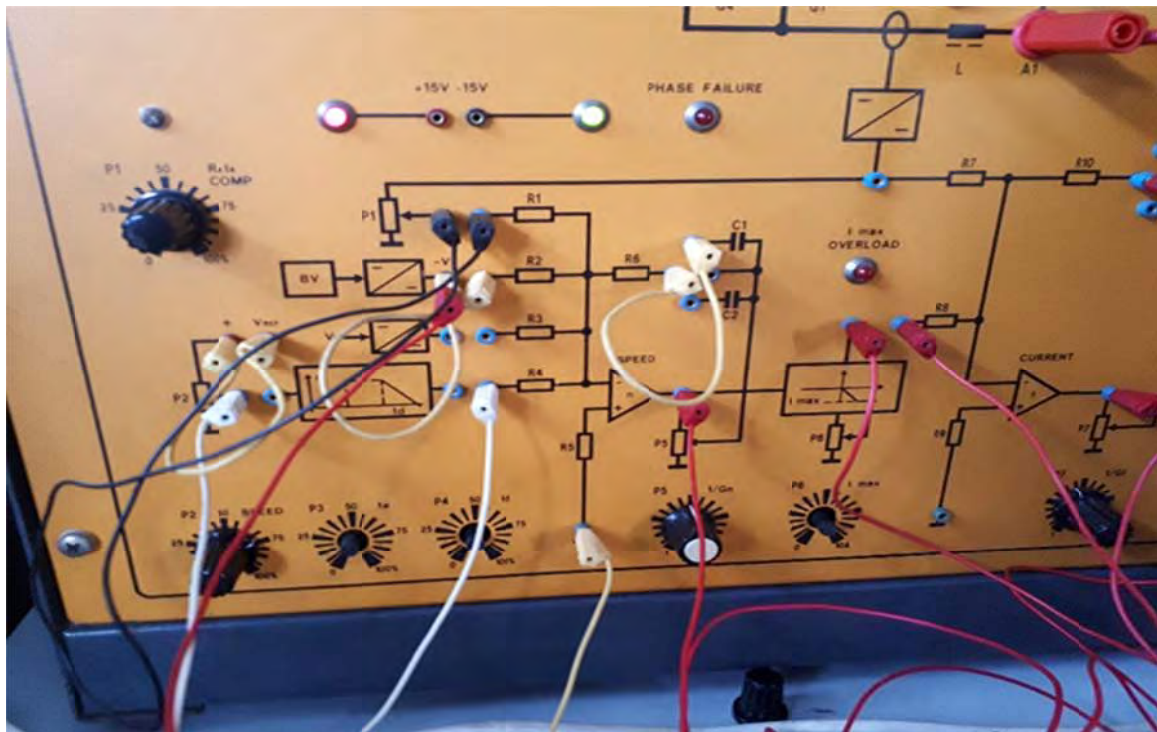
## บรรณานุกรม

- จิราภรณ์ แก้วอาสา, ประมวล คงสาร, สุชาติ โพธิ์ศรี และชัยณรงค์ เย็นศรี. (2549). ชุดสาขิการควบคุม ความเร็วมอเตอร์ไฟฟ้ากระแสตรงแบบลูปปิดบนคอมพิวเตอร์ด้วยโปรแกรม Visual Basic. *วารสารเทคโนโลยีสารสนเทศ มหาวิทยาลัยเทคโนโลยี โลจิสติกส์และนวัตกรรม*, 2(4), 25-30.
- บัญชา ศรีวิโรจน์, วนชัย ทรัพย์สิงห์ และจีระศักดิ์ วงศ์. (2556). การควบคุมมอเตอร์กระแสตรงแบบ กระตุ้นแยก ด้วยไมโครคอนโทรลเลอร์ตระกูล PIC. *วารสารวิชาการ มหาวิทยาลัยชนบท*, 7(13), 7-18.
- รพีพงศ์ รัตนวรหิรัญกุล, จิตสรายุ ลีกุ่งก้า, ศราวุฒิ สุพรรณราช และเพิ่มพล กุจจอมศรี. (2556). การ ออกแบบตัวควบคุมพีไอดีที่เหมาะสมที่สุดสำหรับระบบเครื่องปรับแรงดันไฟฟ้าอัตโนมัติ. *Journal of Information Science and Technology*, 4(1), 21-26.
- ราชน พะนนา และ อิทธิพงศ์ ชัยสาขัณห์. (2562). การออกแบบบางจุดของตัวควบคุมพีไอดีแบบ ออนไลน์ และการประยุกต์ใช้งาน. *SAU JOURNAL OF SCIENCE & TECHNOLOGY มหาวิทยาลัยแม่โจ้เชียงใหม่*, 5(1), 41-48.





อุปกรณ์และเครื่องมือที่ใช้ในการทดลอง



ตัวควบคุมพีไอ



មោទូរ ឱវិភាករណេសត្រង់ជនិតយកករាជគុណ



Electric Generator

## ประวัติผู้เขียน



ชื่อ นายชนะชัย คงชนะาปี

วันเดือนปีเกิด 13 กันยายน 2536

โทร. 0652354561

### วุฒิการศึกษา

2552-2555: ปวช. สาขาไฟฟ้ากำลัง เทคโนโลยีหมุนเวียนครู

2555-2562: ปริญญาตรี กำลังศึกษา วศ.บ.วิศวกรรมศาสตร์  
บัณฑิต (ไฟฟ้ากำลัง) มหาวิทยาลัยสยาม

ตำแหน่ง นักศึกษา

ทุนการศึกษา กองทุนเงินกู้ขึ้นเพื่อการศึกษาที่ผูกกับรายได้ในอนาคต (กรอ.)  
ผลงานทางวิชาการ

ชนะชัย คงชนะาปี. (เมษายน 2562). การศึกษาการควบคุม

ความเร็วรอบมอเตอร์กระแสตรงโดยใช้ตัวควบคุมพีไอ

